

Министерство науки и высшего образования Российской Федерации федеральное государственное автономное образовательное учреждение высшего образования «Национальный исследовательский Томский политехнический университет» (ТПУ)

Инженерная школа энергетики

Направление подготовки 13.03.02 - Электроэнергетика и электротехника (бакалавриат) Отделение Электроэнергетики и электротехники

Профиль Электрооборудование и электрохозяйство предприятий, организаций и учреждений

	<b>БАКАЛАВРСК</b> Тема р	работы		
Электрооборудо	рвание и электропривод п	еременного тока м	еханизма пере	мещения
	фур	<b>Э</b> МЫ		
<del>УДК</del> :21.31:62-83:66	9.184.142			
Студент				
Группа 3-5Г4Б2	ФИО		Подпись	Дата
3-31 4b2	Ким Виктор Евгеньевич			
Руководитель ВКР				
Должность	ФИО	Ученая степень, звание	Подпись	Дата
Доцент	Кладиев С.Н.	К.Т.Н.		
,r.,- ,-				
Консультант				
Должность	ФИО	Ученая степень, звание	Подпись	Дата
Старший	Гнеушев В.В.	Shanne		
преподаватель				
	KOHCVIL	TAUTLI.		
То разлелу «Финанс	КОНСУЛЬ овый менелжмент ресурсо		есупсосбережен	ие»
По разделу «Финанс Должность	КОНСУЛЬ овый менеджмент, ресурсо фио	эффективность и ре	есурсосбережен Подпись	ие» Дата
Должность	овый менеджмент, ресурсо фио	эффективность и ре Ученая степень, звание		
Должность Доцент	овый менеджмент, ресурсо фио Мелик-Гайказян М.В	Эффективность и ре Ученая степень, звание		
Должность Доцент	овый менеджмент, ресурсо фио	эффективность и ре Ученая степень, звание В. К.Э.Н.		
Должность Доцент По разделу «Социал Должность	овый менеджмент, ресурсо фио Мелик-Гайказян М.В ьная ответственность» фио	эффективность и ре Ученая степень, звание 3. К.Э.Н.	Подпись	Дата
Додент По разделу «Социал должность  Старший	овый менеджмент, ресурсо фио Мелик-Гайказян М.В ьная ответственность»	эффективность и ре Ученая степень, звание В. К.Э.Н.	Подпись	Дата
Должность Доцент По разделу «Социал Должность	овый менеджмент, ресурсо фио Мелик-Гайказян М.В ьная ответственность» фио	эффективность и ре Ученая степень, звание В. К.Э.Н.	Подпись	Дата
Додент По разделу «Социал должность  Старший	овый менеджмент, ресурсо фио Мелик-Гайказян М.В ьная ответственность» фио	Эффективность и ре Ученая степень, звание В. К.Э.Н. Ученая степень, звание	Подпись	Дата
Додент По разделу «Социал должность  Старший	овый менеджмент, ресурсо фио Мелик-Гайказян М.В ьная ответственность» фио Гуляев М.В.	Эффективность и ре Ученая степень, звание В. К.Э.Н. Ученая степень, звание	Подпись	Дата

## Планируемые результаты обучения по ООП

Код	Результат обучения
результата	
P 1	Применять соответствующие гуманитарные, социально-экономические, математические, естественно-научные и инженерные знания, компьютерные технологии для решения задач расчета и анализа электрических устройств, объектов и систем.
P 2	Уметь формулировать задачи в области электроэнергетики и электротехники, анализировать и решать их с использованием всех требуемых и доступных ресурсов.
Р3	Уметь проектировать электроэнергетические и электротехнические системы и их компоненты.
P 4	Уметь планировать и проводить необходимые экспериментальные исследования, связанные с определением параметров, характеристик и состояния электрооборудования, объектов и систем электроэнергетики и электротехники, интерпретировать данные и делать выводы.
P 5	Применять современные методы и инструменты практической инженерной деятельности при решении задач в области электроэнергетики и электротехники.
P 6	Иметь практические знания принципов и технологий электроэнергетической и электротехнической отраслей, связанных с особенностью проблем, объектов и видов профессиональной деятельности профиля подготовки на предприятиях и в организациях — потенциальных работодателях.
P 7	Использовать знания в области менеджмента для управления комплексной инженерной деятельностью в области электроэнергетики и электротехники
P 8	Использовать навыки устной, письменной речи, в том числе на иностранном языке, компьютерные технологии для коммуникации, презентации, составления отчетов и обмена технической информацией в областях электроэнергетики и электротехники.
P 9	Эффективно работать индивидуально и в качестве члена или лидера команды, в том числе междисциплинарной, в области электроэнергетики и электротехники.
P 10	Проявлять личную ответственность и приверженность нормам профессиональной этики и нормам ведения комплексной инженерной деятельности.
P 11	Осуществлять комплексную инженерную деятельность в области электроэнергетики и электротехники с учетом правовых и культурных аспектов, вопросов охраны здоровья и безопасности жизнедеятельности.
P 12	Быть заинтересованным в непрерывном обучении и совершенствовании своих знаний и качеств в области электроэнергетики и электротехники.



Министерство науки и высшего образования Российской Федерации федеральное государственное автономное образовательное учреждение высшего образования «Национальный исследовательский Томский политехнический университет» (ТПУ)

Инженерная школа энергетики

Отделение Электроэнергетики и электротехники

Направление подготовки 13.03.02 - Электроэнергетика и электротехника (бакалавриат)

Профиль Электропривод и автоматика

УТВЕРЖДАЮ: И. о. руководителя ОЭЭ ИШЭ А.С. Ивашутенко (Подпись) (Дата) (Ф.И.О.)

#### ЗАДАНИЕ на выполнение выпускной квалификационной работы

В форме:	
----------	--

#### Бакалаврской работы

(бакалаврской работы, дипломного проекта/работы, магистерской диссертации)

Студенту:

Группа	ФИО
3-5Г4Б2	Ким Виктору Евгеньевичу

Тема работы:

Электрооборудование и электропривод переменного тока механизма перемещения фурмы	
Утверждена приказом директора (дата, номер)	№ 3994/с от 20.05.2019г

Срок сдачи студентом выполненной работы:	31.05.2019г.
--	--------------

#### ТЕХНИЧЕСКОЕ ЗАЛАНИЕ:

ТЕХПИЧЕСКОЕ ЗАДАПИЕ:	
Исходные данные к работе	Материалы преддипломной практики, техническая литература, техническая документация.
Перечень подлежащих исследованию, проектированию и разработке вопросов	введение; описание технологического процесса; обоснование и выбор системы электропривода; выбор элементов и расчет параметров силового канала регулируемого электропривода; расчет статических и динамических характеристик, социальная ответственность проекта; финансовый менеджмент; заключение.
Перечень графического материала	<ul> <li>схема кинематическая;</li> <li>схема электрическая принципиальная;</li> <li>схема электрическая функциональная;</li> </ul>

Консультанты по разделам выпуск	- схема электрическая структурная; - демонстрационный лист; - технико-экономические показатели; ной квалификационной работы
Раздел	Консультант
Финансовый менеджмент, ресурсоэффективность и ресурсосбережение	Мелик-Гайказян Мария Вигеновна
Социальная ответственность	Гуляев Милий Всеволодович
Названия разделов, которые должн	ы быть написаны на русском и иностранном языках:
Заключение	

Дата выдачи задания на выполнение выпускной	05.04.2019г.
квалификационной работы по линейному графику	

Задание выдал руководитель / консультант:

эадание выдал р	y Koboghi esib / Koneysibi anii.			
Должность	ФИО	Ученая степень,	Подпись	Дата
		звание		
Доцент	Кладиев С. Н.	к.т.н.		05.04.2019г.
Старший	Гнеушев В.В.			05.04.2019г.
преподаватель				

Задание принял к исполнению студент:

Группа	ФИО	Подпись	Дата
3-5Г4Б2	Ким Виктор Евгеньевич		05.04.2019г



Министерство науки и высшего образования Российской Федерации федеральное государственное автономное образовательное учреждение высшего образования «Национальный исследовательский Томский политехнический университет» (ТПУ)

#### Инженерная школа энергетики

Направление подготовки 13.03.02 - Электроэнергетика и электротехника (бакалавриат)

Отделение Электроэнергетики и электротехники

Профиль <u>Электрооборудование и электрохозяйство предприятий, организаций и учреждений</u> Период выполнения <u>весенний семестр 2018 /2019 учебного года</u>

Форма	представления	работы:

#### Бакалаврская работа

(бакалаврская работа, дипломный проект/работа, магистерская диссертация)

## КАЛЕНДАРНЫЙ РЕЙТИНГ-ПЛАН выполнения выпускной квалификационной работы

Срок сдачи студентом выполненной работы:	31.05.2019г.
--	--------------

Дата контроля	Название раздела (модуля) / вид работы (исследования)	Максимальный балл раздела (модуля)
23.05.2019	Основная часть	60
15.05.2019	Финансовый менеджмент, ресурсоэффективность и	20
	ресурсосбережение	
17.05.2019	Социальная ответственность	20

#### составил:

#### Руководитель

Должность	ФИО	Ученая степень, звание	Подпись	Дата
Доцент	Кладиев С. Н.	к.т.н.		

#### Консультант

Должность	ФИО	Ученая степень,	Подпись	Дата
		звание		
Старший	Гнеушев В.В.			
преподаватель				

#### СОГЛАСОВАНО:

И. о. руководителя ОЭЭ ИШЭ

Должность	ФИО	Ученая степень, звание	Подпись	Дата
Доцент	Ивашутенко А.С.	К.Т.Н.		

#### РЕФЕРАТ

Выпускная квалификационная работа содержит 115с, 34 рисунка, 22 таблицы, 45 используемых источников и 1 приложение.

В выпускной квалификационной работе был произведён расчёт и выбор силового оборудования для электропривода подъёма кислородной фурмы. Выполнен расчёт параметров силовой цепи. Результатом расчёта является выбор асинхронного электродвигателя фирмы SIEMENS серии 1LG4310-8AB-Z мощностью 55 кВт; преобразователь частоты типа MICROMASTER 440 фирмы SIEMENS шкафного исполнения мощностью 75кВт.

Разработаны схемы управления и регулирования. Расчёт переходных процессов в электроприводе произведён на ПК с помощью программ MATLAB.

В разделе «Финансовый менеджмент, ресурсоэффективность и ресурсосбережение» произведена оценка эффективности проекта, уровня возможных рисков, разработка механизма управления и сопровождения конкретных проектных решений на этапе реализации.

В разделе "Социальная ответственность" освещены следующие вопросы: охрана труда, техника безопасности, производственная санитария, пожарная безопасность охрана окружающей работах И среды при на электрооборудовании кислородной фурмы. Выполнен привода расчёт защитного заземления.

### Содержание

Введение	9
1. ПРОЕКТНО-ПОЯСНИТЕЛЬНАЯ ЧАСТЬ	11
1.1 Технологический процесс производства стали в конверторе	11
1.2 Технические данные механизма подъёма фурмы	18
1.3 Технологические требования к электроприводу механизма	20
2. РАСЧЕТНО-ПРОЕКТНАЯ ЧАСТЬ	23
2.1 Расчет мощности, выбор приводного электродвигателя	23
2.2. Расчёт параметров схемы замещения электродвигателя	25
2.3 Естественные механическая и электромеханическая характеристики двигателя	28
2.4 Проверка двигателя по динамической нагрузке	31
2.5 Механическая система электропривода	32
2.6. Определение области допустимой длительной работы двигателя	36
2.7.Построение требуемых областей длительной и кратковременной работы двигателя	38
2.7.1 Построение областей работы в плоскости механических характеристи двигателя	
2.7.2 Построение областей работы электропривода в плоскости электромеханических характеристик двигателя	39
2.8. Проверка выбранного двигателя по нагреву	41
2.9 Преобразователь частоты	43
2.9.1 Выбор преобразователя частоты	43
2.10. Структурная схема силового канала системы преобразователь частоты асинхронный электродвигатель	
2.10.1 Расчет параметров элементов структурной схемы силового канала электропривода	48
2.11. Структурная схема линеаризованной САУ электропривода	49
2.12. Оптимизация контуров регулирования САР электропривода	53
2.13. Имитационные исследования регулируемого электропривода фурмы кислородного конвертора	61
2.14. Расчет переходных процессов	72
ЗАДАНИЕ ДЛЯ РАЗДЕЛА «ФИНАНСОВЫЙ МЕНЕДЖМЕНТ, РЕСУРСОЭФФЕКТИВНОСТЬ И РЕСУРСОСБЕРЕЖЕНИЕ»	
3. ФИНАНСОВЫЙ МЕНЕДЖМЕНТ, РЕСУРСОЭФФЕКТИВНОСТЬ И	

3.1 SWOT-анализ работы Акционерного общества «Евраз	
Западносибирского металлургического комплекса	77
3.1. Планирование выпускной квалификационной работы	80
3.3 Составление сметы технического проекта	82
3.3.1. Расчет материальных затрат	84
3.3.2 Полная заработная плата исполнителей	84
3.3.3 Отчисления во внебюджетные фонды (страховые отчисления)	86
3.3.4. Формирование сметы затрат технического проекта	86
3.5. Определение ресурсоэффективности проекта	87
ЗАДАНИЕ ДЛЯ РАЗДЕЛА «СОЦИАЛЬНАЯ ОТВЕТСТВЕННОСТЬ»	90
4. СОЦИАЛЬНАЯ ОТВЕТСТВЕННОСЬ	
4.2. Производственная безопасность	94
4.2.1 Анализ потенциально возможных опасных факторов, которые могут возникнуть на рабочем месте при проведении исследований	
4.3. Экологическая безопасность	
4.4 Безопасность в чрезвычайных ситуациях	. 101
4.4.1. Анализ вероятных ЧС, которые может инициировать объект исследований и обоснование мероприятий по предотвращению ЧС	. 101
4.4.2. Анализ вероятных ЧС, которые могут возникнуть при проведении исследований и обоснование мероприятий по предотвращению ЧС	. 101
ЗАКЛЮЧЕНИЕ	. 104
THE CONCLUSION	. 106
Список использованной литературы	. 107
Припожение А	110

#### Введение

Черная металлургия является одной из важнейших отраслей промышленности. Высокая механическая прочность и стойкость черных металлов, легкость их обработки сравнительно с другими материалами, простота получения и большие природные запасы железной руды обусловили, самое широкое применение стали и чугуна как основных материалов в машиностроении, станкостроении, судостроении, электропромышленности, а также в сельском хозяйстве, транспорте, строительстве и в быту. Из чугунного литья и стали изготавливают станки, производственные и сельскохозяйственные машины, метизы и другие изделия.

Выпуском стали и чугуна занимаются металлургические комбинаты. В настоящее время ни один из комбинатов не может обойтись без современных электроприводов, неразрывно связанных с повышением эффективности технологических процессов.

Большое значение ДЛЯ увеличения производительности имеет электрификация производств. автоматизация И Автоматизация электрификация приводит к облегчению труда рабочих. Современное машинное устройство или производственный агрегат состоит из большого числа разнообразных деталей, отдельных машин и аппаратов, выполняющих различные функции. Все они в совокупности совершают работу, направленную на обеспечение отдельного производственного процесса.

Современное металлургическое производство является крупным потребителем электрической энергии. В электрификации черной металлургии особое место занимает электрический привод, так как удельный вес непрерывно растущего потребления электроэнергии на двигательную силу достигает в ней около 80%.

Автоматизация технологических процессов, повышая эффективность производства, увеличивает производительность оборудования, снижает эксплуатационные расходы, создает экономию электроэнергии, сырья, тем самым, обеспечивает экологическую чистоту и улучшение качества всего производства.

Современный автоматизированный электропривод - это высоконадежная и экономичная электромеханическая система, способная полностью обеспечить автоматизацию любого технологического процесса, достигнуть высокого быстродействия и точности при своей работе, улучшить условия труда обслуживающего персонала.

Для приведения в движение рабочих машин основным двигателем является электродвигатель и, следовательно, основным приводом является

электропривод, а на современном уровне техники автоматизированный электропривод (АЭП).

Автоматизированным электроприводом называется электромеханическая система, состоящая из электродвигательного, преобразовательного, передаточного и управляющего устройств, предназначенного для приведения в движение исполнительных органов рабочей машины и управления этим движением.

Ha этапе технологического современном развития существенно возрастает роль автоматизированного электропривода, который значительной мере стал определять прогресс в областях техники и технологии, связанных механическим движением, получаемым путем электромеханического преобразования энергии.

Энергетическую OCHOBY конверторного производства составляет электрический привод, технический уровень развития которого определяет эффективность работы технологического оборудования цехов и основными направлениями развития которого являются повышение экономичности и надежности работы. Это достигается путем усовершенствования электродвигателей, преобразователей, аналоговых и цифровых средств управления, коммутационной аппаратуры и элементов защиты.

#### 1. ПРОЕКТНО-ПОЯСНИТЕЛЬНАЯ ЧАСТЬ

#### 1.1 Технологический процесс производства стали в конверторе

Принцип получения стали в конверторе состоит в продувке жидкого чугуна кислородом с использованием ограниченного количества стального Сущность конверторного процесса В TOM, представляющий собой футерованный огнеупорным кирпичом грушеобразный сосуд, заливают порцию чугуна 250 т. Сверху в конвертор опускают трубуфурму, через которую подают чистый кислород. При продувке кислородом происходит окисление углерода и других примесей, содержащихся в чугуне. Повышается температура металла. Расплавляется стальной лом, добавляемый в конвертор. При окислении углерода и других примесей, частично железа, происходит выделение тепла, которое обеспечивает повышение температуры расплава и позволяет расплавлять стальной лом до 25 % от общей массы металла вводимого в конвертор. После выпуска металла в ковш производится окончательная доводка состава металла до заданного.

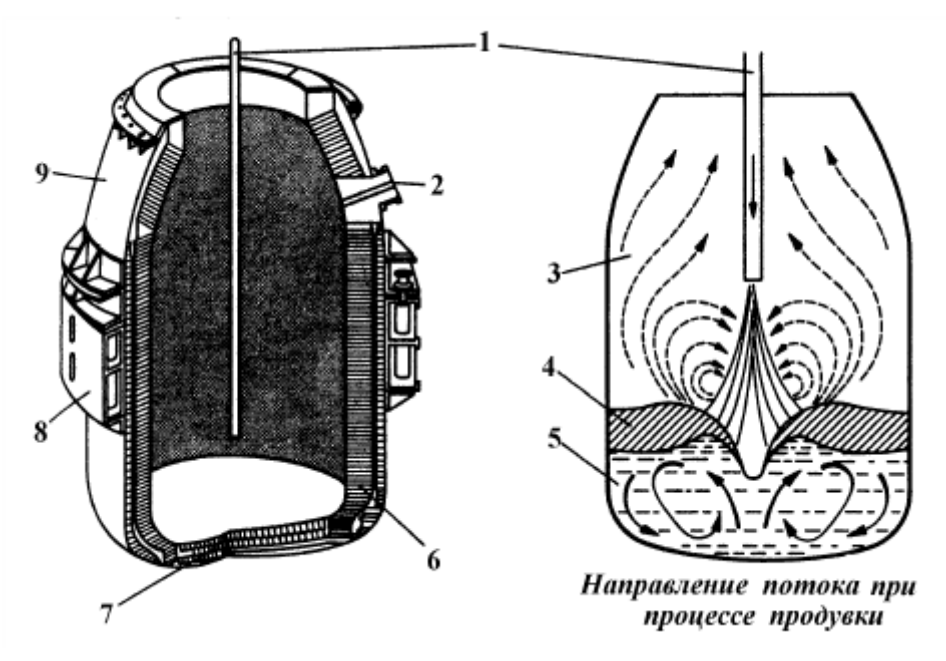


Рисунок1. Схема кислородного конвертора

1-кислородная фурма; 2-стальная летка; 3-газосборник; 4-шлаковый слой; 5-ванна расплавленного металла; 6-огнеупорная футеровка; 7-днище конвертора; 8-опорное кольцо; 9-шлемная часть

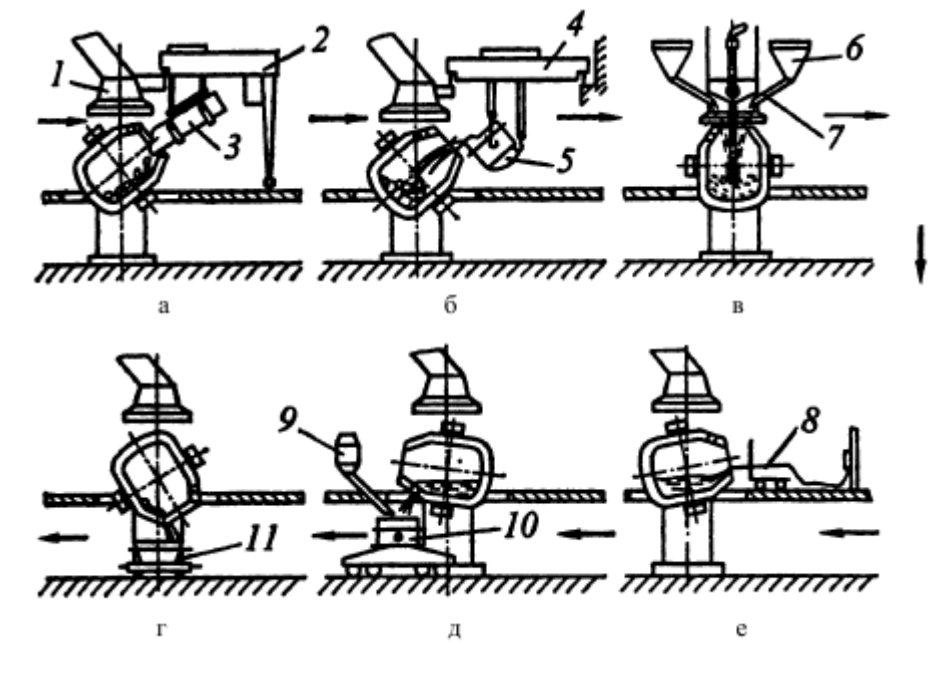


Рисунок 2. Технологическая схема производства стали в конверторах

1-газоотвод; 2-загрузочная машина; 3-совок; 4-мостовой кран; 5-заливочный ковш; 6-бункер; 7-желоб; 8-термопара; 9-бункер для ферросплавов; 10-сталеразливочный ковш; 11-шлаковая чаша

Технология плавки:

а- загрузка лома (2-4мин); б- заливка чугуна(2-3 мин); в- продувка (15-18мин) г- отбор проб, замер температуры, ожидание анализа, корректировка (2-9мин); д- выпуск (3-7мин); е- слив шлака (2-3мин)

Шихтовка плавки и организация загрузки. Шихтовку, т.е. определение расхода на плавку чугуна и лома, шлакообразующих, ферросплавов и других материалов, в современных цехах проводят с помощью ЭВМ (АСУ ТП) на основании вводимых в нее данных о составе чугуна и других шихтовых материалов, температуре чугуна, параметрах выплавляемой стали и некоторых других. При этом расход лома, являющегося охладителем плавки, определяют на основании расчета теплового баланса плавки, увеличивая или уменьшая расход так, чтобы обеспечивалась заданная температура металла в конце продувки, а расход извести - так, чтобы обеспечивалась требуемая основность шлака (2,7 - 3,6).

Лом загружают в конвертор совками объёмом 20 - 110 м<sup>3</sup>; их заполняют ломом в шихтовом отделении цеха и доставляют к конверторам рельсовыми тележками. Загрузку ведут через отверстие горловины конвертора, опрокидывая совок с помощью полупортальной машины, либо мостового крана, либо напольной (перемещающейся по рабочей площадке цеха) машины.

Конвертор при загрузке наклонен примерно на 45° с тем, чтобы загружаемые куски лома скользили по футеровке, а не падали бы сверху, разрушая её.

Жидкий чугун заливают в наклоненный конвертор через отверстие горловины с помощью мостового крана из заливочного ковша, который обычно вмещает всю порцию заливаемого чугуна (до 300 т и более). Заливочные ковши с чугуном доставляют к конверторам из миксерного или переливного отделений.

Для шлакообразующих материалов загрузки сыпучих оборудован автоматизированной системой. индивидуальной расположенных над конвертором расходных бункеров, где хранится запас материалов, их с помощью электровибрационных питателей и весовых дозаторов выдают в промежуточный бункер, а из него материалы по наклонной течке (трубе) ссыпаются в конвертор через горловину. При этом система обеспечивает загрузку сыпучих материалов без остановки продувки по программе, которая разработана заранее или задается оператором из пульта управления конвертором.

Периоды плавки.

На процесс рафинирования значительное влияние оказывают положение фурмы (расстояние от конца фурмы до поверхности ванны) и давление подаваемого кислорода. Обычно высота фурмы поддерживается в пределах 1,0 - 3,0 м, давление кислорода 0,9 - 1,4 МПа в зависимости от выплавляемой марки стали. Оптимальное положение фурмы устанавливается экспериментально. При этом необходима высокая скорость обезуглероживания и шлакообразования и ведение продувки без выбросов.

Плавка в кислородном конвертере включает следующие периоды.

- 1. Загрузка лома. Стальной лом в количестве до 25 27% от массы металлической шихты (при использовании специальных технологических приёмов и в большем количестве) загружают в наклоненный конвертор совками. Объём совков достигает 110 м³, его рассчитывают так, чтобы загрузка обеспечивалась одним двумя совками, поскольку при большем числе возрастает длительность загрузки и плавки в целом. Загрузка длится 2-4 мин. Иногда с целью ускорения шлакообразования после загрузки лома или перед ней в конвертор вводят часть расходуемой на плавку извести.
- 2. Заливка чугуна. Жидкий чугун при температуре от 1300 до 1450 °C заливают в наклоненный конвертор одним ковшом в течение 2-3 мин.
- 3. Продувка. После заливки чугуна конвертор поворачивают в вертикальное рабочее положение, вводят сверху фурму и включают подачу кислорода, начиная продувку. Фурму в начале продувки для ускорения

шлакообразования устанавливают в повышенном положении (на расстоянии до 4,8 м от уровня ванны в спокойном состоянии), а через 2-4 мин её отпускают до оптимального уровня (1,0 - 2,5 м в зависимости от вместимости конвертора и особенностей технологии)

В течение первой трети длительности продувки двумя - тремя порциями загружают известь; вместе с первой порцией извести, вводимой после начала продувки, дают плавиковый шпат и иногда другие флюсы, железную руду, скатыши, боксит и др. Расход извести рассчитывают так, чтобы шлак получался с основностью от 2,7 до 3,6; обычно расход составляет 6 - 8% от массы стали.

Продувка до получения заданного содержания углерода в металле длится  $12\text{-}18\,$  мин; она тем больше, чем меньше принятая в том или ином цехе интенсивность подачи кислорода в пределах  $2,5-5\,$  м $^3/(\text{т}$  мин).

Правильно организованный режим ведения продувки обеспечивает хорошую циркуляцию металла и его перемешивание со шлаком. Последнее в свою очередь способствует повышению скорости окисления содержащихся в чугуне: кремния, углерода, марганца, фосфора. В течение продувки протекают следующие основные металлургические процессы:

а) окисление составляющих жидкого металла вдуваемым кислородом, окисляется избыточный углерод, а также весь кремний, около 70% марганца и немного (1 - 2%) железа. Окисление примесей в конвертере может происходить непосредственно газообразным кислородом или кислородом, растворенным в металле и шлаке.

В периоды продувки с большой скоростью подачи кислорода процесс окисления лимитируется переносом примесей из объема ванны к поверхности раздела. Происходит полное окисление поверхностных слоев металла. Поскольку примеси не успевают поступать к зоне реакции, то окисление металла происходит с образованием преимущественно оксидов железа, так как содержание железа в металлической ванне близко к 100 %. Окисление металла осуществляется через шлаковую фазу.

Сначала окисляется железо  $2\text{Fe+O}_2=2(\text{FeO})$ . Образующийся FeO в результате циркуляции переносится в шлак. Процесс обогащения металла кислородом можно записать так: (FeO)=Fe+[O]. Растворенный в металле кислород расходуется на окисление примесей чугуна. Содержащийся в шлаке FeO расходуется на раскисление примесей на границе металл-шлак.

На участках продувки где скорости движения газа-окислителя (конечная часть струй пузыри) незначительны, может происходить прямое окисление углерода и других примесей. Окисление углерода в конверторном процессе имеет важное значение, так как влияет на температурный режим плавки,

процесс шлакообразования и рафинирования металла от фосфора, серы, газов и неметаллических включений.

Характерной особенностью конверторного производства является неравномерность окисления углерода как по объему ванны так и в течении продувки. С наибольшей интенсивностью окисляется углерод над поверхностью внедряющегося газового факела. В начале продувки скорость окисления невелика (0,1 - 0,15 %/мин). Это объясняется сравнительно низкой температурой ванны и интенсивным окислением кремния и марганца.

Далее, при снижении в металле кремния и марганца и повышении температуры, зона кипения увеличивается и распространяется на весь объем ванны скорость окисления углерода возрастает. Максимальная скорость окисления углерода достигается в середине плавки, когда температура металла составляет 1400 – 1450 °C. К концу продувки скорость окисления углерода вновь снижается вследствие уменьшения углерода в металле. Более равномерное окисление углерода и газовыделение достигаются применением многосопловых фурм. Газообразные продукты окисления углерода (СО и немного СО<sub>2</sub>) удаляются из конвертора через горловину (отходящие конверторные газы), другие оксиды переходят в шлак;

б) шлакообразование. Важным моментом в технологии конверторного процесса является шлакообразование. Шлакообразование в значительной мере определяет ход удаления фосфора, серы и других примесей, влияет на качество выплавляемой стали, выход годного конвертора и стойкость его футеровки. Основная цель этой стадии плавки заключается в быстром формировании шлака с необходимыми свойствами (основностью, жидкоподвижностью и т.д.) Сложность выполнения этой задачи связана с высокой скоростью процесса (длительность продувки 14-24 минуты). Формирование шлака необходимой основности и с заданными свойствами зависит от скорости растворения извести в шлаке.

С первых секунд продувки начинает формироваться в основном шлак из продуктов окисления составляющих металла ( $SiO_2$ , MnO, FeO, Fe $_2O_3$ ) и растворяющейся в них извести (CaO), а также из оксидов, вносимых миксерным шлаком, ржавчиной стального лома и растворяющейся футеровкой. Основность шлака по ходу продувки возрастает по мере растворения извести, достигая 2,7 - 3,6.

На процесс шлакообразования и окисления примесей влияет глубина проникновения кислородной струи в металл, которая зависит от давления и расхода кислорода подаваемого через фурму. Из многочисленных исследований известно что, изменяя глубину проникновения кислорода можно управлять распределением кислорода между шлаком и металлом, Так

увеличение глубины проникновения (повышение давления кислорода и уменьшение расстояния между торцом фурмы и металлом) способствует увеличению количества кислорода усваемого металлом. Это приводит к ускорению процесса окисления примесей. Вместе с тем уменьшается поступление кислорода в шлак, что отрицательно влияет на растворение извести, затрудняя и шлакообразование. Уменьшение глубины проникновения способствует увеличению поверхности контакта кислорода со шлаком, улучшению условий шлакообразования, но снижает скорость окисления углерода и других элементов;

в) дефосфорация и десульфация. С первых минут продувки одновременно с окислением углерода начинается процесс дефосфации. В образующийся основной шлак удаляется часть содержащихся в шихте вредных примесей - большая часть (до 90%) фосфора и немного (до 30%) серы. Наиболее интенсивное удаление фосфора происходит в первой половине продувки при сравнительно низкой температуре металла, высоком содержании FeO, когда основность шлака и его количество быстро возрастают. Конверторный процесс позволяет получить сталь с содержанием фосфора менее 0,02 %.

Условия удаления серы менее благоприятны, так как шлак содержит значительное количество FeO, а высокая основность достигается лишь во второй половине продувки. Степень десульфации при конверторном процессе находится в пределах 30 - 50 %. Содержание серы в готовой стали, составляет 0,02 - 0,04 %;

- г) нагрев металла до требуемой перед выпуском температуры (1600 1660°C) за счет тепла, выделяющегося при протекании экзотермических реакций окисления составляющих жидкого металла;
- д) расплавление стального лома за счет тепла экзотермических реакций окисления; обычно оно заканчивается в течение первых 2/3 длительности продувки;
- е) побочный и нежелательный процесс испарения железа в подфурменной зоне из-за высоких здесь температур (2000 2600°С) и унос окисляющихся паров отходящими из конвертора газа, что вызывает потери железа и требует очистки конверторных газов от пыли.
- 4. Отбор проб, замер температуры, ожидание анализа, корректировка. Продувку необходимо закончить в тот момент, когда углерод будет окислен до нужного в выплавляемой марке стали содержания, к этому времени металл должен быть нагрет до требуемой температуры, а фосфор и сера удалены до допустимых для данной марки стали пределов.

Момент окончания продувки, примерно соответствующий требуемому содержанию углерода в металле, определяют по количеству израсходованного кислорода, по длительности продувки, по показаниям ЭВМ. Окончив продувку, из конвертора выводят фурму, а конвертор поворачивают в горизонтальное положение. Через горловину конвертора отбирают пробу металла, посылая её на анализ, и замеряют температуру термопарой погружения. Если по результатам анализа и замера температуры параметры металла соответствуют заданным, плавку выпускают. В случае несоответствия корректирующие операции: при избыточном содержании углерода проводят кратковременную додувку для его окисления; при недостаточной температуре делают додувку при повышенном положении фурмы, что вызывает окисление железа с выделением тепла, нагревающего ванну, при излишне высокой температуре в конвертор вводят охладители - легковесный лом, руду, известняк и т.п., делая выдержку после их ввода в течение 3-4 мин. По окончании корректировочных операций плавку выпускают.

На отбор и анализ проб затрачивается 2-3 мин; корректировочные операции вызывают дополнительные простои конвертора и поэтому нежелательны.

5. Выпуск. Металл выпускают в сталеразливочный ковш через летку без шлака; это достигается благодаря тому, что в наклоненном конверторе у летки располагается более тяжелый металл, препятствующий попаданию в нее находящегося сверху шлака. Такой выпуск исключает перемешивание металла со шлаком в ковше и переход из шлака в металл фосфора и FeO. Выпуск длится 3-7 мин. В процессе выпуска в ковш из бункеров вводят ферросплавы для раскисления и легирования. При этом в старых цехах загружают все ферросплавы так, чтобы обеспечивалось раскисление и получение в стали требуемого содержания вводимых элементов (Мп и Si, а в легированных сталях и других элементов) В конце выпуска в ковш попадает немного (1-2 %) шлака, который предохраняет металл от быстрого охлаждения.

В новых цехах, где проводят внепечную обработку, в ковш вводят сплавы, содержащие слабоокисляющиеся элементы (Мп, Сг и иногда Si), после чего ковш транспортируют на установку внепечной обработки, где в процессе усредняющей продувку аргоном вводят элементы, обладающие высоким сродством к кислороду (Si, AL, Ti, Ca и др.), что уменьшает их угар. В этом случае в момент слива из конвертора последних порций металла делают "отсечку" шлака, препятствуя попаданию в ковш конверторного шлака, содержащего фосфор, который может переходить в металл, и оксиды железа, которые будут окислять вводимые в металл, в процессе внепечной обработки, элементы. В ковше для защиты металла от охлаждения и окисления создают

шлаковый покров, загружая, например, гранулированный доменный шлак, вермикулит, известь с плавиковым шпатом.

6. Слив шлака. По достижении заданного содержания углерода дутье отключают, фурму поднимают, конвертор наклоняют и металл через летку (для уменьшения перемешивания металла со шлаком) выливают в ковш. Слив шлака в шлаковый ковш (чашку, установленную на самоходном шлаковозе) ведут через горловину, наклоняя конвертор в противоположную от летки сторону (слив через летку недопустим, так как шлак будет растворять футеровку летки). Слив шлака длится 2-3 мин.

Затем происходит доводка металла на установке внепечной обработки стали, после чего ковш с металлом подается в разливочный пролет, где с помощью литейного крана сталь разливается в изложницы. Раскисление и легирование металла производят в ковше. Общая продолжительность плавки в 100 - 350 тонных конверторах составляет 40 - 50 мин.

#### 1.2 Технические данные механизма подъёма фурмы

Устройство для подачи кислорода сверху состоит из двух фурм (одна рабочая, одна резервная) механизмов для подъема и перемещения рабочей фурмы, размещенных на специальных площадках над конвертером.

Охлаждение фурмы производится водой. Температура отходящей от фурмы воды не должна превышать 40°С. Фурму устанавливают вертикально, строго по оси конвертера. Подъем и опускание производят при помощи механизма сблокированного с механизмом вращения конвертера. Конвертер нельзя наклонить, пока из него не удалена фурма. Конструкция фурмы оказывает большое влияние на работу конвертера и определяет его производительность, стойкость футеровки, выход конвертера из эксплуатации. Технические данные механизма подъёма фурмы сведены в таблицу 1.

Таблица 1 Технические данные механизма подъёма фурмы.

Herricono por una mono como	Буквенное	Единицы	Величина
Наименование параметра	обозначение	измерения	
1. Передаточное число редуктора	i <sub>ред</sub>		20,49
2. КПД редуктора	η <sub>ред</sub>		0,88
3. КПД подшипников качения	$\eta_{\pi\kappa}$		0,99
4. КПД цепной передачи	ηцп		0,97

5. КПД муфты зубчатой	$\eta_{{\scriptscriptstyle M}3}$		0,99
6. Количество цепных блоков	$N_{ m uf o}$	ШТ	2
7. Ход фурмы	$S_{\Phi}$	M	17,25
8. Длина фурмы	$L_{\Phi}$	M	23,33
9. Скорость перемещения максимальная	V <sub>макс</sub>	м/с	0,734
10. Скорость перемещения минимальная	$V_{\scriptscriptstyle{\mathrm{M}\mathrm{H}\mathrm{H}}}$	м/с	0,2
11. Максимальное ускорение	$a_{ ext{make}}$	м/c <sup>2</sup>	1,2
12. Диаметр приводной звездочки	D <sub>пз</sub>	M	0,44
13. Масса приводной звездочки	$m_{\pi_3}$	КГ	45
14. Полная масса фурмы	$m_{\phi}$	КГ	4445
15. Масса противовеса	$m_{np}$	КГ	8000
16. Диаметр тормозного шкива	D <sub>тш</sub>	M	0,3
17. Масса тормозного шкива	тш	M	14,5
18. Диаметр муфты зубчатой	$D_{M3}$	M	0,3
19. Масса муфты зубчатой	$m_{\scriptscriptstyle M3}$	M	30
20. Максимальная угловая скорость	Опр.макс	рад/с	66,43
21. Минимальная угловая скорость	Опр.мин	рад/с	14,84
22. Максимальный момент муфты тормозной	$\mathrm{GD}^2_{\mathrm{MT}}$	Н*м	0,47

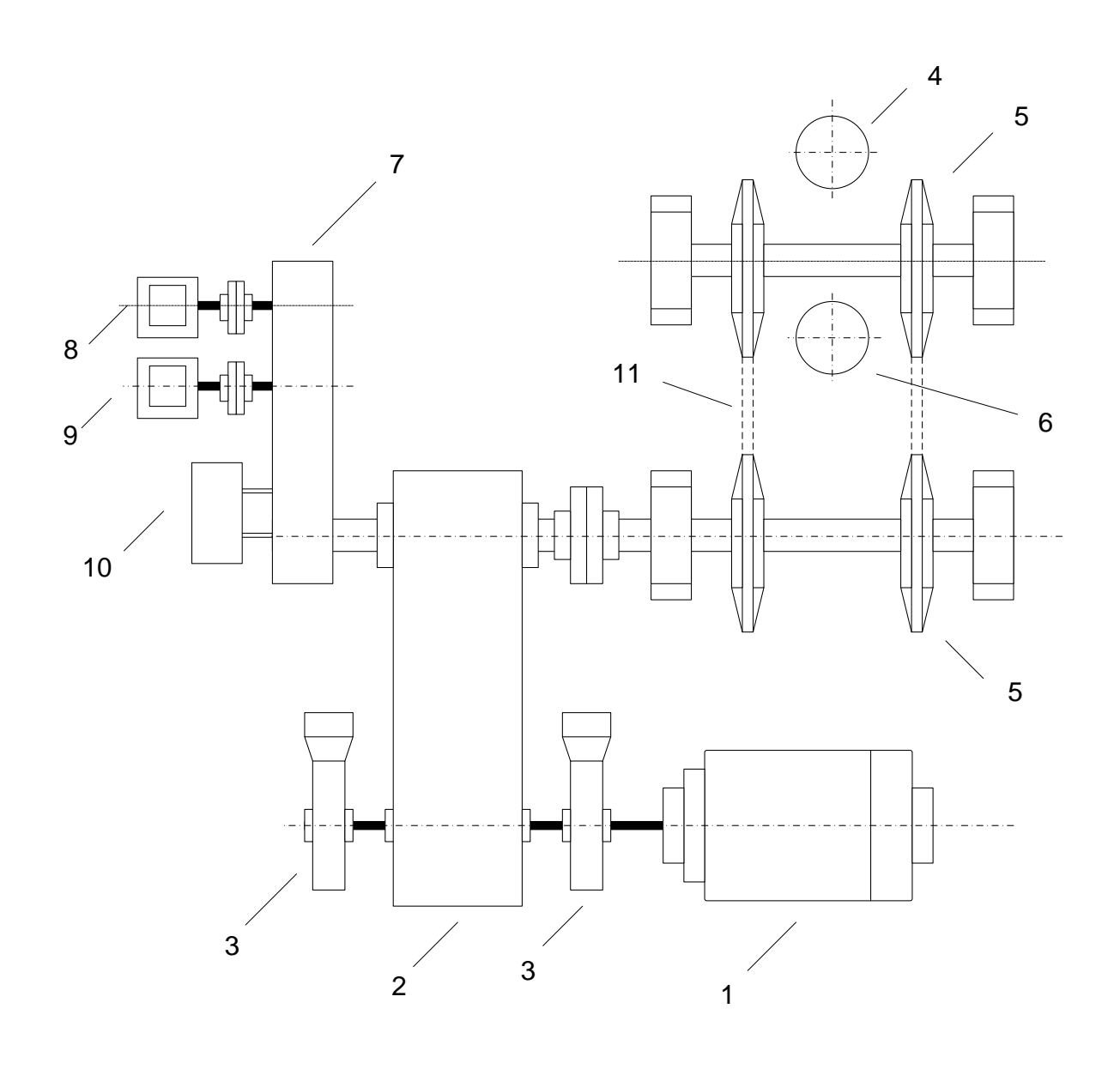


Рисунок 1 Кинематическая схема механизма подъёма фурмы

1 - Двигатель; 2 - Главный редуктор; 3 — Тормоз; 4 — Фурма; 5 — Звездочка приводная; 6 — Контргруз; 7 - Понижающий редуктор; 8 — Концевой выключатель; 9 - Резервный концевой выключатель; 10 — Энкодер; 11 — Цепь приводная.

#### 1.3 Технологические требования к электроприводу механизма

Основными требованиями технологического процесса к электроприводу фурмы являются:

- 1) диапазон регулирования скорости опускания и подъема не менее Д= 10:1;
- 2) высокая точность останова фурмы при подаче ее на продувку;
- 3) плавный пуск и торможение (ускорение не выше  $1,2 \text{ м/c}^2$ );
- 4) высокие температурные требования;

5) хорошая изоляция, так как существует высокая концентрация токопроводящей пыли.

Электрооборудование фурмы должно обладать максимальной надёжностью,

т. к. в случае его отказа возможны аварии, вплоть до взрыва при попадании воды в конвертер. Поэтому каждая фурма должна быть снабжена независимым электроприводом, системы привод-двигатель с реверсивным приводом.

Предусмотрены следующие режимы управления приводом вертикального перемещения фурм:

- 1. Автоматический
- 2. Ручной
- 3. Наладка
- 4. Аварийный подъем фурмы

Режим автоматический – привод вертикального перемещения фурм управляется сигналом "Заданное положение фурмы" от системы верхнего уровня автоматизации. Переход в этот режим осуществляется вручную от кнопки "Автоматический" на ГПУ.

Режим ручной – привод вертикального перемещения фурм управляется оператором по сигналу от джойстика ГПУ. Переход в этот режим осуществляется вручную от кнопки "Ручной" на ГПУ. Задействованы все блокировки. Применяется при необходимости внесение корректировок в автоматический режим ведения плавки или при невозможности выполнения автоматического режима.

Режим наладка – привод вертикального перемещения фурм управляется оператором по сигналу от джойстика ГПУ с ограниченным набором функций. Переход в этот режим осуществляется вручную от кнопки "Наладка" на ГПУ.

В режиме "Наладка" исключены следующие блокировки:

- 1) Автоматический аварийный подъем фурм.
- 2) Запрет на подъем выше горловины конвертера с кислородом. Применяется при пусконаладочных работах, для настройки оборудования, при отказах сети или абсолютных датчиках положения.

Режим аварийного подъема фурмы — имеет приоритет над всеми режимами управления. Переход в этот режим осуществляется автоматически (по сигналу от систем верхнего уровня управления), либо вручную от кнопки " Аварийный подъем фурмы" на ГПУ при этом производится.

Позиционирование фурмы производится по показанию датчиков положения.

Перед началом движения выполняется проверка соответствия значений абсолютных датчиков, при превышении рассогласования величины, определяемой в процессе наладки, выдаётся предупредительное сообщение.

Работа электропривода в этом случае возможна только после ручного выбора оператором датчика, чьи показания (по его мнению) соответствуют истинному положению конвертера. В случае некорректной работы обоих абсолютных датчиков возможен ручной выбор оператором режима работы по сигналам путевого выключателя.

#### 2. РАСЧЕТНО-ПРОЕКТНАЯ ЧАСТЬ

#### 2.1 Расчет мощности, выбор приводного электродвигателя.

Технологическая операция продувки осуществляется в следующей последовательности: перед началом продувки фурма опускается в конвертер со скоростью 0,734 м/с, а за 3 метра до условного зеркала металла скорость снижается до 0,2 м/с и поддерживается в этом пределе до полной остановки. После окончания продувки фурма поднимается вверх в исходное положение со скоростью 0,734 м/с.

Правильный выбор мощности электродвигателя имеет большое значение, так как этим обеспечиваются минимальные затраты и потери при эксплуатации, высокая производительность и надежность работы механизма. Занижение вызывает мощности электродвигателя его перегрев преждевременный выход строя, повышенную стоимость ИЗ ремонта. Завышение мощности ухудшает энергетические показатели электродвигателя. При этом снижается коэффициент полезного действия, увеличиваются капитальные затраты и эксплуатационные расходы. Выбор мощности двигателя должен быть произведен в полном соответствии с нагрузкой на валу и режимом работы.

Произведем расчет мощности механизма и осуществим по имеющимся данным расчет мощности и выбор электродвигателя:

$$P \ge \frac{M_c \cdot \omega_{{
m ДB \ H}}}{0.5 + \frac{\omega_{{
m Э\Pi \ MUH}}}{\omega_{{
m JB \ H}}}} = \frac{477 \cdot 77.8}{0.5 + \frac{14.84}{77.8}} = 53240 \ {
m BT}$$

где:  $F = (m_{\mathit{\PiP}} - m_{\phi}) \times g = (8000 - 4445) \times 9.8 = 34839 H$  - сила тяжести поднимаемого груза;

$$h = h_{PEJ} \not h_{IJK}^2 \not h_{IJI}^2 \not h_{M3} = 0.88 \not 0.99^2 \not 0.97^2 \not 0.99 = 0.8034$$
 - КПД механизма

Определим приводной момент сопротивления:

$$Mc = \frac{F}{h} \times r = \frac{34839}{0.8034} \times 0.011 = 477$$
 H<sub>M</sub>,

где 
$$r = \frac{V_{\phi}}{w_{\partial s}} = \frac{0,734}{66,43} = 0,011$$
 м — радиус приведения.

В качестве приводного электродвигателя выбираем асинхронный электродвигатель фирмы SIEMENS серии 1LG4310-8AB-Z. Это серия крановых двигателей предназначена для широкого регулирования скорости с

использованием преобразователей частоты. Технические данные двигателя приведены в таблице 2.

Таблица 2 Технические	ланные лвигателя	1LG4310-8AB-Z
1 dolling 2 1 called locking	данные дын атели	I LOTSIO OI LO

	- /		При номинальной нагрузке			
$P_{\mathrm{H}}$ , к $\mathrm{B}$ т	$n_0$ , of $M$	$U_{1$ лн $}, В$	$n_{\rm H}, \frac{\rm of}{\rm Muh}$	$I_{\mathrm{lH}}, \ \mathrm{A}$	h <sub>H</sub> , %	cosj <sub>H</sub>
55	750	380	740	102	94,3	0.82
$I_{\Pi}/I_{ m H}$	<i>J</i> , кг×м <sup>2</sup>	$rac{M_{\Pi}}{M_{ m H}}$	$rac{M_{ m Makc}}{M_{ m H}}$	М <sub>двн</sub> , Н×м		
6,3	2,48	2.5	2.9	710		

#### Определение дополнительных параметров двигателя

Синхронная угловая частота вращения двигателя

$$W_0 = \frac{\rho \times n_0}{30} = \frac{3.1415 \times 750}{30} = 78.53 \text{ рад/с}.$$

Номинальная угловая частота вращения двигателя

$$W_{H} = \frac{p \times n_{H}}{30} = \frac{3.1415 \times 740}{30} = 77.49 \text{ рад/с}.$$

Номинальное скольжение двигателя

$$s_{\rm H} = \frac{n_0 - n_{\rm H}}{n_0} = \frac{750 - 740}{750} = 0.013$$

Номинальное фазное напряжение и фазный ток обмотки статора

$$U_{_{1 \oplus \mathrm{H}}} = \frac{U_{_{1 \mathrm{ЛH}}}}{\sqrt{3}} = \frac{380}{\sqrt{3}} = 220 \mathrm{~B}$$
, 
$$I_{1 \oplus \mathrm{~H}} = I_{1 \mathrm{Л~H}} = 102 \mathrm{~A}$$

– при схеме соединения обмоток У.

Максимальный пусковой ток двигателя

$$I_{1_{\text{MAKC}}} = 6.3 \times I_{1_{\text{фH}}} = 6.3 \times 102 = 642,6 \text{ A}.$$

Максимальный (критический) момент на валу двигателя на естественной характеристике

$$M_{K} = 2.9 \times M_{MRH} = 2.9 \times 710 = 2059 \text{ H} \times M.$$

Пусковой момент на валу двигателя

$$M_{_{\rm ПУСК}} = 2.5 \times M_{_{\rm ДВH}} = 2.5 \times 710 = 1775 \; {\rm H} \times {\rm M}$$
 .

#### 2.2. Расчёт параметров схемы замещения электродвигателя

Производитель выбранных приводных двигателей серии 1LG4310-8AB-Z не указывает параметры схемы замещения, поэтому предварительно необходимо произвести расчет данных параметров.

#### Расчёт параметров схемы замещения в номинальном режиме

Расчёт параметров ведем для Т-образной схемы замещения электродвигателя [1]. Схема замещения приведена на рисунке 2.

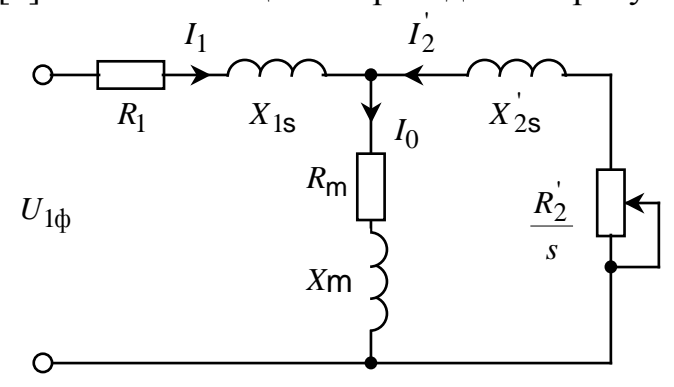


Рисунок 2 Т- образная схема замещения асинхронного двигателя

Приведённое к обмотке статора сопротивление цепи ротора в номинальном режиме

$$R_{\underline{C}_{H}}^{\underline{C}_{H}} = \frac{3 \times U_{1 \oplus H}^{2} \times (1 - s_{H})}{2 \times m_{K} \times P_{H} \times c_{1}^{2} \times \overset{\bullet}{\underset{E}{\leftarrow}} b + \frac{1}{s_{K}} \frac{\ddot{o}}{\dot{\underline{c}}} = \frac{3 \times 220^{2} \times (1 - 0.013)}{2 \times 2.9 \times 55000 \times 1.018^{2} \times \overset{\bullet}{\underset{E}{\leftarrow}} 1 + \frac{1}{0.079} \frac{\ddot{o}}{\dot{\underline{c}}} = 0.032 \text{ Om},$$

Где  $m_{_{\rm K}}=2,9$  – кратность максимального момента;

$$c_1 = 1 + \frac{I_0}{2 \times k_i \times I_{1H}} = 1 + \frac{24,112}{2 \times 6,3 \times 107,769} = 1,018$$

– коэффициент, характеризующий соотношение  $\frac{X_m + X_{1s}}{X_m}$ ;

$$I_{0} = \sqrt{\frac{I_{1p^{*}}^{2} - \frac{\acute{e}p^{*} \times (1 - s_{H})}{\acute{e}1 - p^{*} \times s_{H}} \times I_{1H} \overset{\grave{u}^{2}}{\mathring{u}}}{1 - \frac{\acute{e}p^{*} \times (1 - s_{H})}{\acute{e}1 - p^{*} \times s_{H}} \overset{\grave{u}^{2}}{\mathring{u}}}} = \sqrt{\frac{82,138^{2} - \frac{\acute{e}0,75 \times (1 - 0,013)}{\acute{e}1 - 0,75 \times 0,013} \times 07,769 \overset{\grave{u}^{2}}{\mathring{u}}}{1 - \frac{\acute{e}0,75 \times (1 - 0,013)}{\acute{e}1 - 0,75 \times 0,013} \overset{\grave{u}^{2}}{\mathring{u}}}}} = \sqrt{\frac{1 - \frac{\acute{e}0,75 \times (1 - 0,013)}{\acute{e}1 - 0,75 \times 0,013} \times 07,769 \overset{\grave{u}^{2}}{\mathring{u}}}{1 - \frac{\acute{e}0,75 \times (1 - 0,013)}{\acute{e}1 - 0,75 \times 0,013} \overset{\grave{u}^{2}}{\mathring{u}}}}}} = \sqrt{\frac{1 - \frac{\acute{e}0,75 \times (1 - 0,013)}{\acute{e}1 - 0,75 \times 0,013} \times 07,769 \overset{\grave{u}^{2}}{\mathring{u}}}{1 - \frac{\acute{e}0,75 \times (1 - 0,013)}{\acute{e}1 - 0,75 \times 0,013} \overset{\grave{u}^{2}}{\mathring{u}}}}}} = \sqrt{\frac{1 - \frac{\acute{e}0,75 \times (1 - 0,013)}{\acute{e}1 - 0,75 \times 0,013} \times 07,769 \overset{\grave{u}^{2}}{\mathring{u}}}{1 - \frac{\acute{e}0,75 \times (1 - 0,013)}{\acute{e}1 - 0,75 \times 0,013} \overset{\grave{u}^{2}}{\mathring{u}}}}}} = \sqrt{\frac{1 - \frac{\acute{e}0,75 \times (1 - 0,013)}{\acute{e}1 - 0,75 \times 0,013}}{1 - \frac{\acute{e}0,75 \times (1 - 0,013)}{\acute{e}1 - 0,75 \times 0,013}}} \times 107,769 \overset{\grave{u}^{2}}{\mathring{u}}}{1 - \frac{\acute{e}0,75 \times (1 - 0,013)}{\acute{e}1 - 0,75 \times 0,013}} \overset{\grave{u}^{2}}{\mathring{u}}}{1 - \frac{\acute{e}0,75 \times (1 - 0,013)}{\acute{e}1 - 0,75 \times 0,013}} \overset{\grave{u}^{2}}{\mathring{u}}}{1 - \frac{\acute{e}0,75 \times (1 - 0,013)}{\acute{e}1 - 0,75 \times 0,013}} \overset{\grave{u}^{2}}{\mathring{u}}}}{1 - \frac{\acute{e}0,75 \times (1 - 0,013)}{\acute{e}1 - 0,75 \times 0,013}} \overset{\grave{u}^{2}}{\mathring{u}}}}{1 - \frac{\acute{e}0,75 \times (1 - 0,013)}{\acute{e}1 - 0,75 \times 0,013}}} \overset{\grave{u}^{2}}{\mathring{u}}}}{1 - \frac{\acute{e}0,75 \times (1 - 0,013)}{\acute{e}1 - 0,75 \times 0,013}} \overset{\grave{u}^{2}}{\mathring{u}}}}{1 - \frac{\acute{e}0,75 \times (1 - 0,013)}{\acute{e}1 - 0,75 \times 0,013}} \overset{\grave{u}^{2}}{\mathring{u}}}}$$

$$= 24.112 A$$

ток холостого хода;

$$I_{1p^*} = \frac{p^* \times P_H}{3 \times U_{1\phi_H} \times \cos j_{p^*} \times h_{p^*}} = \frac{0.75 \times 55000}{3 \times 220 \times 0.822 \times 0.926} = 82,138 \text{ A}$$

– ток обмотки статора при частичной загрузке двигателя  $p^* = 0.75$ ;

$$s_{K} = s_{H} \times \frac{m_{K} + \sqrt{m_{K}^{2} - \cancel{\textbf{e}} 1 - 2 \times s_{H} \times \cancel{\textbf{b}} \times (m_{K} - 1) \cancel{\textbf{e}}}}{1 - 2 \times s_{H} \times \cancel{\textbf{b}} \times (m_{K} - 1)} = 0,013 \times \frac{2,9 + \sqrt{2,9^{2} - \cancel{\textbf{e}} 1 - 2 \times 0,013 \times (2,9 - 1) \cancel{\textbf{e}}}}{1 - 2 \times 0,013 \times (2,9 - 1)} = 0,079$$

- критическое скольжение двигателя;

b=1 — коэффициент, характеризующий соотношение активных сопротивлений статора и ротора выбирается из диапазона (0,6,2,5).

$$g = \sqrt{\frac{\stackrel{\circ}{\text{gel}} \frac{\ddot{o}^2}{\dot{e}^2}}{\stackrel{\circ}{\text{ge}} \frac{\dot{e}^2}{\dot{e}^2}} - b^2} = \sqrt{\frac{\stackrel{\circ}{\text{gel}} \frac{1}{\ddot{o}^2}}{\stackrel{\circ}{\text{e}^2} 0.07} \stackrel{\circ}{\text{g}}^2} - 1} = 12,58$$

где

 коэффициент, характеризующий соотношение индуктивного сопротивления короткого замыкания и приведённого активного сопротивления ротора.

Индуктивное сопротивление рассеяния обмотки статора в номинальном режиме работы

$$X_{1s} = 0.42 \times X_{KH} = 0.42 \times 0.408 = 0.171 \text{ Om}.$$

Индуктивность обмотки статора, обусловленная потоком рассеяния, в номинальном режиме работы

$$L_{1s} = \frac{X_{1s}}{2 \times p \times f_{1H}} = \frac{0.171}{2 \times 0.14 \times 50} = 5.45 \times 10^{-4} \text{ }\Gamma_{\text{H}}.$$

Приведённое к обмотке статора индуктивное сопротивление рассеяния обмотки ротора в номинальном режиме работы

$$X_{S} = 0.58 \times \frac{X_{KH}}{c_1} = 0.58 \times \frac{0.408}{1.012} = 0.232 \text{ Om}.$$

Приведённая к обмотке статора индуктивность обмотки ротора, обусловленная потоками рассеяния, в номинальном режиме работы

$$L_{S}^{\Phi} = \frac{X_{S}^{\Phi}}{2 \times p \times f_{1H}} = \frac{0.232}{2 \times 0.14 \times 50} = 7.39 \times 10^{-4} \text{ FH}.$$

Индуктивное сопротивление цепи намагничивания

$$X_m = \frac{E_1}{I_0} = \frac{206,949}{24,112} = 8,583 \text{ Om},$$

где

$$E_{1} = \sqrt{(U_{1\phi_{H}} \times \cos j_{H} - I_{1H} \times R_{1})^{2} + (U_{1\phi_{H}} \times \sin j_{H} - I_{1H} \times X_{1S})^{2}} =$$

$$= \sqrt{(220 \times 0.82 - 107,769 \times 0.032)^{2} - (220 \times 0.572 - 107,769 \times 0.171)^{2}} = 206,949 \text{ B}$$

– ЭДС ветви намагничивания, наведённая потоком воздушного зазора, в номинальном режиме;

$$\sin j_{\rm H} = \sqrt{1 - (\cos j_{\rm H})^2} = \sqrt{1 - 0.82^2} = 0.572.$$

Результирующая индуктивность, обусловленная магнитным потоком в воздушном зазоре

$$L_m = \frac{X_m}{2 \times p \times f_{1H}} = \frac{8,583}{2 \times 3,14 \times 50} = 27,33 \times 10^{-3} \text{ FH}.$$

Таблица 3 Дополнительные параметры

Наименование параметра	Буквенное	Величина	Единицы
	обозначение		измерения
Число фаз АД	$m_1$	3	
Ток пусковой	$I_{\Pi}$	642,6	A
Момент пусковой	$M_{\Pi}$	1775	Нм
Ток Х.Х. АД	$I_0$	50,8	A
Скольжение номинальное	S <sub>H</sub>	0,013	
Скольжение критическое	$S_k$	0,079	
Сопротивление обмотки статора	$R_1$	0,032	Ом
Сопротивление обмотки ротора приведенное к обмотке статора	$R_1'$	0,032	Ом

Продолжение таблицы 3 Дополнительные параметры

Индуктивное сопротивление	$X_{1\sigma}$		
рассеяния фазы статорной		0,171	Ом
обмотки			
Индуктивное сопротивление	$X'_{1\sigma}$	0,232	Ом
рассеяния фазы роторной обмотки		0,232	ОМ
Индуктивное сопротивление	$X_{k_{\mathrm{H}}}$	0,408	Ом
короткого замыкания	$\Lambda_{KH}$	0,400	Olvi
Индуктивное сопротивления	$X_{\mu}$	8,583	Ом
контура намагничивания	<b>1</b> μ	0,303	OW
Синхронная угловая скорость	$\omega_0$	78,53	рад/с
Номинальная угловая скорость	$\omega_{\scriptscriptstyle  ext{H}}$	77,49	рад/с
Индуктивность обмотки статора	$L_{1\sigma}$	5,45·10 <sup>-4</sup>	Гн
Индуктивность обмотки ротора	$L'_{1\sigma}$	7,39·10 <sup>-4</sup>	Гн
Результирующая индуктивность,	7	27.22.10-3	Γ.,
обусловленная магнитным	$L_m$	27,33·10 <sup>-3</sup>	Гн
потоком в воздушном зазоре			

# **2.3** Естественные механическая и электромеханическая характеристики двигателя

Зная значения параметров схемы замещения и их зависимость от скольжения, можно с достаточной точностью рассчитать и построить механическую и электромеханическую характеристики двигателя.

Механическая характеристика двигателя представляет собой зависимость скорости двигателя от электромагнитного момента на валу двигателя w(M). Однако расчетные значения момента двигателя соответствуют электромагнитному моменту. Поэтому расчетные механические характеристики двигателя представляют собой зависимость скорости вращения от электромагнитного момента  $\omega(M_{2M})$ . Электромеханическая характеристика двигателя представляет собой зависимость скорости  $I_1(\omega)$  или скольжения  $I_1(s)$ 

от величины тока статора. Естественные характеристики строятся при частоте инвертора  $f_{\rm H} = f_{\rm 1H} = 50~\Gamma$ ц .

Естественная электромеханическая характеристика асинхронного двигателя  $I_1(w)$  с учетом эффекта вытеснения тока ротора и насыщения цепей потоков рассеяния рассчитывается по выражениям:

$$\begin{split} I_{1}(s) &= \sqrt{I_{0}^{2}(s) + I_{2}^{'2}(s) + 2 \times I_{0}(s) \times I_{2}^{'}(s) \times \sin j_{2}(s)}; \\ \mathbf{w} &= \mathbf{w}_{0} \times (1 - s), \quad \text{где} \\ I_{2}^{'}(s) &= \frac{U_{1 \text{фH}}}{\frac{2}{\sqrt{K_{1}^{2} + K_{2}^{'}(s) \overset{\circ}{\circ}^{2}}}{\frac{1}{\sqrt{K_{1}^{2} + (X_{1} + X_{2}^{'}(s))^{2}}}; \\ &\pm \sqrt{\frac{2}{\sqrt{K_{1}^{2} + (X_{1} + X_{2}^{'}(s))^{2}}}{\frac{2}{\sqrt{K_{1}^{2} + (X_{1} + X_{2}^{'}(s))^{2}}}; \\ I_{0}(s) &= \frac{U_{1 \text{фH}}}{\sqrt{K_{1}^{2} + (X_{1} + X_{2}^{'}(s))^{2}}}; \\ \sin j_{2}(s) &= \frac{X_{1} + (X_{1} + X_{2}^{'}(s))^{2}}{\sqrt{\frac{2}{\sqrt{K_{1}^{2} + (X_{1} + X_{2}^{'}(s))^{2}}}} \cdot \frac{X_{1} + (X_{1} + X_{2}^{'}(s))^{2}}{\sqrt{\frac{2}{\sqrt{K_{1}^{2} + (X_{1} + X_{2}^{'}(s))^{2}}}}} \cdot \frac{X_{1} + (X_{1} + X_{2}^{'}(s))^{2}}{\sqrt{\frac{2}{\sqrt{K_{1}^{2} + (X_{1} + X_{2}^{'}(s))^{2}}}}} \cdot \frac{X_{1} + (X_{1} + X_{2}^{'}(s))^{2}}{\sqrt{\frac{2}{\sqrt{K_{1}^{2} + (X_{1} + X_{2}^{'}(s))^{2}}}}} \cdot \frac{X_{1} + (X_{1} + X_{2}^{'}(s))^{2}}{\sqrt{\frac{2}{\sqrt{K_{1}^{2} + (X_{1} + X_{2}^{'}(s))^{2}}}}} \cdot \frac{X_{1} + (X_{1} + X_{2}^{'}(s))^{2}}{\sqrt{\frac{2}{\sqrt{K_{1}^{2} + (X_{1} + X_{2}^{'}(s))^{2}}}}} \cdot \frac{X_{1} + (X_{1} + X_{2}^{'}(s))^{2}}{\sqrt{\frac{2}{\sqrt{K_{1}^{2} + (X_{1} + X_{2}^{'}(s))^{2}}}}} \cdot \frac{X_{1} + (X_{1} + X_{2}^{'}(s))^{2}}{\sqrt{\frac{2}{\sqrt{K_{1}^{2} + (X_{1} + X_{2}^{'}(s))^{2}}}}} \cdot \frac{X_{1} + (X_{1} + X_{2}^{'}(s))^{2}}{\sqrt{\frac{2}{\sqrt{K_{1}^{2} + (X_{1} + X_{2}^{'}(s))^{2}}}}}} \cdot \frac{X_{1} + (X_{1} + X_{2}^{'}(s))^{2}}{\sqrt{\frac{2}{\sqrt{K_{1}^{2} + (X_{1} + X_{2}^{'}(s))^{2}}}}}} \cdot \frac{X_{1} + (X_{1} + X_{2}^{'}(s))^{2}}{\sqrt{\frac{2}{\sqrt{K_{1}^{2} + (X_{1} + X_{2}^{'}(s))^{2}}}}} \cdot \frac{X_{1} + (X_{1} + X_{2}^{'}(s))^{2}}{\sqrt{\frac{2}{\sqrt{K_{1}^{2} + (X_{1} + X_{2}^{'}(s))^{2}}}}} \cdot \frac{X_{1} + (X_{1} + X_{2}^{'}(s))^{2}}{\sqrt{\frac{2}{\sqrt{K_{1}^{2} + (X_{1} + X_{2}^{'}(s))^{2}}}}} \cdot \frac{X_{1} + (X_{1} + X_{2}^{'}(s))^{2}}{\sqrt{\frac{2}{\sqrt{K_{1}^{2} + (X_{1} + X_{2}^{'}(s))^{2}}}}} \cdot \frac{X_{1} + (X_{1} + X_{2}^{'}(s))^{2}}{\sqrt{\frac{2}{\sqrt{K_{1}^{2} + (X_{1} + X_{2}^{'}(s))^{2}}}}} \cdot \frac{X_{1} + (X_{1} + X_{2}^{'}(s))^{2}}{\sqrt{\frac{2}{\sqrt{K_{1}^{2} + (X_{1} + X_{2}^{'}(s))^{2}}}}} \cdot \frac{X_{1} + (X_{1} + X_{2}^{'}(s))^{2}}{\sqrt{\frac{2}{\sqrt{K_{1}^{2} + (X_{1} + X_{2}^{'}(s))^{2}}}}} \cdot \frac{X_{1} + (X_{1} + X_{2}^{'}$$

Используя приложение MathCAD 14, рассчитываются и строятся естественные характеристики двигателя  $_{\mathfrak{O}}(M_{_{\mathfrak{IM}}})$  и  $I_1(w)$ . В процессе расчета механической характеристики находятся расчетные значения критического скольжения  $s_{_{\mathbf{K}}}$ , электромагнитного номинального  $M_{_{\mathfrak{IM}\,\mathbf{K}}}=M_{_{\mathfrak{IM}\,\mathbf{K}}}(s_{_{\mathbf{K}}})$ , критического  $M_{_{\mathfrak{IM}\,\mathbf{K}}}(s_{_{\mathbf{K}}})=M_{_{\mathfrak{IM}\,\mathbf{K}}}$  моментов, соответствующие расчетной естественной механической характеристике двигателя. При расчете электромеханической характеристики находятся расчетные значения тока холостого хода  $I_0$ , номинального  $I_{_{\mathbf{H}}}=I_{1_{\mathbf{D}\,\mathbf{H}}}$  тока двигателя.

Естественные расчетные механическая и электромеханическая характеристики двигателя приведёны, соответственно, на рисунках 3 и 4.

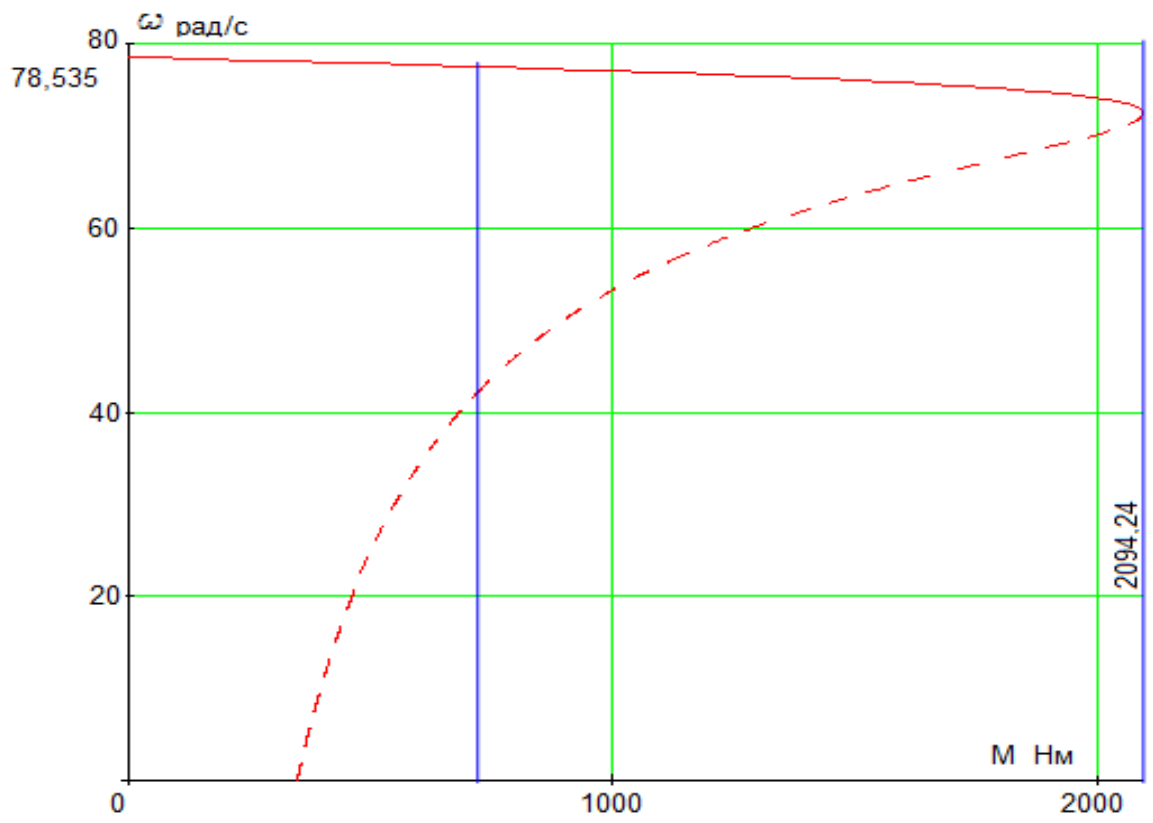


Рисунок 3. Естественная механическая характеристика АД

По результатам расчета механической характеристики найдены значения электромагнитных моментов двигателя: номинального  $M_{_{\rm 3M~H}}=716,23{\rm H}\,{
m xm}$ ; критического  $M_{_{\rm 3M~K}}=2094~{\rm H}\,{
m xm}$  при угловой скорости  $\omega_{_{\rm K}}=73,\!15~{\rm pag/c}$ .

- кратность максимального (критического) момента

$$m_{\rm K} = \frac{M_{_{\rm 9M K}}}{M_{_{\rm 9M H}}} = \frac{2094}{716,23} = 2,92;$$

- критическое скольжение

$$s_{\rm K} = \frac{\omega_0 - \omega_{\rm K}}{\omega_0} = \frac{78.53 - 73,15}{78.53} = 0,0685$$
.

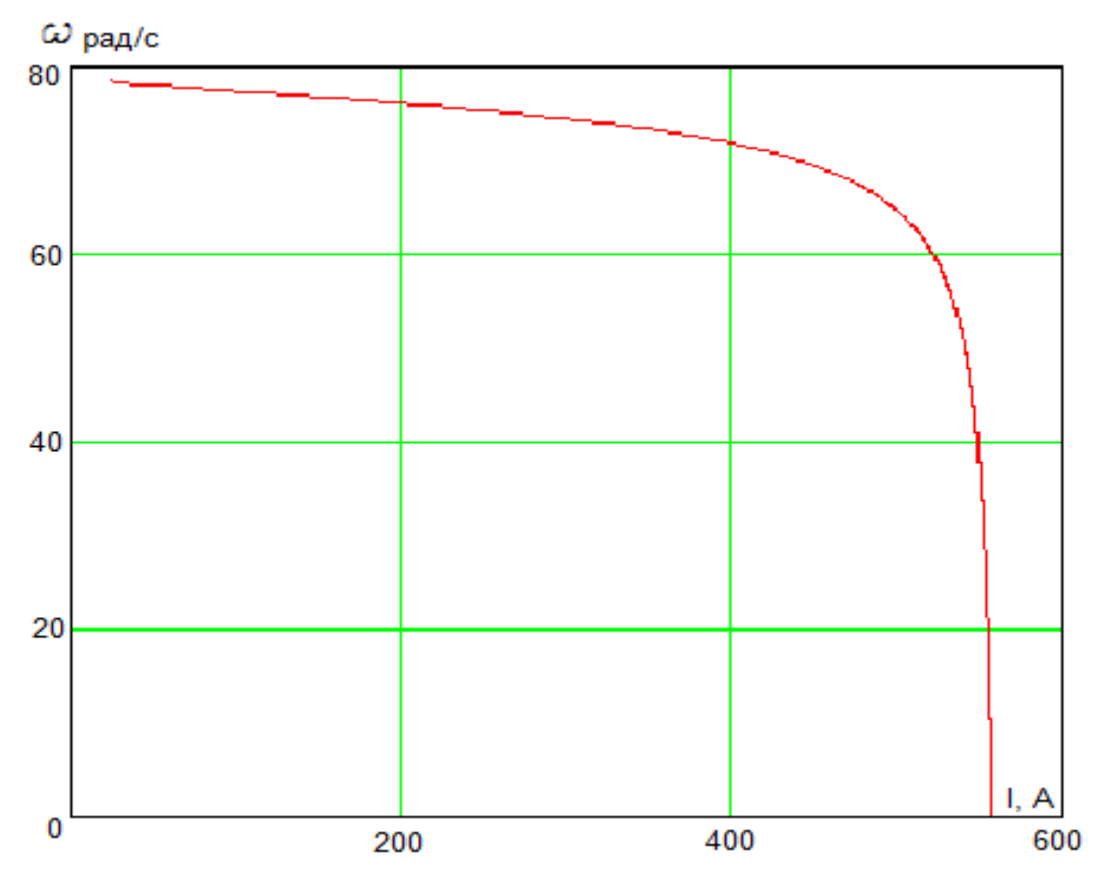


Рисунок 4. Естественная электромеханическая характеристика АД.

По результатам расчета электромеханической характеристики найдены значения тока холостого хода  $I_0 = 25{,}131\,\mathrm{A}$  , номинального тока  $I_\mathrm{H} = 94{,}823\mathrm{A}$ 

Параметры расчетных механической и электромеханической характеристик двигателя оказались близки к приведённым в таблице 1 справочным параметрам двигателя.

#### 2.4 Проверка двигателя по динамической нагрузке.

Определим приведенный момент инерции при подъеме фурмы, соответствующий минимальному моменту инерции:

$$J_{\text{мин}} = J_{\text{дв}} + J_{\text{тш}} + J_{\text{м3}} + J_{\text{мт}} + J_{\text{п3}} + m_{\varphi} \cdot \rho^2$$
 
$$J_{\text{мин}} = 2.48 + 0.33 + 0.675 + 0.1175 + 4.356 + 4445 \cdot 0.011^2 = 8.49 \; \text{кг} \cdot \text{м}^2$$
 где

 $J_{\scriptscriptstyle {
m TIII}} = m_{\scriptscriptstyle {
m TIII}} \cdot r_{\scriptscriptstyle {
m TIII}}^2 = 14.5 \cdot 0.15^2 = 0.33$  кг · м²- момент инерции тормозного шкива;

 $J_{\text{M3}}=m_{\text{M3}}\cdot r_{\text{M3}}^2=30\cdot 0,15^2=0,675\ \text{кг}\cdot \text{M}^2$ - момент инерции муфты зубчатой;

$$J_{\text{MT}} = \frac{GD_{\text{MT}}^2}{4} = \frac{0.47}{4} = 0.1175 \; \text{кг} \cdot \text{м}^2$$
- момент инерции муфты тормозной;

 $J_{\Pi 3}=4\cdot m_{\Pi 3}\cdot rac{r_{\Pi 3}^2}{2}=4\cdot 45\cdot rac{0.22^2}{2}=4,356$  кг $\cdot$  м $^2$ - момент инерции приводной звездочки;

Определим момент инерции при опускании, соответствующий максимальному моменту инерции:

$$J_{ exttt{MAKC}} = J_{ exttt{AB}} + J_{ exttt{TIII}} + J_{ exttt{M3}} + J_{ exttt{MT}} + J_{ exttt{II3}} + m_{ exttt{IIp}} \cdot 
ho^2$$

$$J_{\text{Makc}} = 2.48 + 0.33 + 0.675 + 0.1175 + 4.356 + 8000 \cdot 0.011^2 = 8.93 \text{ кг} \cdot \text{м}^2$$

Определим статический момент двигателя при подъеме:

$${
m M}_{
m c.подъем} = {
m M}_{
m грз.прив} - {
m M}_{
m c.прив} = 374 - 91,6 = 282,4 \; {
m H} \cdot {
m M}$$

где

$$M_{\text{грз.прив}} = \frac{M_{\text{гр.пз}}}{i_{\text{ред}}} = \frac{7664}{20,49} = 374 \text{ H} \cdot \text{м};$$

$${
m M}_{
m rp.п3} = \left(m_{
m пp} - m_{
m \varphi}
ight) \cdot g \cdot r_{
m n3} = \left(8000 - 4445
ight) \cdot 9,8 \cdot 0,22 = 7664,6 \; {
m H} \cdot {
m M};$$

$$\mathrm{M}_{\mathrm{c.прив}} = \frac{\mathrm{M}_{\mathrm{гр.п3}}}{i_{\mathrm{ред}} \cdot \eta} - \frac{\mathrm{M}_{\mathrm{гр.п3}}}{i_{\mathrm{ред}}} = \frac{7664.6}{20.49 \cdot 0.8034} - \frac{7664.6}{20.49} = 91.6 \; \mathrm{H \cdot M-}$$
 приведенный

момент сопротивления.

Вычислим момент статический при спуске:

$$M_{\text{с.спуск}} = M_{\text{грз.прив}} + M_{\text{с.прив}} = 374 + 91,6 = 466 \; \text{H} \cdot \text{м}$$

Проверка двигателя по динамической нагрузке:

Разгон в операции "Подъем"

$$M_{\text{подъем}} = J_{\text{мин}} \cdot \frac{a}{r} - M_{\text{с.подъем}} = 8,49 \cdot \frac{1,2}{0,011} - 466 = 643 \text{ H} \cdot \text{м}$$

Торможение в операции "Подъем"

$$M_{m.no\partial$$
bem} =  $\Box_{MUH} \cdot \frac{a}{\Box} + M_{c.no\partial$ bem} = 8,49 \cdot \frac{1,2}{0,011} + 466 = 1208 \cdot H \cdot M

Разгон в операции "Опускание"

$$M_{\text{спуск}} = J_{\text{макс}} \cdot \frac{a}{r} + M_{\text{с.спуск}} = 8,93 \cdot \frac{1,2}{0,011} + 282,4 = 1482 \text{ H} \cdot \text{M}$$

Торможение в операции "Опускание"

$${
m M}_{
m T.CПУСК} = J_{
m MAKC} \cdot rac{{
m a}}{r} - {
m M}_{
m C.CПУСK} = 8,93 \cdot rac{1,2}{0,011} - 282,4 = 331 \ {
m H} \cdot {
m M}$$

### 2.5 Механическая система электропривода

Представим механизм подъема фурмы в виде одномассовой системы для случаев подъема и опускания фурмы.

Параметры при подъеме: Параметры при спуске:

$$J_{\text{макс}}$$
=8,93 кгм<sup>2</sup>;  $J_{\text{мин}}$ =8,49 кгм<sup>2</sup>;

$$M_{c.подъем}$$
 =282,4 Hм.  $M_{c.спуск}$  =466 Hм.

На рисунке 5 представлена расчетная и структурная схема механической системы для случаев подъема и опускания фурмы.

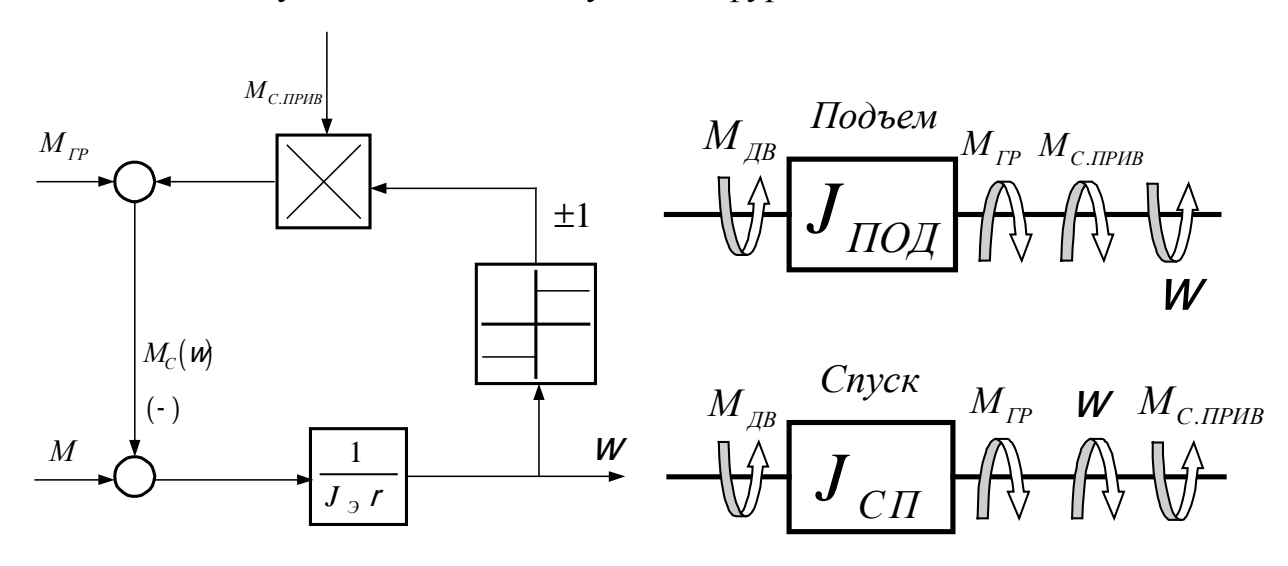


Рисунок 5. Расчетная и структурная схемы механические системы электропривода.

Величина момента двигателя в переходных режимах не превышает каталожной величины момента, поэтому двигатель 1LG4310-8AB-Z может быть принят к установке на механизме подъема кислородной фурмы.

Из условий что, максимальное ускорение  $a_{\text{макс}} = 1,2$  м/с², ход фурмы  $S_{\Phi} = 17,25$ м,

Переключение на пониженную скорость за S=3м до остановки, скорость максимальная  $V_{\text{макс}}=0,734$  м/с, скорость минимальная  $V_{\text{мин}}=0,2$  м/с находим время опускания и подъема фурмы.

Время и путь при разгоне от  $V_0$  до  $V_{\text{макс}}$  при опускании фурмы:

$$t_1 = \frac{V_{
m MAKC}}{a_{
m MAKC}} = \frac{0.734}{1.2} = 0.6$$
 сек.  $S_1 = V_{cp1} \cdot t_1 = 0.367 \cdot 0.6 = 0.22$ м  $V_{cp1} = \frac{V_{
m MAKC}}{2} = \frac{0.734}{2} = 0.367$  м/с

Время и путь при торможении от  $V_{\text{макс}}$  до  $V_{\text{мин}}$  при опускании фурмы:

$$t_3 = \frac{V_{\text{макс}} - V_{\text{мин}}}{a_{\text{макс}}} = \frac{0.734 - 0.2}{1.2} = 0.45 \text{ сек.}$$
  $S_3 = V_{cp3} \cdot t_3 = 0.267 \cdot 0.45 = 0.000$ 

0,12 M

$$V_{cp3} = rac{V_{ ext{MAKC}} - V_{ ext{MUH}}}{2} = rac{0.734 - 0.2}{2} = 0.267 ext{ m/c}$$

Время и путь при торможении от  $V_{\text{мин}}$  до  $V_0$  при опускании фурмы:

$$t_5 = \frac{V_{\text{мин}}}{a_{\text{макс}}} = \frac{0.2}{1.2} = 0.15 \text{ сек.}$$
  $S_5 = V_{cp5} \cdot t_5 = 0.1 \cdot 0.15 = 0.015$ м  $V_{cp5} = \frac{V_{\text{мин}}}{2} = \frac{0.2}{2} = 0.1 \text{ м/c}$ 

Время при  $V_{\text{мин}}$  прохождение  $S_4$ =3м при опускании фурмы:

$$t_4 = \frac{S_4}{V_{\text{MMH}}} = \frac{3}{0.2} = 15 \text{ceK}$$

Время при  $V_{\text{макс}}$  прохождение  $S_2$  при опускании фурмы:

$$S_2 = S_{\phi} - (S_1 + S_3 + S_4 + S_5) = 17,25 - (0,22 + 0,12 + 3 + 0,015)$$
  
= 13,895 M  
 $S_2 = 13,895$ 

$$t_2 = \frac{S_2}{V_{\text{Marc}}} = \frac{13,895}{0,734} = 18,93 \text{cek}$$

Время опускания фурмы:

$$t_{
m on}=t_1+t_2+t_3+t_4+t_5=0.6+18,93+0.45+15+0.15=35,13$$
сек Время и путь при разгоне от  $V_0$  до  $V_{
m make}$  при подъеме фурмы:

$$t_6 = t_8 = t_1 = 0.6$$
 cek

$$S_6 = S_8 = S_1 = 0.22$$
M

Время при  $V_{\text{макс}}$  прохождение  $S_7$  при подъеме фурмы:

$$S_7 = S_{\phi} - (S_6 + S_8) = 17,25 - (0,22 + 0,22) = 16,81 \text{ M}$$

$$t_7 = \frac{S_7}{V_{\text{Makc}}} = \frac{16,81}{0,734} = 22,9$$
cek

Время подъема фурмы:

$$t_{\text{под}} = t_6 + t_7 + t_8 = 0.6 + 22.9 + 0.6 = 24.1 \text{сек}$$

Строим циклограмму работы механизма.

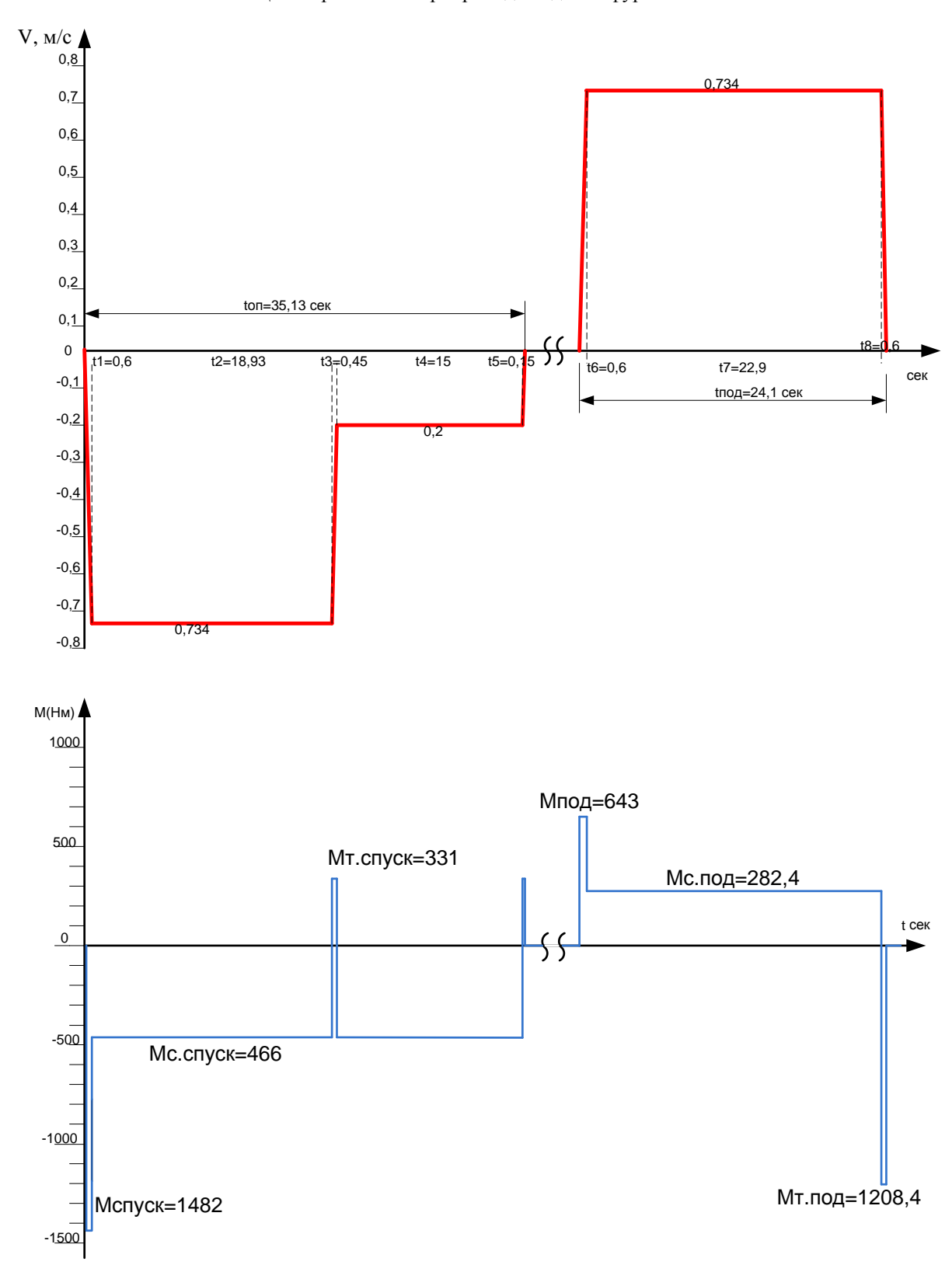


Рисунок 6 Циклограмма электропривода подъёма фурмы.

#### 2.6. Определение области допустимой длительной работы двигателя

Асинхронный двигатель питается и управляется от преобразователя частоты. При регулировании скорости будет использоваться способ векторного управления, что определяет поддержание постоянного потокосцепления двигателя при регулировании скорости ниже номинальной. В соответствии с этим был выбран двигатель с независимой вентиляцией, что позволяет ему работать с нагрузками близкими к номинальным при низких скоростях работы электродвигателя.

Таким образом, перед выбором частотного преобразователя необходимо определить зону безопасной работы электродвигателя и задаться максимальными нагрузками.

В соответствии с техническими данными, предоставляемыми производителем, границы режима допустимой длительной работы двигателя при независимой вентиляции, можно представить в виде зависимостей:

- для тока двигателя

$$I_{\rm дв \; длит \; доп} (\textit{w}) = \begin{tabular}{l} I_{\rm дв \; H} = 102 {\rm A}, \; \rm при \; \textit{W}^3 \; 0.5 \times \textit{W}_{\rm H} \\ 0.9 \times I_{\rm дв \; H} = 0.9 \times 102 = 91, 8 {\rm A}, \; \rm при \; \textit{W} = 0 \; ; \\ \end{tabular}$$

– для момента (электромагнитного) двигателя

$$M_{_{\mathrm{ЭМ \ ДЛИТ \ ДОП}}}(w) = \int\limits_{1}^{1} M_{_{\mathrm{ЭМ \ H}}} = 716,23\mathrm{H} \times \mathrm{M}, \text{при } w^3 \ 0.5 \times w_{_{\mathrm{H}}} = 0.9 \times 716,23 = 644,61\mathrm{H} \times \mathrm{M}, \text{при } w = 0.9 \times 716,23 = 644,61\mathrm{H} \times \mathrm{M}$$

В соответствии с приведенными зависимостями на механическую и электромеханическую характеристики наносим границы зон  $M_{\rm 9M~ДЛИТ~ДОП}(w)$  и  $I_{\rm ДВ~ДЛИТ~ДОП}(w)$  длительной допустимой работы двигателя. Графики зависимостей приведены на рисунках 7 и 8.

Из приведённых на рисунках характеристик следует, что длительно допустимый момент нагрузки, с которым может работать двигатель на минимальной скорости  $W_{_{\mathrm{ЛВ \, MИH}}} = 6,643 \frac{\mathrm{рад}}{\mathrm{c}}$  (диапазон регулирования скорости 1, 10), составляет  $M_{_{\mathrm{ЭМ \, ДЛИТ \, ДОП}}} = 649 \ \mathrm{H} \times \mathrm{M}$  при длительно допустимом токе статора  $I_{_{\mathrm{ЛВ \, ЛЛИТ \, ДОП}}} = 93,7 \ \mathrm{A}$ .

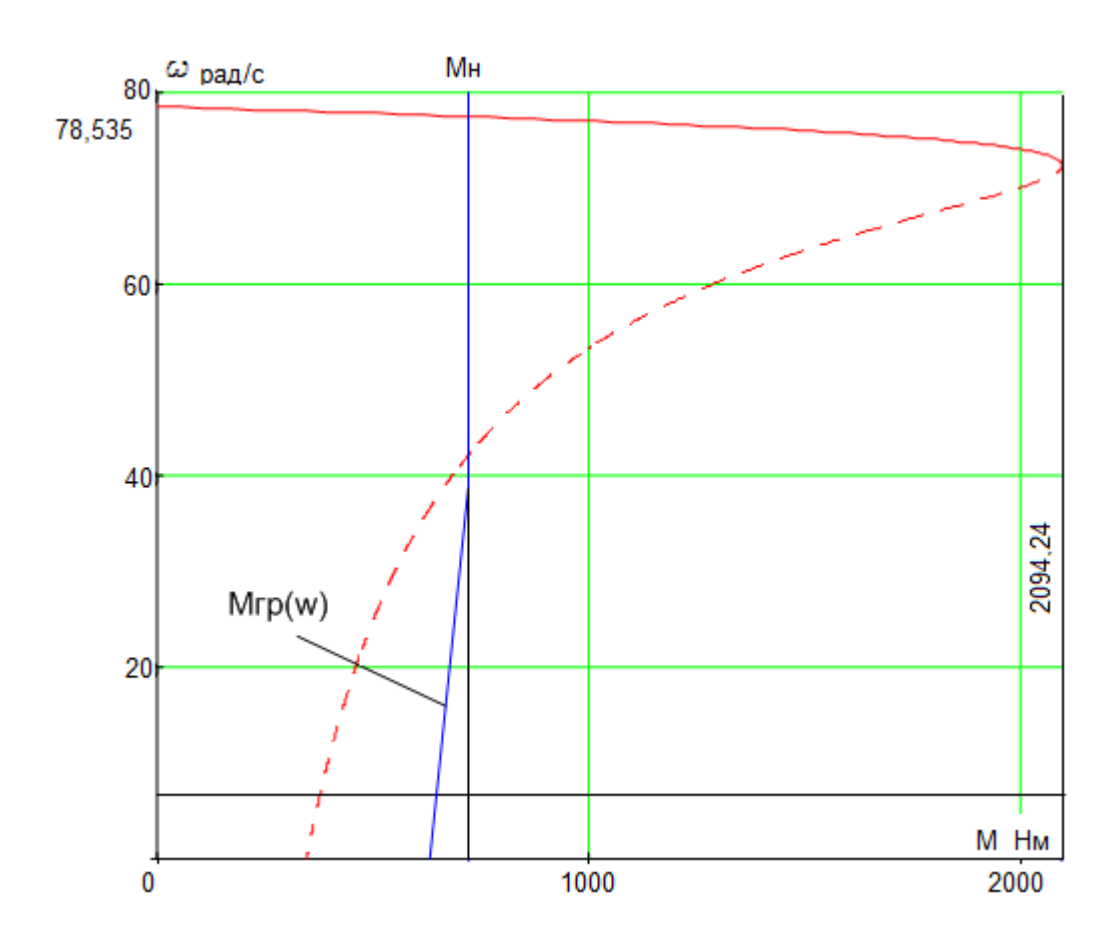


Рисунок 7. Естественная механическая характеристика и граница области допустимой длительной работы  $M_{\scriptscriptstyle {
m 9M}}$  длит доп (w) двигателя

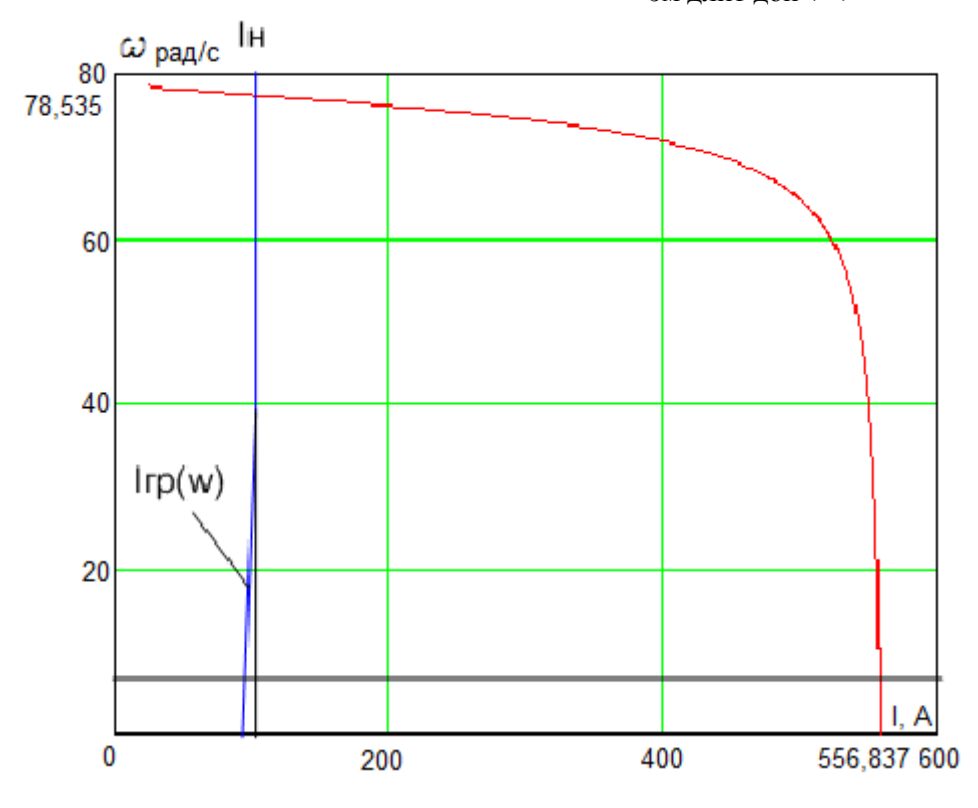


Рисунок 8. Естественная электромеханическая характеристика и граница области допустимой длительной работы  $I_{\rm дв \ длит \ доп}(w)$  двигателя

### 2.7.Построение требуемых областей длительной и кратковременной работы двигателя

# 2.7.1 Построение областей работы в плоскости механических характеристиках двигателя

Максимальный статический момент, приложенный к валу двигателя  $M_{\rm c\,cnvck} = 466 {\rm H} \, \text{м} \, .$ 

Требуемое максимальное значение динамического момента двигателя  $M_{_{\text{дин}}} = J_{_{3}} \times e = 8,93 \times 13,77 = 970 \text{ H} \times \text{M} \,,$ 

где

$$J_{\text{make}} = 8.93 \text{ kg} \times \text{m}^2$$

-эквивалентный момент инерции привода;

$$\varepsilon_{\text{MARC}} = \frac{a \times W_{\text{911 MARC}}}{V_{\text{MARC}}} = \frac{1,2 \times 66,43}{0,734} = 113,77 \text{ pag/c}^2$$

- угловое ускорение привода;

$$V_{\text{\tiny MAKC}} = 0.734 \, \text{M/c}$$

- заданная максимальная рабочая скорость движения фурмы;

$$a = 1.2 \, \frac{\text{M}}{\text{c}^2}$$

– принятое значение ускорения привода.

Максимальный требуемый момент электропривода в пусковом режиме.

$$M_{\text{PILMAKC}} = M_{\text{c}} + M_{\text{TMH}} = 466 + 1016 = 1482 \text{ H} \times \text{M}$$
.

Найденные значения моментов нанесены на плоскость механических характеристик электродвигателя (рисунок 9).

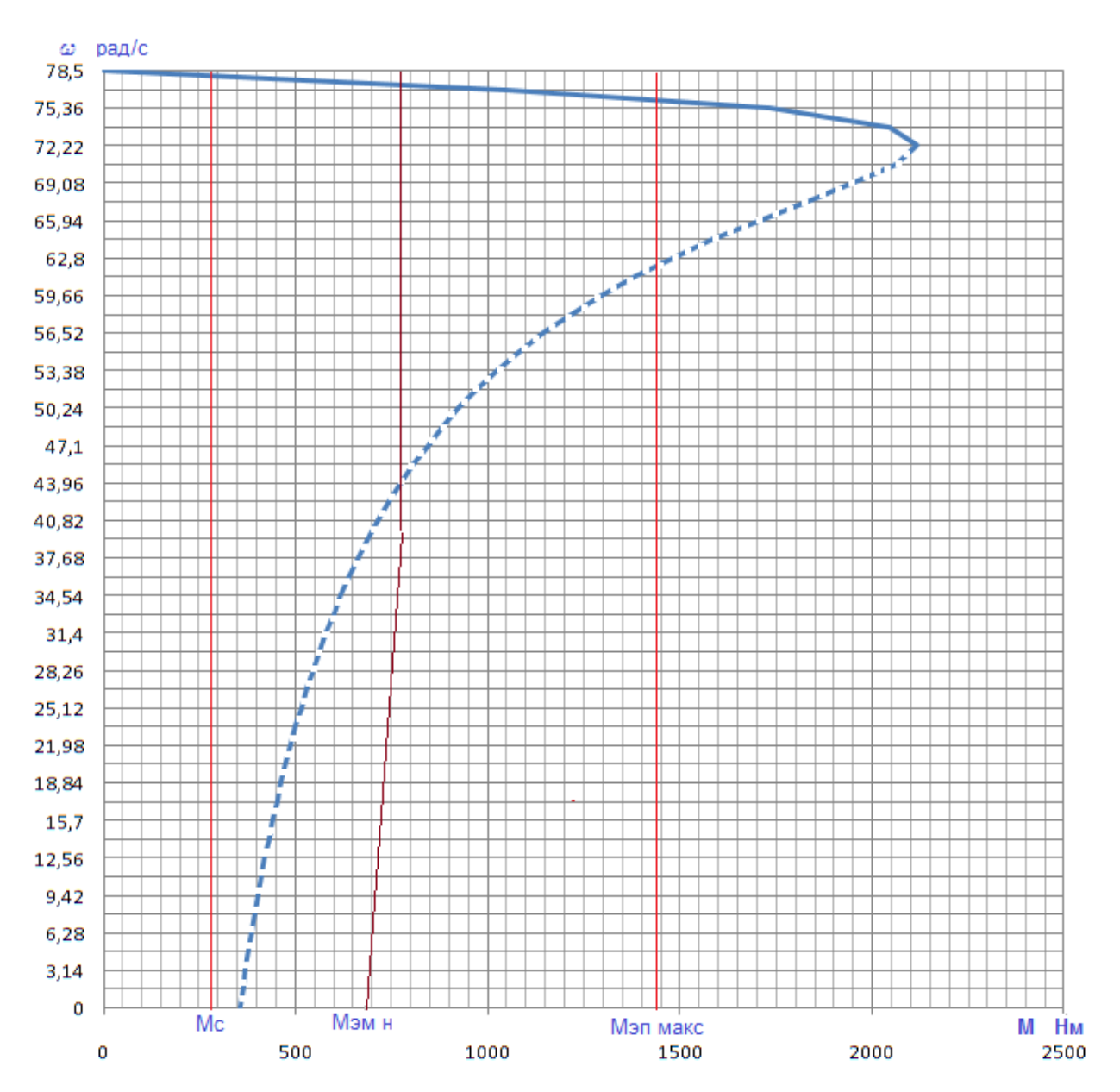


Рисунок 9. Области работы электропривода в плоскости механических характеристик двигателя

# 2.7.2 Построение областей работы электропривода в плоскости электромеханических характеристик двигателя

Используя полученные значения моментов, определим соответствующие им значения токов двигателя. Для этого, с помощью процедуры Given в приложении MathCAD, решая уравнение механической характеристики двигателя M(s) при заданном значении момента, определяем соответствующее ему скольжение s. Подставляя полученное значение скольжения в уравнение электромеханической характеристики двигателя I(s), определяем значение тока обмотки статора, соответствующее исходному значению момента.

Например, решая уравнение

$$\frac{3 \times U_{1 \oplus \mathbf{H}}^2 \times R \mathbf{p}(s)}{\mathbf{p}(s) \times \mathbf{p}(s) \times$$

при значении  $M_{\rm c}=863~{\rm H}\,{\rm xm}$  находим значение скольжения  $s=0{,}014$  и по выражению

$$I_1(s) = \sqrt{I_0^2(s) + I_2^{'2}(s) + 2 \times I_0(s) \times I_2^{'}(s) \times inj_2(s)}$$
,

где

$$\begin{split} I_{2}^{'}(s) &= \frac{U_{1 \text{фH}}}{\pm \sqrt{\overset{2}{\xi} R_{1} + \frac{R_{2}^{'}(s) \overset{2}{\circ}}{\overset{2}{\sigma}} + \left[X_{1 \text{S}}\left(s\right) + X_{2 \text{S}}^{'}\left(s\right)\right]^{2} + \overset{2}{\xi} \frac{R_{1} \times R_{2}^{'}(s) \overset{2}{\circ}}{\overset{2}{\sigma}};}}{\xi s \times X_{\text{m}} \overset{2}{\overset{2}{\sigma}}}}; \end{split}$$

$$I_0(s) = \frac{U_{1\phi H}}{\sqrt{R_1^2 + (X_{1s}(s) + X_m)^2}};$$

$$\sin j_{2}(s) = \frac{X_{1s}(s) + X_{2s}(s)}{\sqrt{\sum_{k=1}^{\infty} \frac{R_{2}(s)}{s} \frac{\ddot{o}^{2}}{\dot{o}}} + \left[X_{1s}(s) + X_{2s}(s)\right]^{2}}$$

значение тока статора  $I_{\rm c\ make}$  = 96 A .

Поступая аналогично, находим:

– для момента 
$$M_{_{\rm 9H\;Makc}} = 1482~{\rm H}\,{\rm xM}\,-\,I_{_{\rm 9H\;Makc}} = 207~{\rm A}$$
 ;

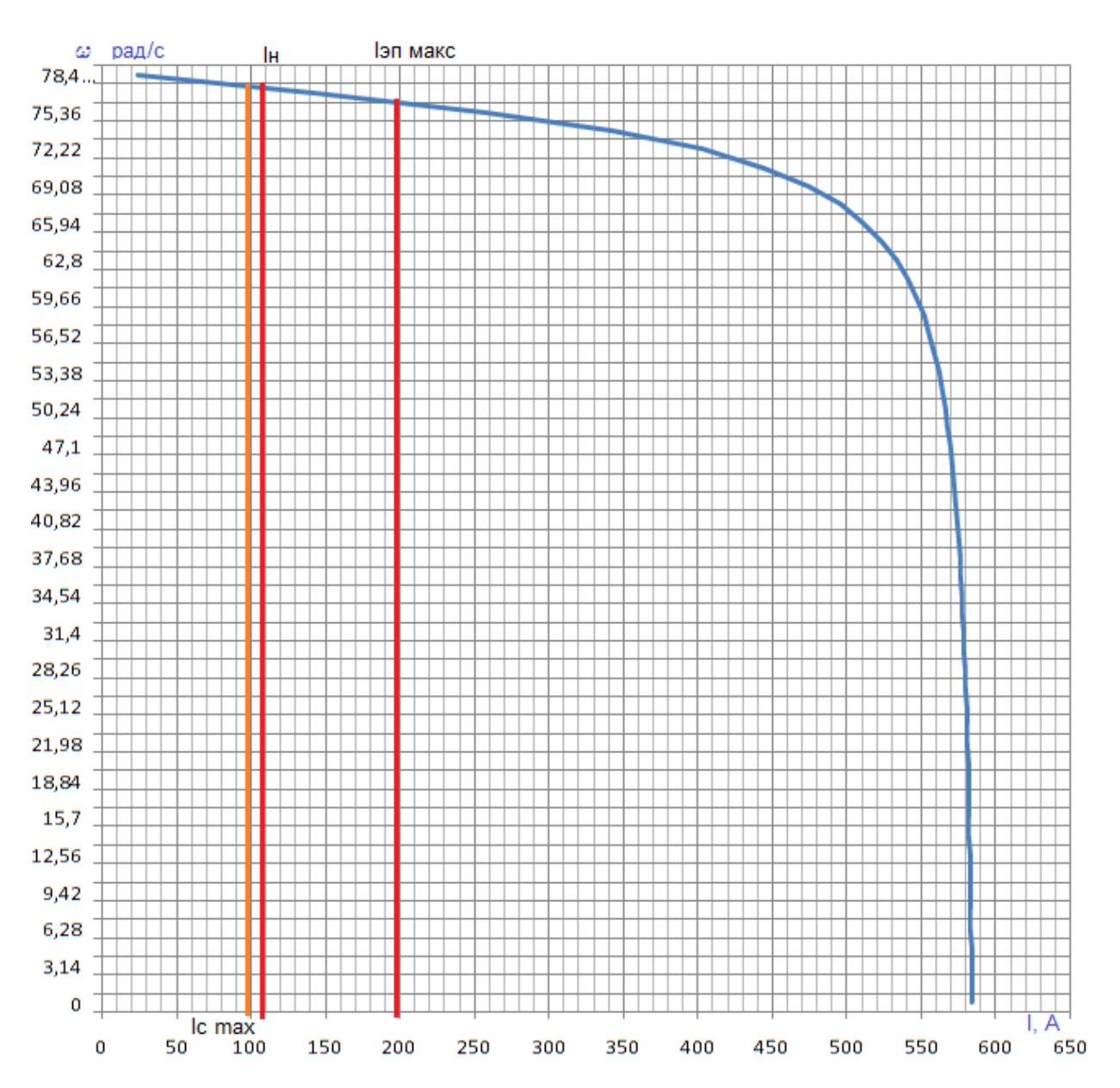


Рисунок 10. Области роботы электропривода в плоскости электромеханических характеристик двигателя

#### 2.8. Проверка выбранного двигателя по нагреву

Необходимость эквивалентирования режимов работы двигателей по нагреву связана с тем, что реальные режимы работы электроприводов весьма многообразны и вероятность точного совпадения конкретного режима с какимлибо номинальным практически исключена. В то же время выполнение подробных тепловых расчетов для каждого случая выбора двигателя является, как правило, трудно реализуемым путем проверки двигателей по нагреву в связи с отсутствием необходимых данных и неоправданной сложностью расчетов. Поэтому в процессе развития электропривода были созданы эффективные косвенные методы проверки двигателей по нагреву. Наиболее

общие из них вошли составной частью в теорию электропривода, причем основой этих методов является так называемый метод средник потерь.

Эти методы учитывают, что тепловые процессы в двигателях в нормальных условиях работы благодаря большой тепловой инерции протекают замедленно, поэтому быстрые изменения нагрузки двигателя и, соответственно, тепловыделения фильтруются тепловой инерцией и зависимость  $\tau(t)$  сглаживается тем в большей степени, чем меньше время цикла в сравнении с постоянной времени нагрева Тн. При работе в повторно-кратковременном или перемежающемся режимах условие  $t_{\rm u} < T_{\rm h}$  выполняется по определению, как выше было отмечено, через некоторое время после начала работы наступает установившийся тепловой режим, при котором превышение температуры колеблется относительно среднего значения тср в узких пределах.

Произведём проверку выбранного двигателя по нагреву, с использованием метода эквивалентного момента:

Время цикла:

 $t_{\mu}$ =3мин=180сек,

Время работы.

 $t_p = 59,23 \text{ ce} \kappa$ 

Продолжительность включения:

$$\Pi B_{\text{pacq}} = \frac{t_p}{t_{\text{II}}} \cdot 100\% = \frac{59,23}{180} \cdot 100\% = 32,9$$

Эквивалентный момент за цикл работы:

$$\begin{split} \mathbf{M}_{\mathsf{3KB}} &= \sqrt{\frac{\mathsf{\Pi} \mathsf{B}_{\mathsf{pacq}}}{\mathsf{\Pi} \mathsf{B}_{\mathsf{cT}}}} \cdot \frac{\Sigma \, \mathsf{M}_i^2 \cdot t_{pi}}{\Sigma \, t_{pi}} = \sqrt{\frac{32.9}{25} \cdot \frac{11628476.92}{59.23}} = 568 \,\, \mathrm{H} \cdot \mathsf{M} \,\, \mathsf{гдe}, \\ \sum \, \mathsf{M}_i^2 \cdot t_{pi} &= 1482^2 \cdot 0.6 + 466^2 \cdot 33.93 + 331^2 \cdot 0.6 + 643^2 \cdot 0.6 + 282.4^2 \cdot \\ &\quad \cdot 22.9 + 1208.4^2 \cdot 0.6 = 11628476.92 \\ \sum \, \mathsf{M}_i^2 \cdot t_{pi} &= 0.6 + 33.93 + 0.6 + 0.6 + 22.9 + 0.6 = 59.23 \end{split}$$

Эквивалентная мощность двигателя:

$$P_{_{_{9KB}}} = M_{_{9KB}} \cdot \omega_{_{MAKC}} \cdot \kappa_{_{3}} = 568 \cdot 66,43 \cdot 1,3 = 49052BT$$

где  $k_3$ =1,3 – коэффициент, учитывающий отличие нагрузочной диаграммы механизма от нагрузочной диаграммы двигателя.

Т.к. требования

$$55\kappa B_T = P_H^3 P_{9\kappa B} = 49,052\kappa B_T$$

выполнены, двигатель по нагреву проходит.

#### 2.9 Преобразователь частоты

#### 2.9.1 Выбор преобразователя частоты

Тип преобразователя частоты в общем случае выбирается из следующих условий: длительный ток нагрузки, ток кратковременной перегрузки, напряжение питающей сети и двигателя, диапазон регулирования выходной частоты, способы и законы частотного управления, набор комплектующих устройств (дополнительных блоков, расширяющих возможности привода), условия эксплуатации.

Сложность выбора преобразователя частоты для совместной работы с электродвигателем заключается в том, что номинальные режимы работы электродвигателей (S1-S8), основанные на постоянной времени нагрева двигателя (десятками минут), не приемлемы для преобразователей, постоянная времени нагрева которых определяется десятками секунд.

Преобразователи частоты спроектированы для продолжительной работы с номинальным током инвертора  $I_{\rm ин}$ . Если номинальный ток протекает длительное время (более 60 c), то рабочая температура блока достигает максимально допустимого значения. Выше этого значения срабатывает защита ( $I^2 \times I$ ), что не позволяет перегружать преобразователь по току даже кратковременно (рисунок 11).

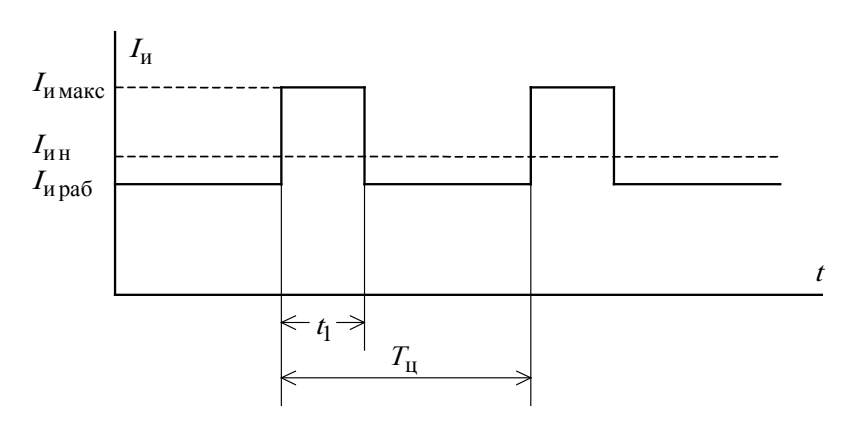


Рисунок 11

По этой причине преобразователи частоты в системах электропривода, имеющих кратковременные перегрузки двигателя, связанные с периодическими изменениями скорости или технологическими изменениями момента нагрузки, должны работать с эквивалентным за цикл работы током, не превышающим номинальный ток инвертора

$$I_{\rm MH}$$
 3  $I_{\rm M9}$ .

Предварительно преобразователь частоты выбираем исходя из следующих условий.

Питающая сеть: 3-х фазная 380В, 50Гц;

Параметры нагрузки:

- 3-х фазная;
- максимальное выходное линейное напряжение 380В;
- максимальная частота

$$f_{\text{макс}} > 50 \times \frac{W_{\text{эп макс}}}{W_0 \times (1 - s_{\kappa})}, \Gamma$$
ц.

— номинальный ток инвертора должен удовлетворять условию  $I_{_{\rm H\,H}} > I_{_{\rm C,MAKC}} = 96~{\rm A}~;$ 

— максимальный ток инвертора должен удовлетворять условию  $I_{_{\text{и макс}}} > I_{_{\text{эп макс}}} = 207 \; \text{A} \, .$ 

Условия выбора преобразователя по току должны быть выполнены с учетом фактических значений высоты над уровнем моря и температуры окружающей среды места установки преобразователя. Длительность перегрузки двигателя не должна превышать значение допустимого времени протекания максимального тока инвертора, а длительность фактического рабочего цикла электропривода не должна быть меньше времени предельного цикла инвертора;

Исходя из перечисленных условий выбираем преобразователь частоты типа MICROMASTER 440 фирмы SIEMENS шкафного исполнения.

Функциональные особенности

- Векторное регулирование без датчика скорости
- Регулирование потока (FCC) для улучшения динамических характеристик и повышения качества регулирования электродвигателя
- Мгновенное ограничение тока (FCL) для работы без отключения двигателя
  - Встроенное динамическое торможение постоянным током
- Комбинированное торможение для улучшения возможностей торможения
  - Времена ускорения и торможения с программируемым сглаживанием
  - Использование замкнутого PID регулятора с автоподстройкой
  - Встроенный прерыватель тормоза

- Выбираемая интенсивность разгона и остановки
- 4-х точечная интенсивность сглаживания
- Многоточечная V/f характеристика, задаваемая пользователем
- Установленные параметры могут быть перенесены на другие устройства аналогичных процессов

#### Особенности защиты

- Защита от повышенного и пониженного напряжений
- Защита преобразователя от перегрева
- Защита от замыкания на землю
- Защита от короткого замыкания
- Защита от перегрева двигателя по потерям I<sup>2</sup> t
- Защита двигателя по термисторам РТС/КТУ

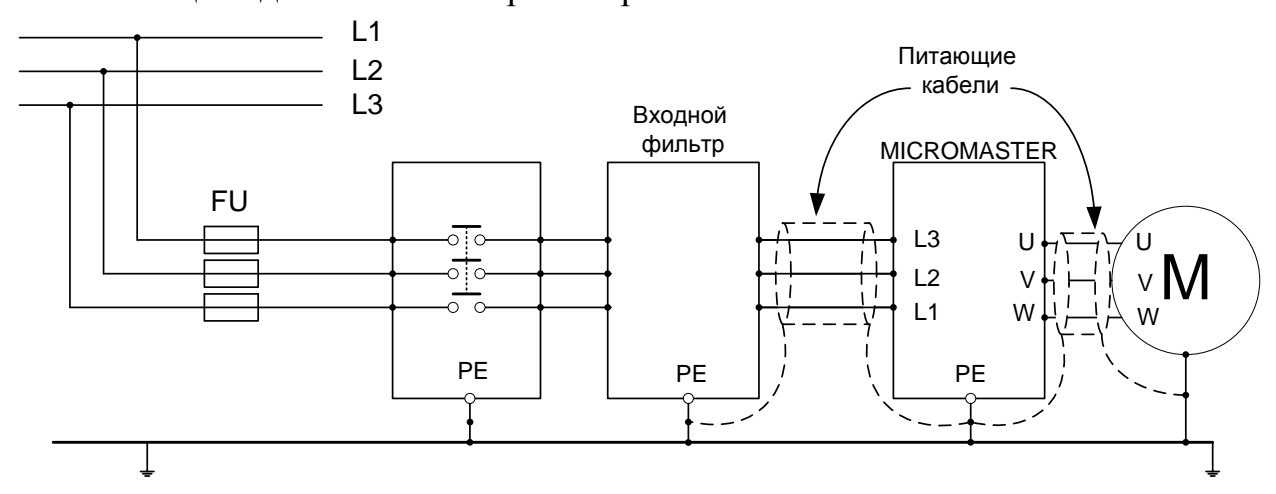


Рисунок 12 Подключение питающей сети и двигателя

Технические данные преобразователя частоты приведены в таблице 4.

Таблица 4 Технические данные преобразователя частоты MICROMASTER 440

$P_{ m пр H}$ , к ${ m BT}$	$U_{\rm прH},{ m B}$	$I_{\text{пр H}}, A$	$I_{\text{пр макс}}, A$		
75	460	145	217.5		

Функциональная схема преобразователя представлена на рисунке 13

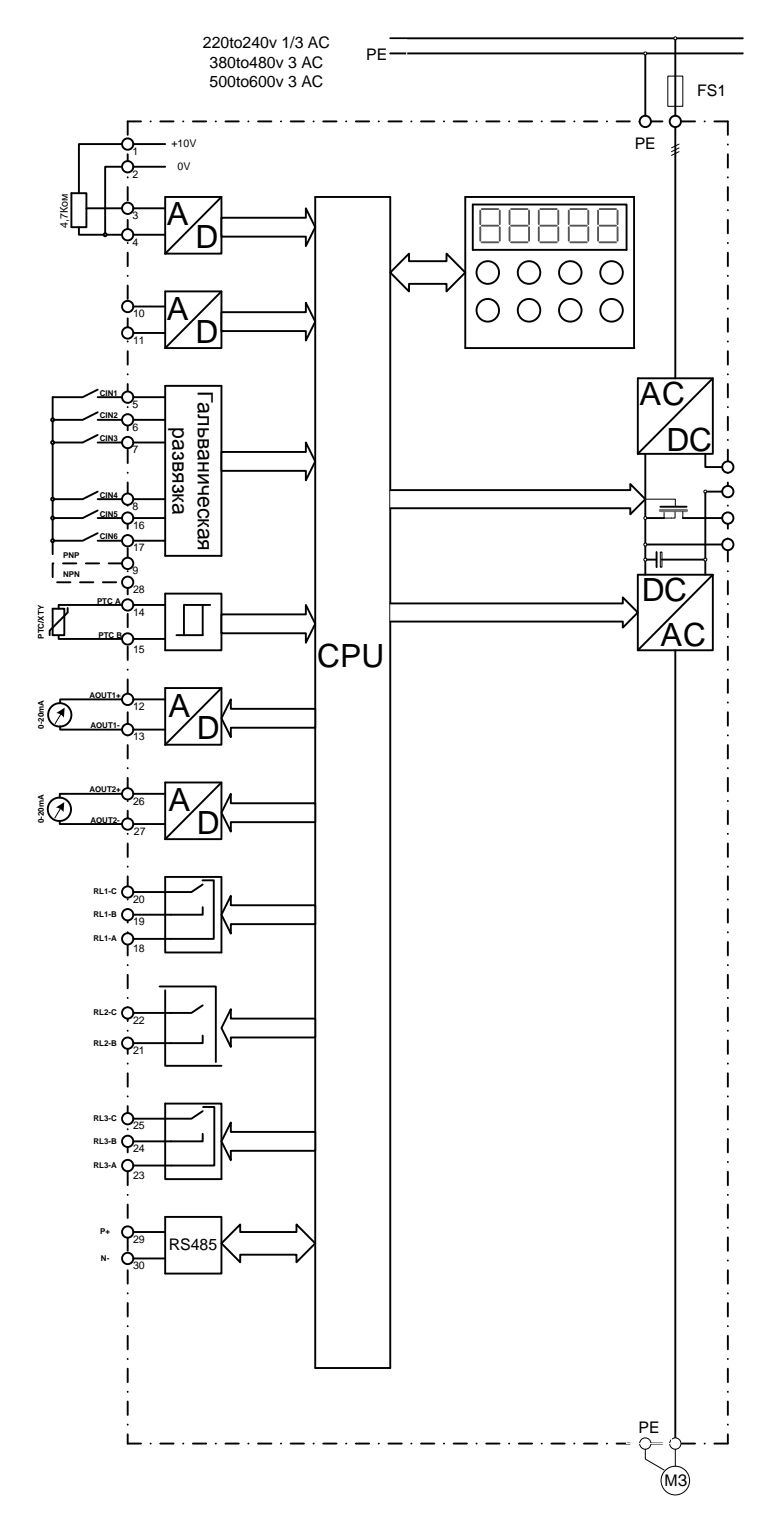


Рисунок 13 Функциональная схема преобразователя.

## 2.10. Структурная схема силового канала системы преобразователь частоты – асинхронный электродвигатель

Структурная схема силового канала системы  $\Pi \Psi - A \Pi$  во вращающейся двухфазной системе координат d q, ориентированной по результирующему вектору потокосцепления ротора, и компенсацией внутренних обратных связей представлена на рисунке 14.

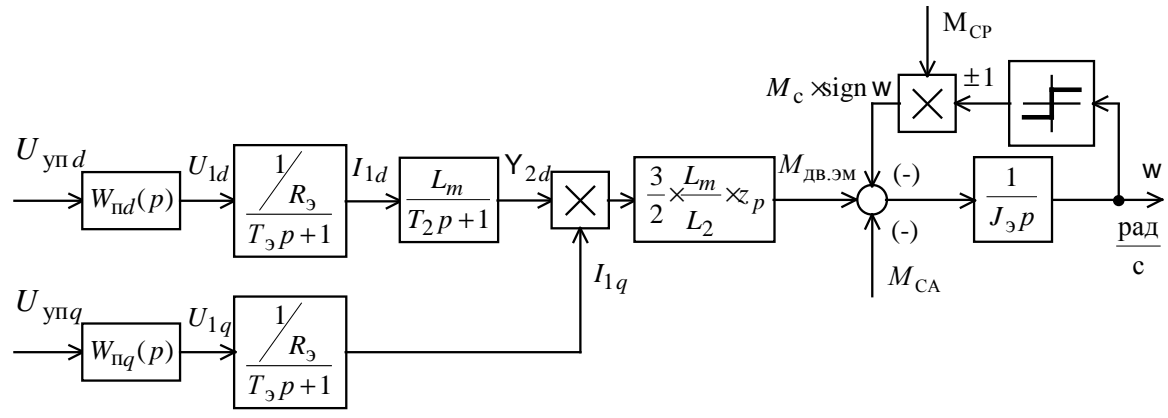


Рисунок 14 Структурная схема силового канала системы преобразователь частоты – асинхронный электродвигатель во вращающейся двухфазной системе координат, ориентированной по результирующему вектору потокосцепления ротора и компенсацией внутренних обратных связей

Управляющими сигналами на входе преобразователя структурной схемы силового канала являются напряжения постоянного тока. Выходные напряжения преобразователя представляют собой составляющие напряжения статора  $U_{1d}$  и  $U_{1q}$  в ортогональной системе координат d, q, ориентированной по результирующему вектору потокосцепления ротора  $Y_{2d}$ .

В системе ПЧ – АД предполагается применить частотное векторное управление с обратной связью по скорости (с датчиком или без датчика). Характерной особенностью частотно-регулируемых электроприводов переменного тока является относительно большая инерционность в цепях обратных связей контуров регулирования тока, потокосцепления и скорости. Структурная схема силового канала асинхронного частотно-регулируемого электропривода с векторным управлением приведена на рисунке 15.

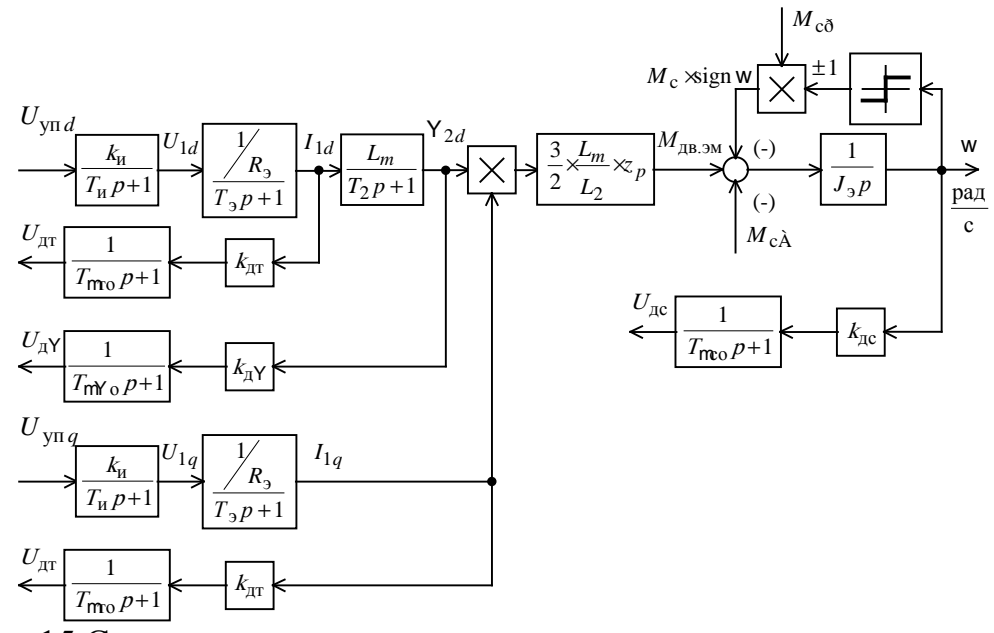


Рисунок 15 Структурная схема силового канала электропривода подъёмника

### 2.10.1 Расчет параметров элементов структурной схемы силового канала электропривода

#### Расчёт параметров преобразователя

Максимальный коэффициент усиления преобразователя

$$k_{\text{\tiny M}} = \frac{\sqrt{2} \times U_{1 \text{\tiny $\Phi$H}}}{U_{\text{\tiny $Y\Pi$ Make}}} = \frac{\sqrt{2} \times 220}{10} = 31,11,$$

где  $U_{\rm уп\, Makc}$  = 10 В — принятое максимальное значение напряжения управления.

Эквивалентная постоянная времени преобразователя

$$T_{\text{II}} = \frac{0.5}{f_{\text{IIIMM}}} = \frac{0.5}{6 \times 10^3} = 0.0833 \times 10^{-3} \text{ c},$$

где  $f_{\text{шим}} = 6 \text{ к} \Gamma \text{ц} - \text{несущая частота инвертора.}$ 

#### Расчет параметров двигателя

Эквивалентная индуктивность обмотки статора

$$L_1 = L_{1s} + L_m = 0.545 \times 10^{-3} + 27.33 \times 10^{-3} = 27.88 \times 10^{-3} \Gamma H.$$

Эквивалентная индуктивность обмотки ротора

$$L_2 = L_{2s}^{\phi} + L_m = 0.739 \times 10^{-3} + 27.33 \times 10^{-3} = 28.07 \times 10^{-3}$$
Гн.

Эквивалентное сопротивление силовой цепи преобразователь-двигатель

$$R_9 = R_1 + R_2 \times \frac{L_m^2}{L_2^2} = 0.032 + 0.032 \times \frac{(27.33 \times 10^{-3})^2}{(28.07 \times 10^{-3})^2} = 0.0623 \,\text{Om}.$$

Эквивалентная электромагнитная постоянная времени силовой цепи

$$T_9 = \frac{s \times L_1}{R_9} = \frac{0.0456 \times 27,88 \times 10^{-3}}{0.0623} = 20.4 \times 10^{-3} \text{ c},$$

где

$$s = 1 - \frac{L_m^2}{L_1 \times L_2} = 1 - \frac{(27,33 \times 10^{-3})^2}{27,88 \times 10^{-3} \times 28,07 \times 10^{-3}} = 0,0456$$

- коэффициент рассеяния.

Электромагнитная постоянная времени цепи ротора

$$T_2 = \frac{L_2}{R} = \frac{28,07 \times 10^{-3}}{0,032} = 0,8772 \text{ c.}$$

#### 2.11. Структурная схема линеаризованной САУ электропривода

Регулирование скорости электропривода фурмы производится в первой зоне регулирования скорости приводных двигателей с номинальным значением потокосцеплений. При частотном векторном управлении асинхронным электродвигателем потокосцепление двигателя может поддерживаться постоянным равным по значению номинальному. Это позволяет обеспечить постоянную жесткость рабочего участка механических характеристик двигателя и сохранить его перегрузочную способность.

Структурная схема линеаризованной САУ частотно-регулируемого асинхронного электропривода с векторным управлением приведена на рисунке 16.

На схеме рисунка 16 обозначены:

 $W(p)_{\rm pT},\ W(p)_{\rm pY},\ W(p)_{\rm pc}$  - соответственно передаточные функции регуляторов тока, потокосцепления и скорости;

 $k_{\rm T}$  - коэффициент обратной связи по току;

 $k_{Y}$  - коэффициент обратной связи по потокосцеплению;

 $k_{\rm c}$  - коэффициент обратной связи по скорости;

 $T_{m_{
m TO}}$  - малая постоянная времени цепи обратной связи по току;

 $T_{mY\ o}$  - малая постоянная времени цепи обратной связи по потокосцеплению;

 $T_{m\!co}$  - малая постоянная времени цепи обратной связи по скорости.

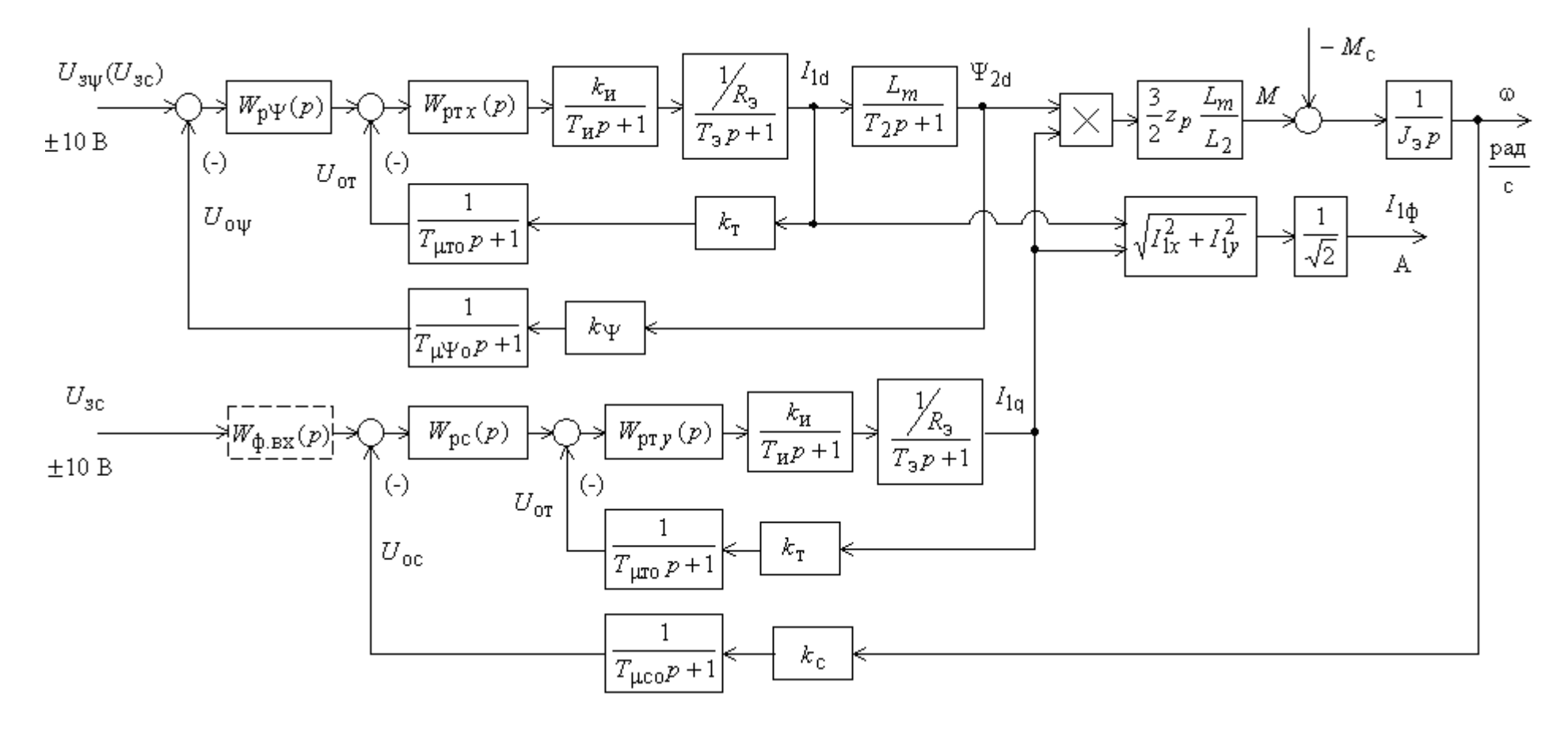


Рисунок 16 Структурная схема линеаризованной САУ электропривода

Малая постоянная времени цепи обратной связи по току.

$$T_{m_{\text{TO}}} = \frac{T_{\text{CT}}}{3} = \frac{0.00133}{3} = 0.000444 \text{ c},$$

где

$$T_{\rm ct} = \frac{1}{f_{\rm IIIMM}} \times n_{\rm t} = \frac{1}{6 \times 10^3} \times 8 = 0,00133 \,\rm c$$

– период сглаживания результатов измерения тока;

 $n_{\scriptscriptstyle T} = 8$  — количество периодов модуляции для измерения тока.

Малая постоянная времени цепи обратной связи по потокосцеплению

$$T_{mY o} = \frac{T_{cY}}{3} = \frac{0.0133}{3} = 0.00444 c,$$

где

$$T_{\text{cY}} = 16 \times \frac{1}{f_{\text{IIIMM}}} \times n_{\text{Y}} = 16 \times \frac{1}{6 \times 10^3} \times 5 = 0,0133 \text{ c}$$

период расчёта потокосцепления;

 $n_{Y} = 5$  — количество периодов модуляции для измерения потокосцепления.

Малая постоянная времени цепи обратной связи по скорости

$$T_{mco} = \frac{T_{cc}}{3} = \frac{0.0133}{3} = 0.00444 \text{ c},$$

где

$$T_{\rm cc} = 16 \times \frac{1}{f_{\rm IIIMM}} \times n_{\rm c} = 16 \times \frac{1}{6 \times 10^3} \times 5 = 0,0133 \,\rm c$$

- период расчёта потокосцепления;

$$n_{\rm c} = 5$$

- количество периодов модуляции для измерения скорости.

Обеспечим адекватность параметров модели, справочных и полученных расчетных параметров электродвигателя. Параметры двигателя, соответствующие справочным данным:  $I_{\rm дв\, H} = I_{\rm l \dot p \, H} = 102\,{\rm A}$ ;  $M_{\rm дв\, H} = 710{\rm H} \times {\rm M}$ . Параметры двигателя расчетные:  $I_0 = 25,131\,{\rm A}$ ;  $I_{\rm H} = I_{\rm l}(s_{\rm H}) = 94,823\,{\rm A}$ ;  $M_{\rm эм\, H} = 716,23\,{\rm H} \times {\rm M}$ . За основные параметры электродвигателя примем значения номинального тока  $I_{\rm l \dot p \, H} = 102\,{\rm A}$  и

номинального электромагнитного момента  $M_{_{\rm ЭМ \, H}} = 716,23\,\mathrm{H}\,\mathrm{xm}$ . Решив совместно систему уравнений

$$Y_{2H} = \frac{M_{3MH}}{\frac{3}{2} \times Z_p \times (\frac{L_m}{L_2}) \times \sqrt{2} \times \sqrt{I_{1 \oplus H}^2 - I_0^2}} = \frac{716,23}{\frac{3}{2} \times 4 \times \frac{0,02733}{0,02807} \times \sqrt{2} \times \sqrt{102^2 - I_0^2}},$$

$$Y_{2H} = \sqrt{2} \times I_0 \times I_m = \sqrt{2} \times 0,02733 \times I_0$$

относительно тока  $I_0$ , определим значение тока намагничивания  $I_0^* = 22,55\,\mathrm{A}$ , соответствующее параметрам структурной схемы. Значение последнего существенно не отличаться от значения расчетного тока намагничивания  $I_0$ . Рассчитываем параметры структурной схемы, необходимые для оптимизации контуров регулирования:

– значение номинального потокосцепления двигателя, Вб

$$Y_{2dH}^* = Y_{2H}^* = \sqrt{2} \times L_m \times I_0^* = \sqrt{2} \times 0.02733 \times 22.55 = 0.872 \,\text{B}\text{G};$$

- значение номинального тока  $I_{1d}$ , A

$$I_{1dH}^* = \sqrt{2} \times I_0^* = \sqrt{2} \times 22,55 = 31,89 \,\mathrm{A}$$

- значение номинального тока  $I_{1q}$ , А

$$I_{1q \text{ H}}^* = \sqrt{2} \times \sqrt{I_{1\phi \text{ H}}^2 - (I_0^*)^2} = \sqrt{2} \times \sqrt{102^2 - 22,55^2} = 140,68 \text{ A};$$

— максимально допустимое значение тока  $I_{1q}$ 

$$I_{1q \text{ MAKC}}^* = \frac{M_{9\Pi \text{ MAKC}}}{\frac{3}{2} \times z_p \times (\frac{L_m}{L_2}) \times Y_{2H}^*} = \frac{1482}{\frac{3}{2} \times 4 \times \frac{0,02733}{0,02807} \times 0,872} = 290,93 \text{ A},$$

где  $M_{\text{эп макс}} = 1482 \text{H} \times \text{м} - \text{максимальный момент электропривода.}$ 

## 2.12. Оптимизация контуров регулирования САР электропривода

Основным воздействие на электропривод подъёмника является управляющее воздействие. Оптимизация контуров регулирования электропривода по управляющему воздействию выполнена по методике, изложенной в учебном пособии [3].

#### Оптимизация контура тока

Структурная схема контура тока с инерционной обратной связью и полной компенсацией внутренней отрицательной обратной связи по ЭДС двигателя приведена на рисунке 17. Контуры токов  $I_{1d}$  и  $I_{1q}$  идентичные.

Контур тока характеризуется одной большой постоянной времени в прямом канале  $T_9=0.0204\,\mathrm{c}$  и двумя малыми постоянными времени в прямом канале  $T_{\mathrm{mrn}}=T_{\mathrm{u}}=0.0000833\,\mathrm{c}$  и в цепи обратной связи  $T_{\mathrm{mro}}=0.00043\,\mathrm{c}$  .

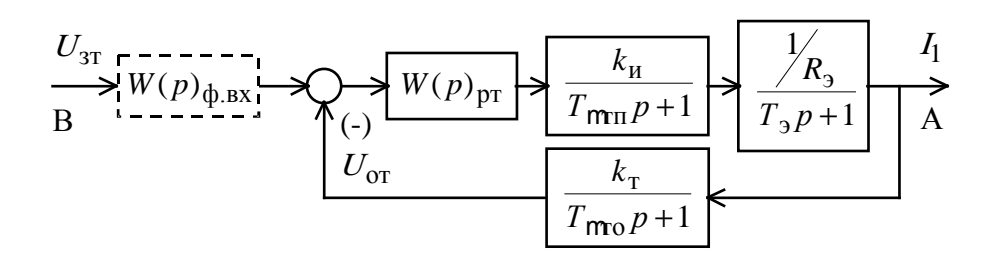


Рисунок 17 Структурная схема контура тока

В качестве регулятора тока принимаем ПИ-регулятор с передаточной функцией

$$W_{\mathrm{pt}}(p) = k_{\mathrm{pt}} \times \frac{T_{\mathrm{pt}} \times p + 1}{T_{\mathrm{pt}} \times p}$$

и настраиваем контур тока на модульный оптимум (МО):

$$k_{\text{pt}} = \frac{T_{3} \times R_{3}}{k_{\text{H}} \times k_{\text{T}} \times a_{\text{T}} \times T_{mr3}} = \frac{0.0204 \times 0.0623}{31.11 \times 0.0344 \times 2 \times 0.0005273} = 1,13$$

- коэффициент усиления регулятора тока,

где

$$T_{mro} = T_{mrn} + T_{mro} = 0.0000833 + 0.000444 = 0.0005273 c$$

- эквивалентная малая постоянная времени контура тока;

$$k_{\rm T} = \frac{U_{\rm 3T\,MaKC}}{I_{1a\,\text{MaKC}}} = \frac{10}{290,93} = 0.0344 \,\frac{\rm B}{\rm A}$$

- коэффициент обратной связи по току;

 $U_{\rm 3T\;Makc} = 10\;{\rm B}\;$  — принятое максимальное значение напряжения задания на входе контура тока;

 $a_{\rm T} = 2$  – коэффициент оптимизации контура тока.

 $T_{\rm pr} = T_{\rm 9} = 0.0204~{\rm c} - {\rm noctoshhas}$  времени регулятора тока

Передаточная функция замкнутого контура тока имеет следующий вид

$$W(p)_{\text{T 3AM}} = \frac{\frac{1}{k_{\text{T}}} \times \left(T_{m_{\text{TO}}} \times p + 1\right)}{a_{\text{T}} T_{m_{\text{TO}}} T_{m_{\text{TO}}} T_{m_{\text{TO}}} p^3 + a_{\text{T}} T_{m_{\text{TO}}}^2 p^2 + a_{\text{T}} T_{m_{\text{TO}}} p + 1} \times \frac{\frac{1}{k_{\text{T}}} \times \left(T_{m_{\text{TO}}} \times p + 1\right)}{a_{\text{T}} \times T_{m_{\text{TO}}}^2 \times p^2 + a_{\text{T}} \times T_{m_{\text{TO}}} \times p + 1} = \frac{\frac{1}{0.0344} \times \left(0.000444 \times p + 1\right)}{5.5609^{-7} \times p^2 + 1.0546^{-3} \times p + 1}.$$

Настройка контура тока близка к настройке на МО системы 2-го порядка. Однако показатели качества работы оптимизированного контура тока по управлению зависят от отношения малых постоянных времени  $T_{\text{mrn}}$  и  $T_{\text{mro}}$ . Поскольку контур тока является внутренним контуром, то для уменьшения перерегулирования в нем на входе контура устанавливаем сглаживающий фильтр с передаточной функцией

$$W(p)_{\Phi \text{ BX}} = \frac{1}{T_{\Phi \text{ BX}} \times p + 1},$$

постоянную времени которого выбираем из условия

$$T_{\Phi \text{ BX}} = T_{\Phi \text{ BX T}} = T_{mro} = 0.000444 \text{ c}.$$

Передаточная функция замкнутого оптимизированного контура тока с фильтром на входе имеет следующий вид:

$$W(p)_{\text{T 3AM}} = \frac{\frac{1}{k_{\text{T}}}}{a_{\text{T}} \times T_{m_{\text{TII}}} \times T_{m_{\text{TO}}} \times T_{m_{\text{TS}}} \times p^{3} + a_{\text{T}} \times T_{m_{\text{TS}}}^{2} \times p^{2} + a_{\text{T}} \times T_{m_{\text{TS}}} \times p + 1} \times \frac{\frac{1}{k_{\text{T}}}}{a_{\text{T}} \times T_{m_{\text{TS}}}^{2} \times p^{2} + a_{\text{T}} \times T_{m_{\text{TS}}} \times p + 1} = \frac{\frac{1}{0.0344}}{5.5609^{-7} \times p^{2} + 1.0546^{-3} \times p + 1}.$$

Контур является астатической системой 1-го порядка по управлению и имеет следующие ожидаемые показатели качества работы по управлению:

статическая ошибка, A,

$$DI_{VCT} = 0;$$

- полоса пропускания контура по фазе и модулю

$$W_{\Pi}^{(\phi)} = W_{\Pi}^{(M)} * \frac{0.71}{T_{max}} = \frac{0.71}{0.0005273} = 1346.48 \frac{\text{рад}}{\text{c}},$$

ИЛИ

$$f_{\Pi}^{(\phi)} = f_{\Pi}^{(M)} = \frac{\nu_{\Pi}^{(\phi)}}{2\rho} \times \frac{1346.482}{2 \times 3.1415} = 214.3 \,\Gamma_{\text{II}};$$

перерегулирование, время первого и окончательного вхождения в 5% зону установившегося значения тока при отработке ступенчатого задания

s \* 4.3 %

$$t_{\text{py1}}^{(5)} = t_{\text{py2}}^{(5)} \approx 4.1 \times T_{m_{\text{T}9}} = 4.1 \times 0.0005273 = 0.002162 \text{ c}.$$

#### Оптимизация контура потокосцепления

При оптимизации контура потокосцепления внутренний оптимизированный замкнутый контур тока представим усеченной передаточной функцией 1-го порядка

$$W(p)_{\text{T 3AM}} \gg \frac{\frac{1}{k_{\text{T}}}}{T_{\text{T}} \times p + 1},$$

где

$$T_{\rm T} = a_{\rm T} \times T_{mrg} = 2 \times 0.0005273 = 0.0010546 \, {\rm c}$$

– эквивалентная постоянная времени оптимизированного контура тока.

Структурная схема контура потокосцепления приведена на рисунке 18.

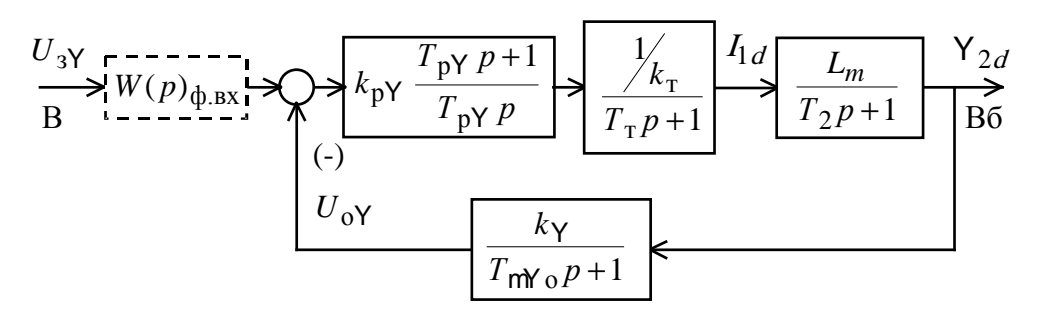


Рисунок 18 Структурная схема контура потокосцепления

Контур потокосцепления характеризуется одной большой постоянной времени в прямом канале  $T_2=0.8772\,\mathrm{c}$  и малыми постоянными времени в прямом канале  $T_{\mathrm{T}}=0.0010546\,\mathrm{c}$  и в цепи обратной связи  $T_{mY,0}=0.00444\,\mathrm{c}$ .

В качестве регулятора потокосцепления принимаем ПИ-регулятор с передаточной функцией

$$W(p)_{py} = k_{pY} \times \frac{T_{pY} \times p + 1}{T_{pY} \times p}$$

и настраиваем контур потокосцепления на модульный оптимум:

$$T_{pY} = T_2 = 0.8772 \text{ c}$$

– постоянная времени регулятора потокосцепления;

$$k_{\text{pY}} = \frac{T_2 \times k_{\text{T}}}{L_m \times k_{\text{Y}}} \times \frac{1}{a_{\text{Y}} \times T_{\text{HY}2}} = \frac{0.8772 \times 0.0344}{0.02733 \times 1,468} \times \frac{1}{2 \times 0.005495} = 8,76$$

коэффициент усиления регулятора потокосцепления,
 где

$$T_{\mu Y 9} = T_{\rm T} + T_{\mu Y 0} = 0.0010546 + 0.00444 = 0.005495$$
 c

- эквивалентная малая постоянная времени оптимизированного контура;

$$k_{\rm Y} = \frac{U_{\rm 3Y \ Marc}}{{\rm Y}_{\rm 2H}} = \frac{10}{0.872} = 11,468 \frac{{\rm B}}{{\rm B6}}$$

- коэффициент обратной связи по потокосцеплению;

 $U_{
m 3y\ Makc} = 10\ {
m B}\ -$  принятое максимальное значение напряжения задания на входе контура потокосцепления;

 $a_{Y} = 2 -$ коэффициент оптимизации контура потокосцепления.

Передаточная функция замкнутого контура потокосцепления по управлению имеет следующий вид

$$W(p)_{\text{Y 3AM}} = \frac{\frac{1}{k_{\text{Y}}} \times \left(T_{m\text{Y o}} \times p + 1\right)}{a_{\text{Y}} \times T_{m\text{Y o}} \times T_{m\text{Y o}} \times T_{m\text{Y o}} \times p^{3} + a_{\text{Y}} \times T_{m\text{Y o}}^{2} \times p^{2} + a_{\text{Y}} \times T_{m\text{Y o}} \times p + 1} \times \frac{\frac{1}{k_{\text{Y}}} \times \left(T_{m\text{Y o}} \times p + 1\right)}{a_{\text{Y}} \times T_{m\text{Y o}}^{2} \times p^{2} + a_{\text{Y}} \times T_{m\text{Y o}} \times p + 1} = \frac{\frac{1}{11,468} \times \left(4.44 \times 10^{-3} \times p + 1\right)}{6.039 \times 10^{-5} \times p^{2} + 0.01099 \times p + 1},$$

Настройка контура близка к настройке на MO системы 2-го порядка. Контур является астатической системой регулирования 1-го порядка по управлению и обеспечивает нулевую установившуюся ошибку, Вб  $DY_{vcr} = 0$ .

В зависимости от соотношения малых постоянных времени в прямом канале  $T_{\text{my} \, \text{п}}$  и в цепи обратной связи  $T_{\text{my} \, \text{o}}$  контур имеет следующие динамические показатели качества работы:

– полоса пропускания по модулю

$$W_{\Pi}^{(M)} = \frac{(0.71, 0.9)}{T_{\mu Y 9}} = \frac{(0.71, 0.9)}{0.005495} = (129.21, 163.785) \frac{\text{рад}}{\text{с}}$$

или

$$f_{\Pi}^{(M)} = \frac{\mathbf{w}_{\Pi}^{(M)}}{2\mathbf{p}}$$
 »  $\frac{(129.21, 163.785)}{2 \times 3.1415} = (20.565, 26.068) Гц;$ 

– перерегулирование и время первого вхождения в 5 % зону установившегося значения потокосцепления при отработке ступенчатого управляющего воздействия

$$s = (4.3, 6.7)\%$$

$$t_{\text{pyl}}^{(5)} = (4.1, 2.75) \times T_{\text{my}_3} = (4.1, 2.75) \times 0.005495 = (0.02253, 0.0151) \text{ c.}$$

При полученных значениях перерегулирования в контуре потокосцепления установка на входе контура фильтра нецелесообразна.

#### Оптимизация контур скорости

При оптимизации контура скорости внутренний оптимизированный замкнутый контур тока представим усеченной передаточной функцией 1-го порядка

$$W(p)_{\text{T 3AM}} \gg \frac{\frac{1}{k_{\text{T}}}}{T_{\text{T}} \times p + 1},$$

где

$$T_{\rm T} = a_{\rm T} \times T_{m_{\rm T9}} = 2 \times 0.0005273 = 0.0010546 \,\mathrm{c}$$

эквивалентная постоянная времени оптимизированного контура тока, с.

Структурная схема контура скорости приведена на рисунке 19.

Передаточная функция ПИ-регулятора скорости

$$W(p)_{pc} = k_{pc} \times \frac{T_{pc}p + 1}{T_{pc} \times p}.$$

$$U_{3c}$$

$$W(p)_{\phi.BX}$$

$$W(p)_{\phi.BX}$$

$$W(p)_{\phi.BX}$$

$$V_{pc} = k_{pc} \times \frac{T_{pc}p + 1}{T_{pc}p}$$

Рисунок 19 Структурная схема контура скорости

Коэффициент усиления и постоянная времени регулятора скорости определяются по выражениям:

где

$$T_{m_{2}} = T_{T} + T_{m_{2}} = 0.0010546 + 0.00444 = 0.0054495 c$$

эквивалентная малая постоянная времени оптимизированного контура;

$$k_{\rm c} = \frac{U_{\rm 3c\ Makc}}{W_{\rm 911\ Makc}} = \frac{10}{66,84} = 0,1496 \frac{{\rm B} \times {\rm c}}{{\rm pag}}$$

- коэффициент обратной связи по скорости;

 $W_{\rm 911\ Makc} = 66,84\ \frac{\rm pag}{\rm c}$  — требуемое максимальное значение скорости электропривода;

 $U_{3 {
m C \ Makc}} = 10 \, {
m B} - {
m принятое}$  максимальное значение напряжения задания на входе контура скорости;

 $b_c = a_c = 2$  — коэффициенты оптимизации контура скорости.

Для фиксации механизма подъема в крайних положения или задаваемых промежуточных предполагается реализация технологического контура положения с импульсным датчиком положения, установленным на валу понижающего редуктора. Поскольку контур скорости является внутренним контуром для контура положения, имеющего безынерционную обратную связь, то на его входе устанавливаем два сглаживающих фильтра с передаточными функциями вида

$$W(p)_{\phi.\text{BX}} = \frac{1}{T_{\phi.\text{BX}} \times p + 1}$$

и постоянными времени, соответственно, равными

$$T_{\phi.\text{BX}} = T_{\phi.\text{BX c1}} = b_c \times a_c \times T_{\mu\text{c3}} = 2 \times 2 \times 0.005495 = 0.022 \text{ c},$$

$$T_{\phi.\text{BX}} = T_{\phi.\text{BX T2}} = T_{\mu\text{co}} = 0.00444 \,\text{c}.$$

Контур скорости с адаптивным ПИ-регулятором ( $k_{
m pc} = f(J_3)$ ) имеет следующие передаточные функции:

– разомкнутого контура

$$W(p)_{\text{c pa3}} = \frac{b_c \times a_c \times T_{\text{mc9}} \times p + 1}{b_c \times a_c^2 \times T_{\text{T}} \times T_{\text{mc9}} \times p^4 + b_c \times a_c^2 \times T_{\text{mc9}}^3 \times p^3 + b_c \times a_c^2 \times T_{\text{mc9}}^2 \times p^2} =$$

- замкнутого контура по управлению

Настройка контура скорости с двумя фильтрами на входе близка к точной настройке на МО системы 3-го порядка. Контур скорости представляет собой астатическую систему 1-го порядка по управлению и обеспечивает точную отработку заданного значения скорости. Показатели качества работы оптимизированного контура скорости по управлению мало зависят от соотношения малых постоянных времени в прямой цепи и цепи обратной связи  $T_{\text{men}} = T_{\text{T}}$  и  $T_{\text{meo}}$ . Предварительно принимаем следующие значения качественных показателей работы контура скорости:

— статическая ошибка при постоянном значении задающего сигнала  $U_{\rm 3c}={\rm const}$  , рад/с,

$$Dw_{y cT} = 0;$$

— скоростная ошибка при линейно изменяющемся входном сигнале  $U_{\rm ac}(t)$ 

$$\mathsf{D}\omega_{\mathsf{ck}} \overset{\bullet}{>} \frac{b_{c}a_{c}T_{\mathsf{\mu}\mathsf{c}\mathsf{9}}}{k_{c}} \overset{\bullet}{\underset{\bullet}{\mathsf{e}}} \frac{\mathsf{d} U_{\mathsf{3c}}}{\mathsf{d} t} \overset{\bullet}{\underset{\varnothing}{\mathsf{e}}} = b_{c}a_{c}T_{\mathsf{\mu}\mathsf{c}\mathsf{9}} \overset{\bullet}{\underset{\bullet}{\mathsf{e}}} \frac{\mathsf{d} \omega}{\mathsf{d} t} \overset{\bullet}{\underset{\varnothing}{\mathsf{e}}} = 0.022 \overset{\bullet}{\underset{\bullet}{\mathsf{e}}} \frac{\mathsf{d} \omega}{\mathsf{d} t} \overset{\bullet}{\underset{\varnothing}{\mathsf{e}}} ;$$

– полоса пропускания контура по модулю и по фазе

$$\omega_{_{\Pi}}^{_{(\mathrm{M})}}$$
 »  $\frac{0.5}{T_{_{\mathrm{HG}2}}} = \frac{0.5}{0.005495} = 91$  ,  $\frac{\mathrm{pag}}{\mathrm{c}}$  , или  $f_{_{\Pi}}^{^{_{(\mathrm{M})}}} = \frac{\omega_{_{\Pi}}^{^{_{(\mathrm{M})}}}}{2\rho}$  »  $\frac{91}{2\! imes\! .1415} = 14.5$   $\Gamma\mathrm{u}$  ,

$$\omega_{_{\Pi}}^{(\phi)}$$
 »  $\frac{0.36}{T_{_{\Pi C3}}} = \frac{0.36}{0.005495} = 65.5$  ,  $\frac{\mathrm{pag}}{\mathrm{c}}$  , или  $f_{_{\Pi}}^{(\phi)} = \frac{\omega_{_{\Pi}}^{(\phi)}}{2\rho}$  »  $\frac{65.5}{2 \times 3.1415} = 10.43 \ \Gamma\mathrm{_{II}}$  ;

перерегулирование, время первого и окончательного вхождения
 в 5 % зону установившегося значения скорости при отработке скачка задания

s » 8.1%;

$$t_{\text{pyl}}^{(5)} \approx 7.0 \times T_{m_{2}} = 7 \times 0.005495 = 0.0385 \text{ c};$$

$$t_{\text{py2}}^{(5)} \approx 12.0 \times T_{\mu\text{c}9} = 12 \times 0.005495 = 0.066 \text{ c.}$$

### 2.13. Имитационные исследования регулируемого электропривода фурмы кислородного конвертора.

Электропривод фурмы кислородного конвертора работает с постоянным потокосцеплением, равным номинальному значению Y<sub>2H</sub>, в длительном режиме с постоянной нагрузкой, регулированием скорости и режимами пуска и торможения. Электропривод фурмы требует обеспечения плавности переходных процессов в электроприводе. Для ограничения ускорения (замедления) и рывка на входе регулируемого электропривода предусматриваем установку S-образного задатчика скорости.

С учетом отмеченных особенностей работы электропривода наметим следующие задачи имитационных исследований контуров регулируемого электропривода:

- в контуре потокосцепления статическая ошибка по управлению равна нулю, поэтому оценим только характер переходного процесса и время переходного процесса при отработке ступенчатого задания номинального значения потокосцепления и;
- в контуре скорости с ПИ-регулятором статические ошибки по управления и возмущению равны нулю. Поэтому в процессе имитационных исследований произведем выбор параметров настройки регулятора скорости и оценим работу электропривода в режиме регулирования скорости и в пусковых и тормозных режимах.

# Структурная схема САУ электропривода фурмы кислородного конвертора.

Учтем следующие основные нелинейности элементов структурной схемы.

- насыщение регулятора скорости, принимаем  $U_{
  m pc\, makc}$  =10 B;
- насыщение регулятора тока, принимаем  $U_{
  m pt\, Makc} = 10 \ {
  m B}$ ;
- ограничение напряжения на выходе инвертора  $E_{\text{и макс}} = 311\,\mathrm{B}$ ;
- реактивный характер момента трения  $M_{\rm c}({\sf w}) = M_{\rm c} \times sign\,{\sf w}$ .
- насыщение регулятора потокосцепления, принимаем  $U_{\rm pY\ makc} = 10 \ {\rm B} \, ;$

Структурная схема приведена на рисунке 20. Параметры элементов структурной схемы сведены в таблице 5.

По структурной схеме в программной среде MATLAB набирается имитационная модель, представленная на рисунке 21.

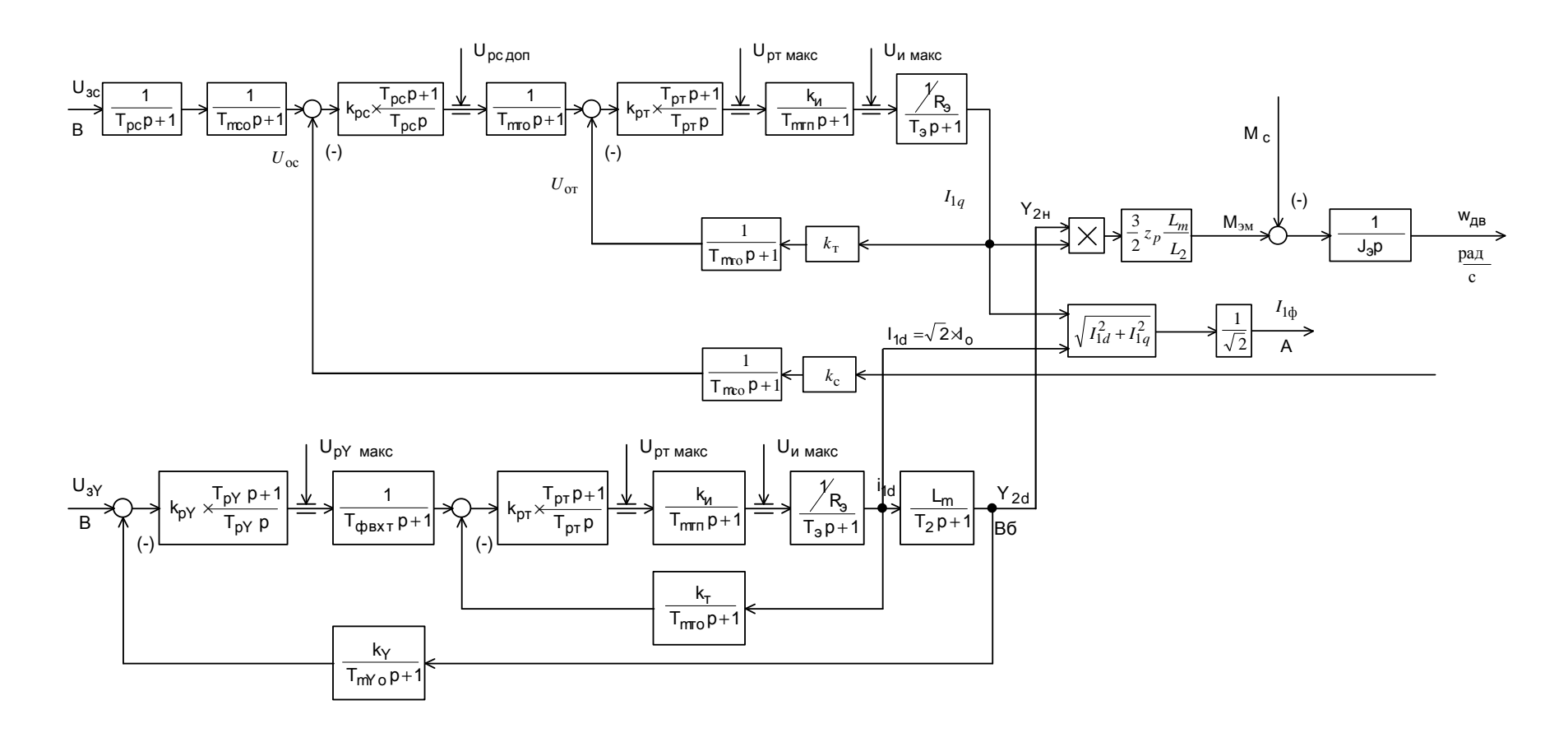


Рисунок 20 Структурная схема САУ электропривода фурмы кислородного конвертора.

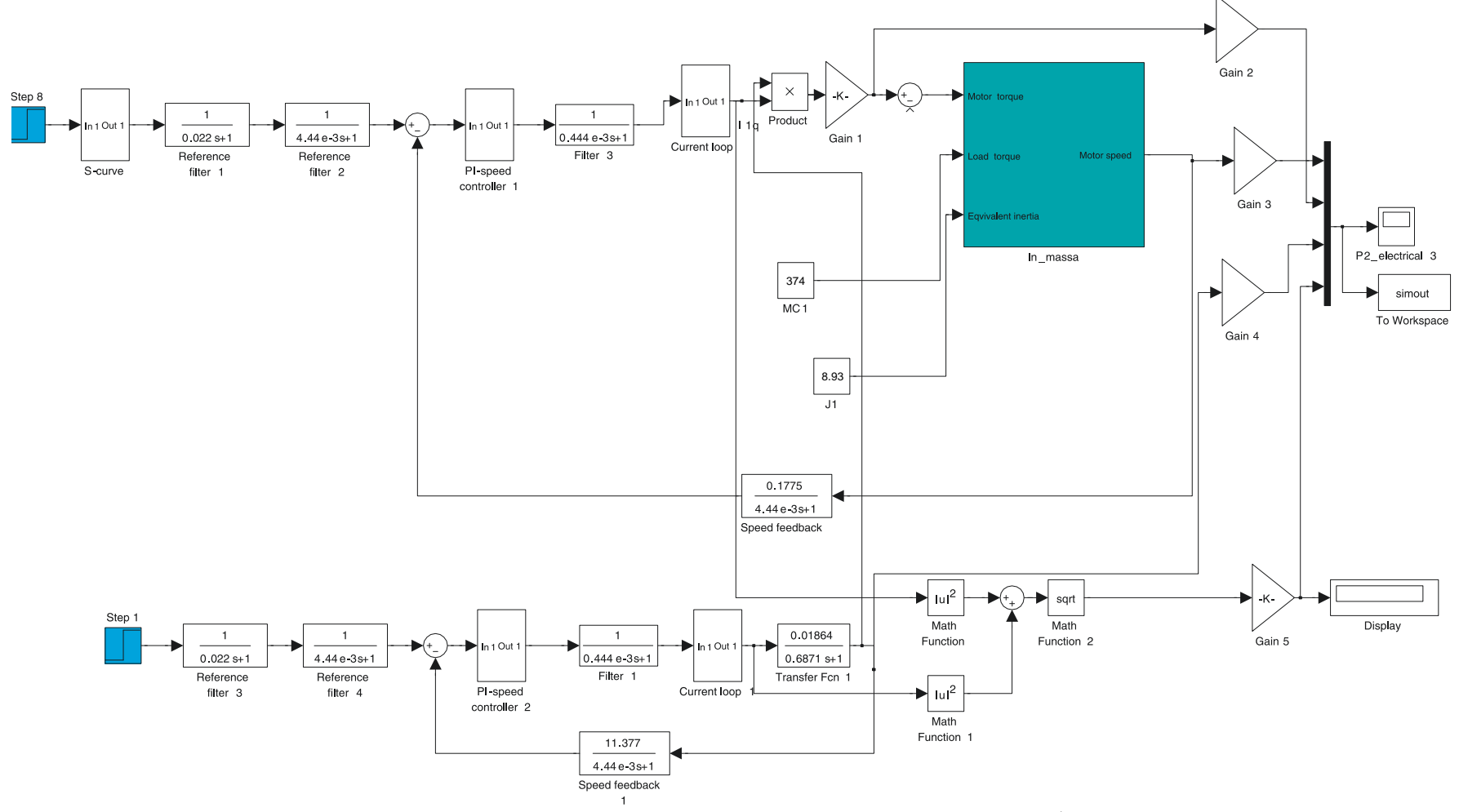


Рисунок 21 Схема набора имитационной модели электропривода фурмы кислородного конвертора.

В состав имитационной модели рисунке 21 входят суперблоки:

- контура тока (рисунок 22);
- регулятора тока (рисунок 23);
- регулятора скорости (рисунок 24);
- регулятора потокосцепления (рисунок 25).
- механической системы приемного устройства (рисунок 26).

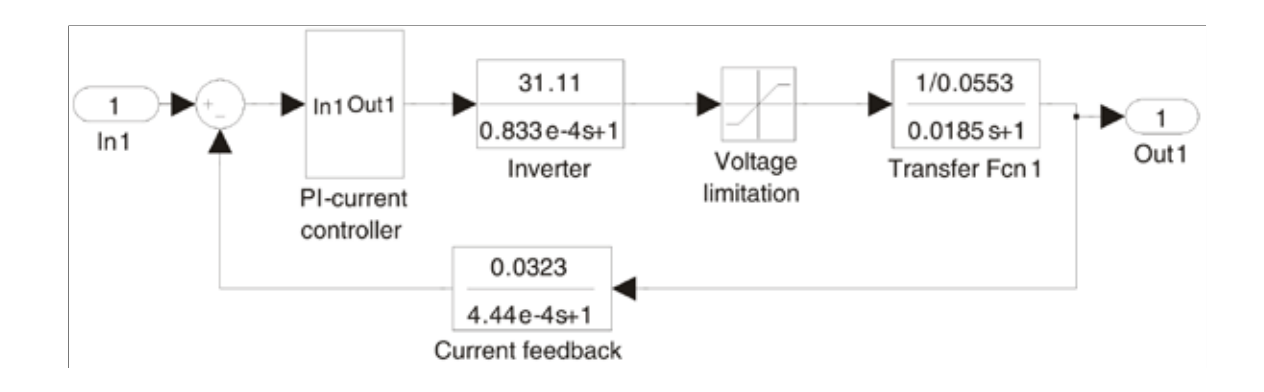


Рисунок 22 Схема набора имитационной модели контура тока

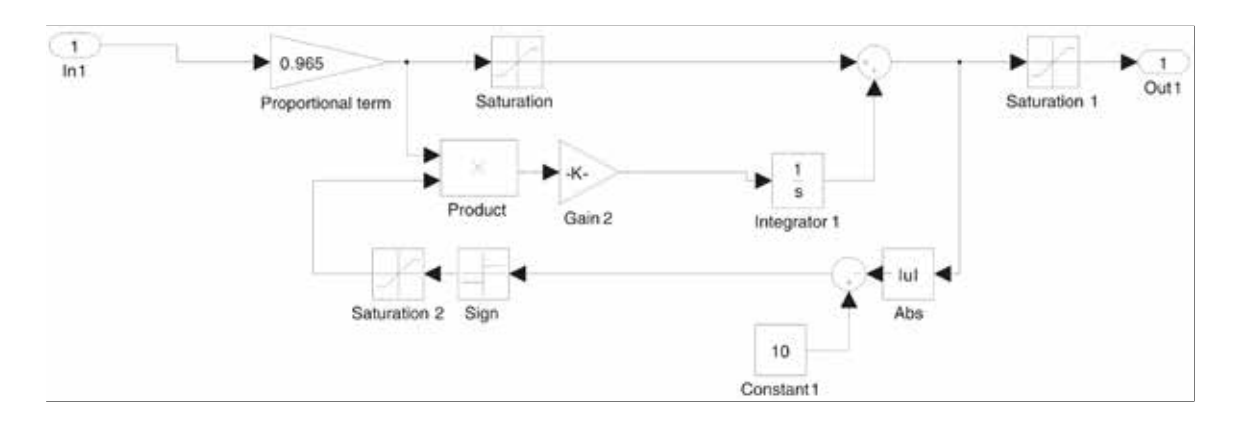


Рисунок 23 Схема набора имитационной модели регулятора тока

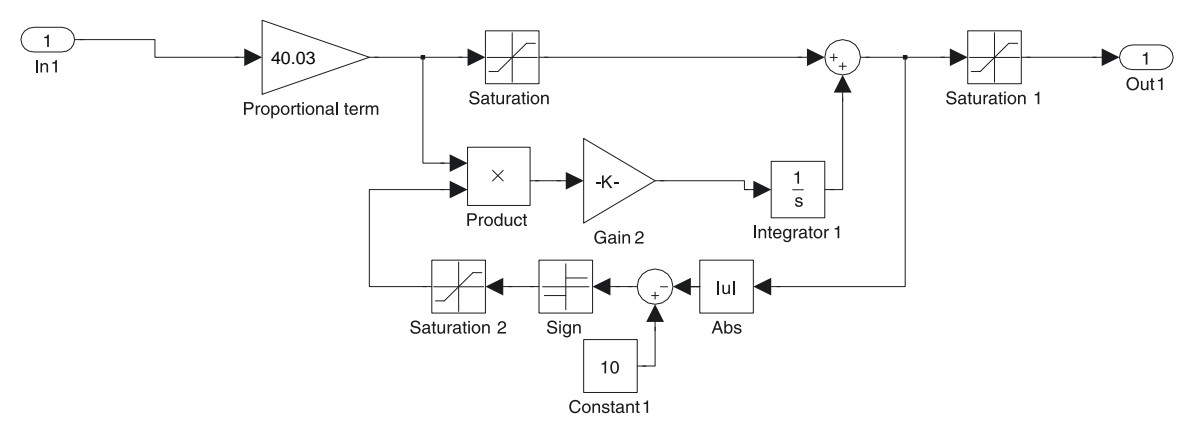


Рисунок 24 Схема набора имитационной модели регулятора скорости

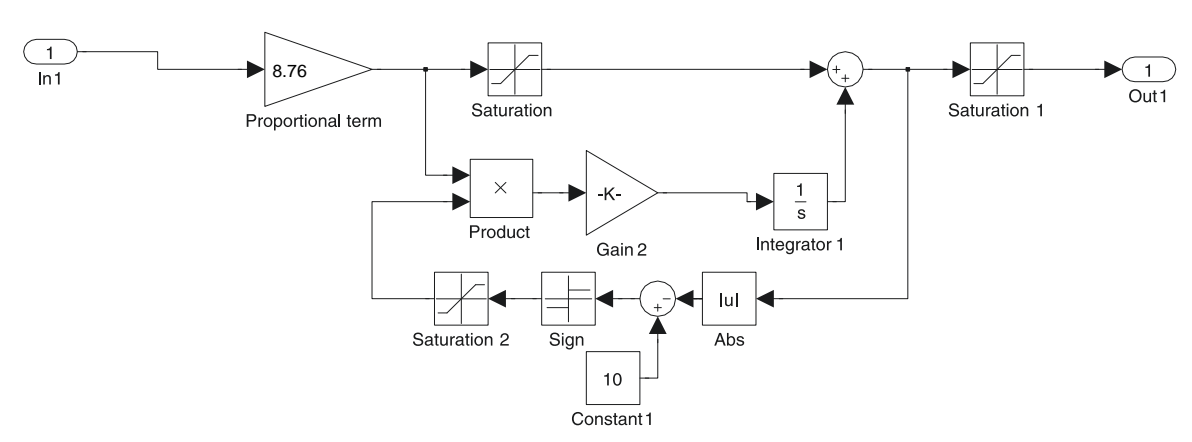


Рисунок 25 Схема набора имитационной модели регулятора потокосцепления

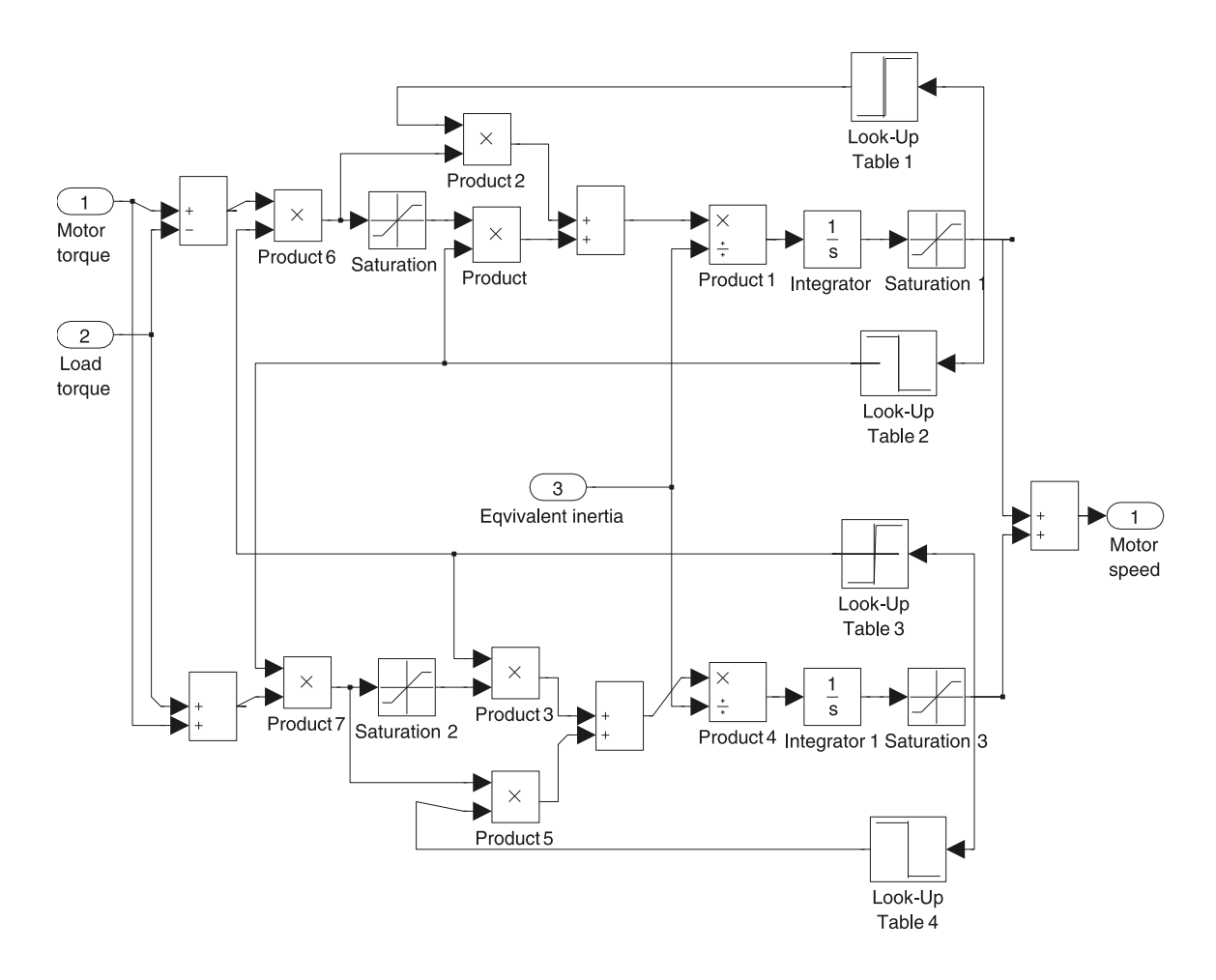


Рисунок 26 Схема набора имитационной модели механической системы

### Таблица 5 Параметры элементов структурной схемы

$U_{3Y}$ , B	k <sub>pY</sub>	$T_{pY}$ , c	$k_{Y}, \frac{\mathrm{B}}{\mathrm{Bf}}$	$T_{mYo}, c$	$T_{\phi \text{ BX T}}, c$	$k_{ m pT}$	$T_{\rm pr}$ ,c	$k_{\mathrm{T}}, \frac{\mathrm{B}}{\mathrm{A}}$	$T_{\rm mro}$ , c	$k_{_{ m I\! I}}$	$T_{\mathbf{m}\mathbf{m}}$ , c	<i>R</i> <sub>э</sub> , Ом
10	8,76	0,8772	11,468	0,00444	0,000444	1,13	0,0204	0,0344	0,000444	31,11	0,0000833	0,0623

### Продолжение таблицы 5

$T_{\mathfrak{I}}$ , c	$L_m$ , Гн	$T_2$ , c	ү <sub>2 дн</sub> , Вб	U <sub>рҮ макс</sub> , В	U <sub>рт макс</sub> , В	$T_{\phi \text{ BX c1}},c$	$T_{\phi \text{ BX c2}}, c$	$k_{ m pc}$
0,0204	0,02733	0,8772	0,872	±10	±10	0,022	0,00444	40,03

### Продолжение таблицы 5

$T_{\rm pc}$ , c	$k_{\rm c}, \frac{{\rm B} \times {\rm c}}{{\rm рад}}$	$T_{mco}$ , c	Т <sub>ф вх т</sub> , с	$k_{\rm pr}$	$T_{ m pr}$ , c	$k_{\mathrm{T}}, \frac{\mathrm{B}}{\mathrm{A}}$	$L_2$ , $\Gamma$ н	$z_p$	$J_{9}^{*}$ , кг $\times$ м $^{2}$	$W_{\text{макс}}$ , $\frac{\text{рад}}{\text{c}}$	$I_{1q  \mathrm{макc}}$ , А	$U_{\scriptscriptstyle  m MARC},$ B
0,022	0,1496	0,00444	0,000444	1,13	0,0204	0,0344	0,000739	4	8,93	66,43	290,93	311

## Программа имитационных исследований контура потокосцепления

Программа имитационных исследований контура потокосцепления включает в себя оценку процесса формирования номинального значения потокосцепления двигателя.

Структурная схема контура потокосцепления приведена на рисунке 27

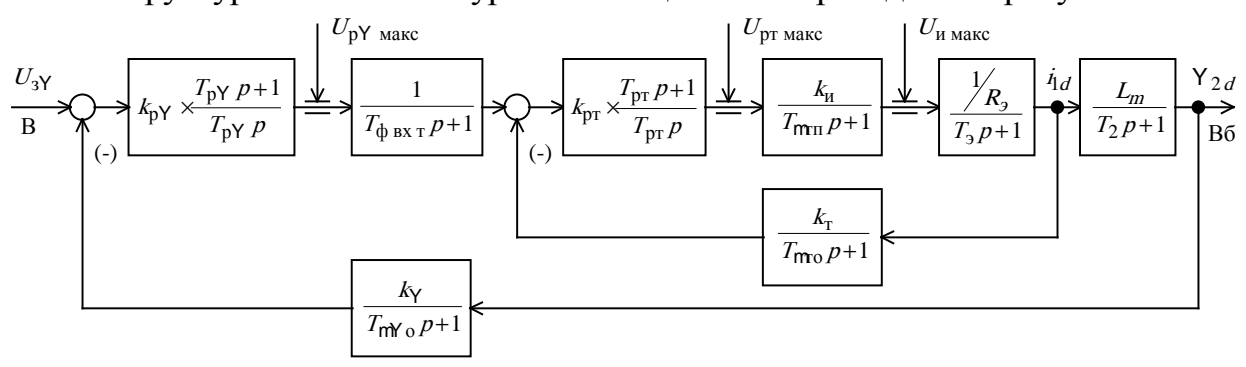


Рисунок 27 Структурная схема контура регулирования потокосцепления

По структурной схеме рисунка 27 набираем имитационную модель контура потокосцепления (рисунок 28).

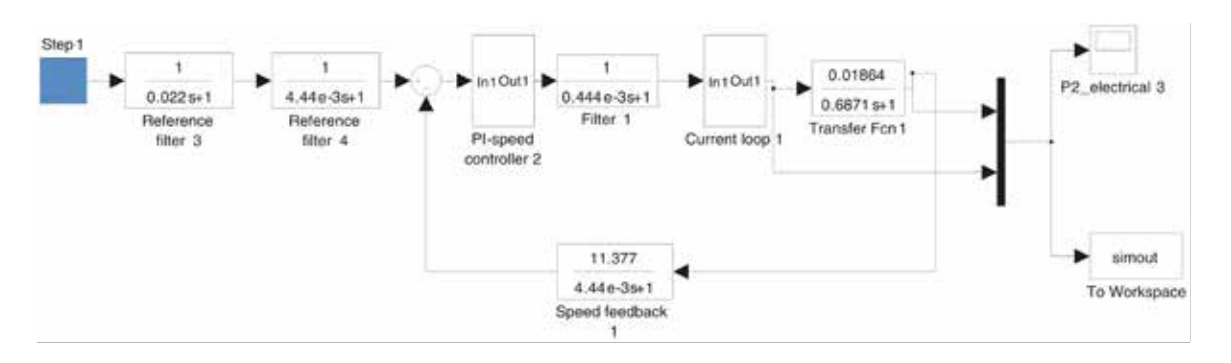


Рисунок 28 Схема набора имитационной модели контура потокосцепления

На рисунке 29 приведены временные диаграммы изменения тока намагничивания  $I_{1d}(t)$  и потокосцепления  $\mathsf{Y}_{2d}(t)$  при ступенчатом задании управления на входе контура  $U_{3\mathsf{Y}}=10\,\mathrm{B}.$ 

Процесс формирования потокосцепления двигателя характеризуется следующими количественными показателями:

- установившееся значение потокосцепления  $Y_{2d} = Y_{2H} = 0.879 \text{ B}\text{ } 5$ ;
- статическая ошибка отработки заданного значения потокосцепления  $\mathsf{DY}_{y\,\mathsf{c}\mathsf{T}} = 0$  ;
  - время достижения значения  $0.95 \times Y_{2d \text{ yct}} t_1^{(5)} \approx 0.115 \text{ c}$ .

Внутренний контур тока обеспечивает ограничение максимального значения тока на уровне  $I_{1d \text{ макс}} = I_{1q \text{ макс}} = 311 \, \text{A}$  и установившееся значение тока равное  $I_{1d \text{ уст}} = 47,\!16 \, \text{A}.$ 

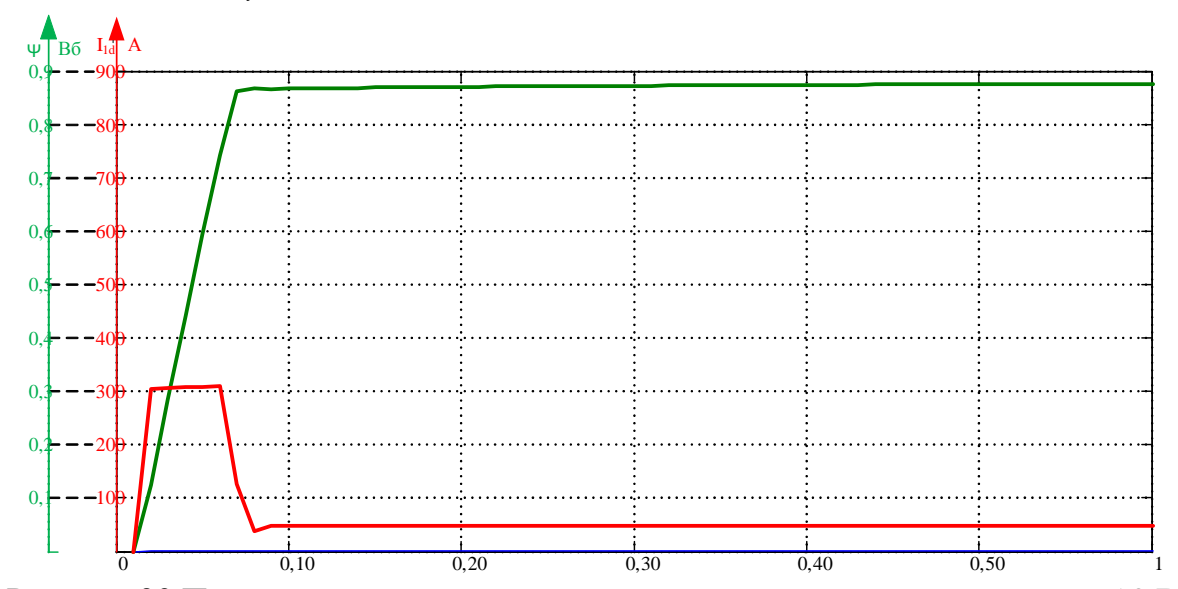


Рисунок 29 Переходные процессы в контуре потокосцепления при  $\,U_{3{\sf Y}}=\!10\,{\rm B}$ 

#### Задатчик интенсивности скорости

Для обеспечения требуемой повышенной плавности движения с ограниченными значениями ускорения и рывка (второй производной скорости). С этой целью на входе регулируемого электропривода установлен S-образный задатчик скорости, формирующий на входе контура скорости управляющие сигналы с ограниченными значениями первой и второй производными. Форма выходной сигнала задатчика скорости представлена на рисунке 30. Схема набора имитационной модели S-образного задатчика скорости приведена на рисунке 31.

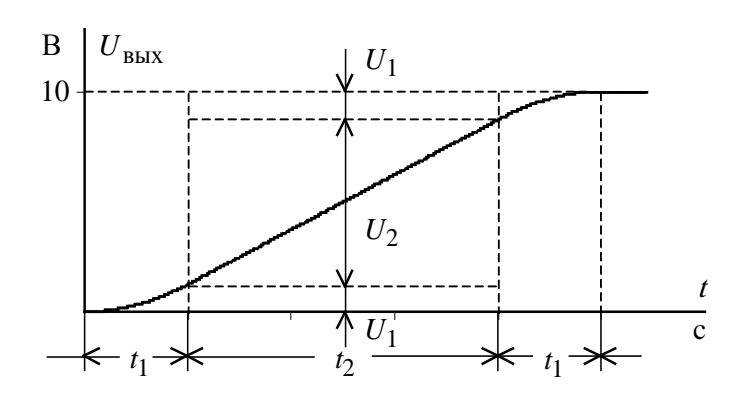


Рисунок 30 Временная характеристика S-образного задатчика скорости

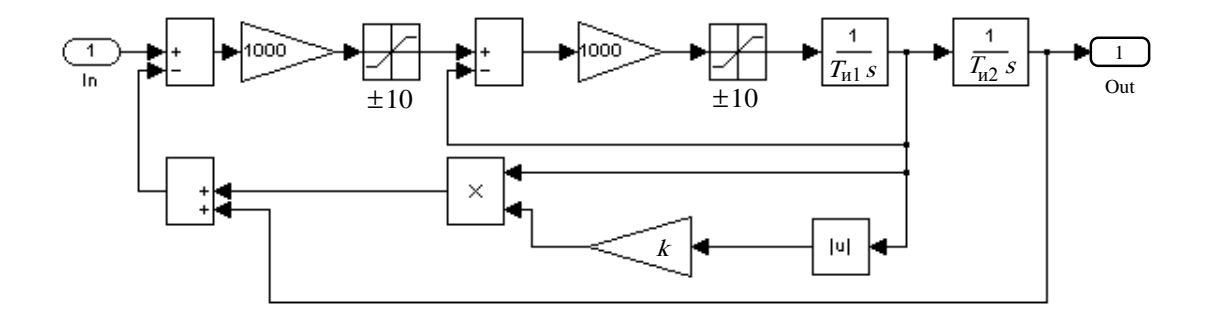


Рисунок 31 Схема набора имитационной модели задатчика скорости

Настройка задатчика интенсивности скорости осуществлена из условия времени пуска привода на максимальную скорость, соответствующую максимальной скорости подъёма (спуска)  $V_{\mbox{\tiny Make}} = 0,734 \mbox{ m/c},$ 

$$t_2 + 2 \times t_1 = 1$$
 c.

Интервалы времени сглаживания ( $t_1$ ) приняты равными 0,2 секунды, тогда  $t_2 = 0, 6_{\ \mathrm{C}}$ .

Параметры настройки задатчика интенсивности скорости:

$$\begin{split} T_{\text{H}1} &= t_1 = 0.2 \text{ c}; \quad T_{\text{H}2} = t_2 + t_1 = 0.6 + 0.2 = 0.8 \text{ c}; \\ k &= 0.05 \times \frac{t_1}{t_2 + t_1} = 0.05 \times \frac{0.2}{0.6 + 0.2} = 0.0125. \end{split}$$

#### 2.14. Расчет переходных процессов

Расчет переходных процессов в электроприводе проведен на ПК с использованием прикладной программы MATLAB. Расчет переходных процессов произведен для фурмы режимов опускания, всего цикла и наброс двукратной нагрузки на противовес (заклинивание). Исходные данные для расчета по программе MATLAB представлены в таблице 5. Схема набора имитационной модели согласно рисунка21.

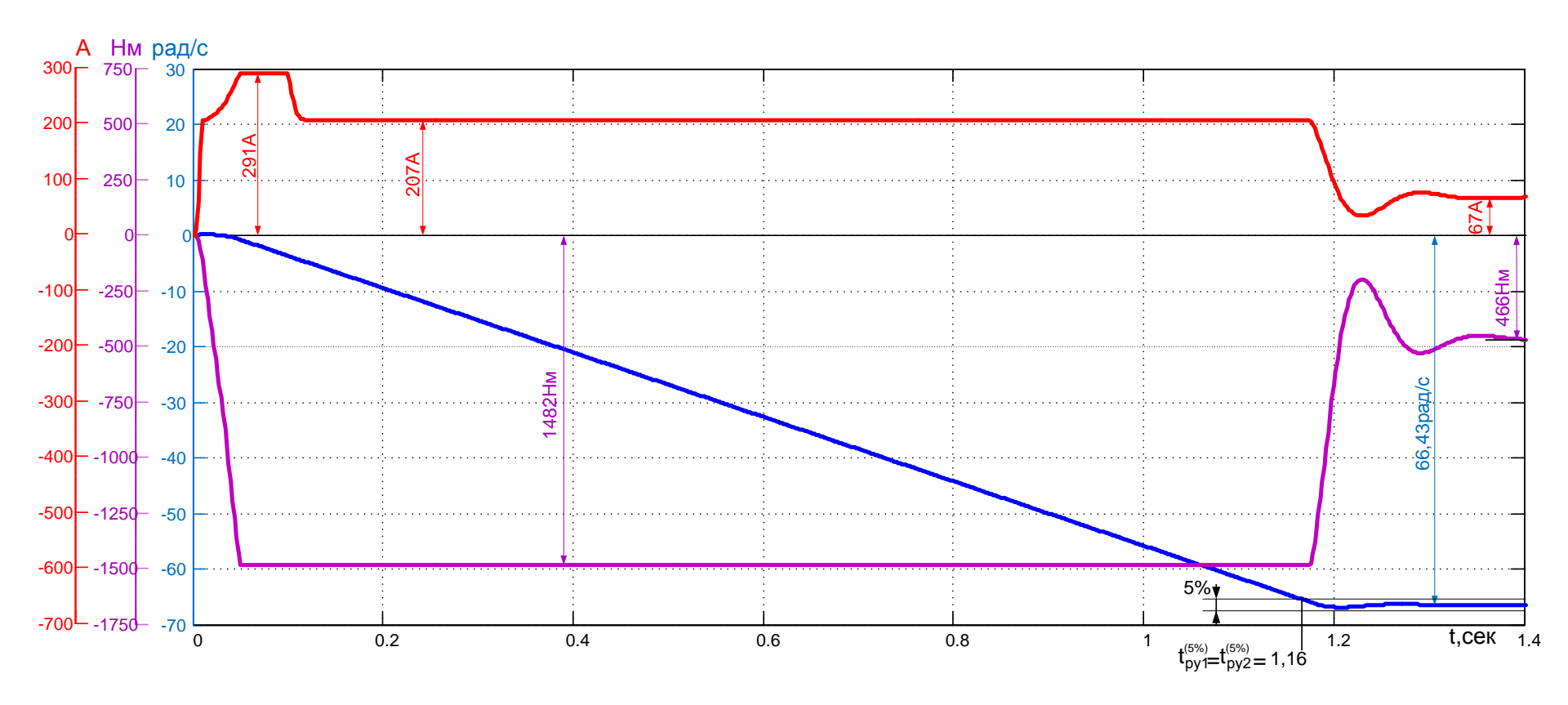


Рисунок 32 График переходных процессов при спуске фурмы

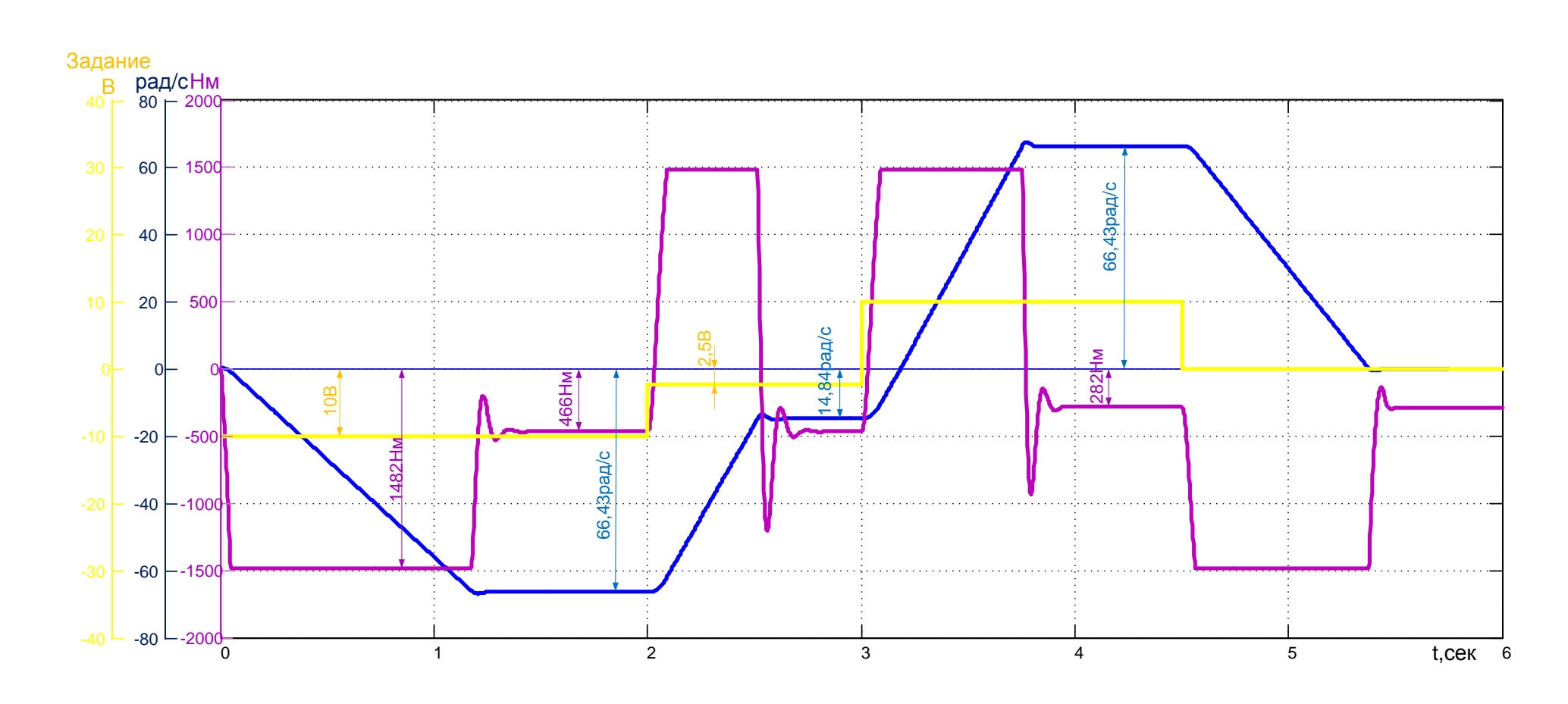


Рисунок 33 График переходных процессов цикла работы фурмы

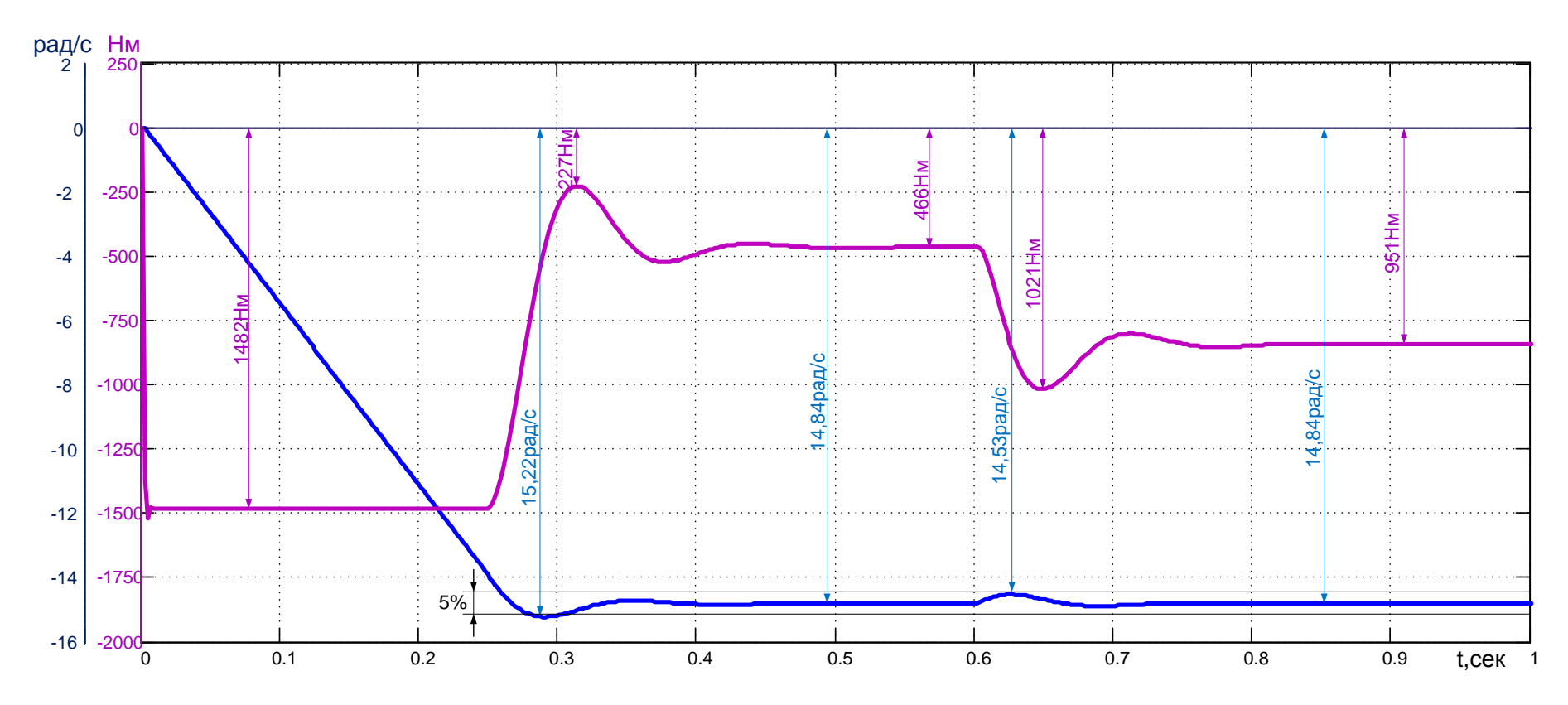


Рисунок 34 График переходных процессов при двукратном набросе нагрузки. Скорость не выходит из 5% зоны.

### ЗАДАНИЕ ДЛЯ РАЗДЕЛА «ФИНАНСОВЫЙ МЕНЕДЖМЕНТ, РЕСУРСОЭФФЕКТИВНОСТЬ И РЕСУРСОСБЕРЕЖЕНИЕ»

Группа	ФИО
3-5Г4Б2	Ким Виктор Евгеньевич

Школа	ОЄнИ	Отделение	099
Уровень	Бакалавриат	Направление/специальность	Электроэнергетика и
образования	Бакалаврнат	паправление/специальноств	электротехника

1. Стоимость затрат технического проекта	Заработная плата определяется исходя из тарифной ставки и						
$(T\Pi)$							
	коэффициентов, зависящих от различных условий: организация,						
	регион. Страховые отчисления определяются согласно						
• • •	Федеральному закону от 24.07.2009 №212-ФЗ.						
2. Продолжительность выполнения ТП	По приблизительной оценке, продолжительность ТП составляет						
	81 рабочих день						
Перечень вопросов, подлежащих исслед	дованию, проектированию и разработке:						
1. Оценка потенциала и перспективности реализации технического проекта (ТП) с позиции ресурсоэффективности	, , , , , , , , , , , , , , , , , , , ,						
2. Планирование графика работ по реализации При составлении графика работ по реализации используется оценка трудоемкости работ для каждо исполнителя. По полученным данным составляется ленточно диаграмма Ганта.							
3. Расчет сметы для технического проекта	При составлении сметы ТП используется следующая группировы затрат оп статьям:						
	- затраты на оборудование; - полная заработная плата исполнителей;						
	- отчисления во внебюджетные страховые фонды; - накладные расходы.						
Перечень графического материал	а (с точным указанием обязательных						
нертежей):							
1. Диаграмма Ганта							

Задание выдал консультант:

Должность	ФИО	Ученая степень, звание	Подпись	Дата
Доцент, отделение социально- гуманитарных наук	Мелик-Гайказян Мария Вигеновна	к.э.н., доцент		

Задание принял к исполнению студент:

задание принис	n nenotinemio ergaenit		
Группа	ФИО	Подпись	Дата
3-5Г4Б2	Ким Виктор Евгеньевич		

#### 3. ФИНАНСОВЫЙ МЕНЕДЖМЕНТ, РЕСУРСОЭФФЕКТИВНОСТЬ И РЕСУРСОСБЕРЕЖЕНИЕ

Целью данного раздела выпускной квалификационной работы является подтверждение целесообразности разработки технического проекта, отвечающего всем нынешним требованиям в области ресурсоэффективности и ресурсосбережения.

Для достижения цели в данном разделе рассмотрены следующие задачи:

- составление SWOT-анализа работы Акционерного общества «Евраз Западносибирского металлургического комплекса;
  - планирование технико-конструкторских работ;
  - определение ресурсной эффективности проекта.

## 3.1 SWOT-анализ работы Акционерного общества «Евраз Западносибирского металлургического комплекса

SWOT – представляет собой комплексный анализ проекта. SWOT анализ применяют для исследования внешней и внутренней среды проекта, которые помогают оценить возможности, угрозы сильных и слабых сторон.

Для того что бы найти сильные и слабые стороны проведем SWOT–анализ. Он проводится в несколько этапов.

При составлении матрицы SWOT удобно использовать следующие обозначения:

С – сильные стороны проекта;

Сл – слабые стороны проекта;

В – возможности;

У - угрозы;

Таблица 6 – Составление предварительной матрицы SWOT

Сильные стороны	Слабые стороны
проекта:	проекта:
С1.Универсальность	Сл1.Возможность
применения	появления новых
разрабатываемых	методов;
математических моделей;	Сл2.Требует
С2.Наличие опытного	тщательного сбора
научного-руководителя;	исходных данных;
С3.Актуальность	Сл3.Многостадийность
проводимого	методики.
исследования.	Сл4.Требует
С4.Невысокая стоимость	уникального
проекта относительно	оборудования
иностранных компаний	Сл5.Иностранные
при конкурентной	конкуренты
надежности разработки	обеспечивают чуть более
С5.Широкая сфера	высокие показатели
применения	эффективности

#### Окончание таблицы 6.

		Окончание гаолицы о.
Возможности: В1.Возможность создания	B1C1;C2;C3;C4;C5;	В1Сл1;Сл5;
партнерских отношений с рядом производственных		
металлургических		
предприятий;	D2G1 G2 G5	D2C 1
В2.Большой потенциал применения метода	B2C1;C2;C5;	В2Сл1;
математического		
моделирования		
динамических процессов; ВЗ.Большая стоимость	B3C3;C4;C5;	
конкурентных разработок;	D4C2.C5.	
В4.Рост потребности в обеспечении безопасности	B4C3;C5;	
технологического процесса и		
сокращения экономических издержек.		
В5.Возможность доработки	B5C2;C3;	В5Сл5;
проекта и изменения его под конкретные нужды		
конкретные нужды потребителя		
Vencovv		
Угрозы: У1. Развитая конкуренция в	У1С1;	
сфере математического		
моделирования технологических процессов		
- F 340000		

металлургических производств У2.Захват внутреннего рынка иностранными компаниями У3.Малые скорости внедрения	У2С1;С4; У4С4;	
внедрения У4. Несвоевременное финансовое обеспечение У5. Вероятность доработки проекта для получения необходимых показателей	У4С4; У5С2;	
работы		

Второй этап состоит в выявлении соответствия сильных и слабых сторон проекта внешним условиям окружающей среды. Это соответствие или несоответствие должны помочь выявить степень необходимости проведения стратегических изменений. При построении интерактивных матриц используются обозначения аналогичные самой матрицы SWOT с дополнением знаков (+,-) для подробного представления наличия возможностей и угроз проекта («+» — сильное соответствие; «-» — слабое соответствие). Результаты второго этапа SWOT анализа представлены в табл. 7-8.

Таблица 7 – Интерактивная матрица возможностей

Воргомирович	Сильные стороны проекта							
Возможности C1 C2		C3	C4	C5				
B1	+	+	+	+	+			
B2	+	+	-	1	+			
B3	1	1	+	+	+			
B4	B4		+	1	+			
B5	-	+	+	-	-			
Розмоминости	Слабые стороны проекта							
Возможности	Сл1	Сл2	Сл3	Сл4	Сл5			
B1	+	1	-	1	+			
B2	+	-	-	-	-			
В3	В3		-	-	-			
B4			-					
B5	-	-	-	-	+			

Таблица 8 – Интерактивная матрица угроз

Vrnoari	Сильные стороны проекта							
Угрозы	C1	C2	C3	C4	C5			
У1	+	-	1	-	-			
У2	+	-	1	+	-			
У3	-	-	-	-	-			
У4	-	-	-	+	-			
У5	-	- + -		-	-			
Venous	Слабые стороны проекта							
Угрозы	Сл1	Сл2	Сл3	Сл4	Сл5			
У1	-	-	-	-	-			
У2	73		-	-	-			
У3			-	-	-			
У4			-	-	-			
У5	-	-	-	-	-			

После проведения SWOT-анализа и на основании его результатов можно сказать:

Заявленная методика имеет большой потенциал, широкий круг потенциальных потребителей, а также возможность выхода на внутренний рынок.

#### 3.1. Планирование выпускной квалификационной работы

Этапы и содержание дипломной работы (ДР) сведены в таблицу 9.

Трудоемкость характеризуется количеством живого труда, затраченного на изготовление какой либо продукции. Все этапы работы и значения трудоемкости занесены в календарный план-график, таблица 10.

Таблица 9 Этапы и содержание ВКР

Содержание работ		гица 9 Этапы и г <mark>ельность рабо</mark> т		Исполн
				ители
	Минимально возможная трудоемкость	Максимально возможная трудоемкость	Ожидаемая трудоемкость	
1. Разработка технического задания	3	5	3,8	РП, Д
2. Разработка плана работ и технико-экономическое обоснование проекта	4	5	4,4	РП, Д
3. Описание объекта автоматизации (модернизации)	6	11	8,0	Д
4. Кинематическая схема механизма	5	10	7,0	Д
5. Разработка структурной (принципиальной) схемы ЭП	8	13	10,0	Д
6. Расчет мощности и выбор электродвигателя	5	7	5,8	Д
7. Выбор способа регулирования скорости	4	6	4,8	Д
8. Разработка математической модели системы АУ ЭП	10	15	12,0	Д
9. Оптимизация CAP электропривода	7	10	8,2	Д
10. Разработка программы имитационного моделирования	8	12	9,6	Д
11. Вопросы безопасности и экологичности проекта	3	7	4,6	Д
12. Технико-экономические расчеты	2	6	3,6	Д
13. Составление пояснительной записки	13	27	18,6	Д
14. Разработка графического сопровождения проекта	7	10	8,2	Д
15. Сдача проекта	3	4	3,4	РП, Д

РП – руководитель проекта;

#### Д – дипломник

Расчет трудоемкости осуществляется опытно-статистическим методом, основанным на определении ожидаемого времени выполнения работ в человеко-днях по формуле:

$$t_{\text{ож}} = \frac{3 \cdot t_{\min i} + 2 \cdot t_{\max i}}{5}, \qquad (1)$$

где  $t_{\text{ож}}$  - ожидаемая трудоемкость выполнения і-ой работы , чел.-дн.;

 $t_{mini}$  - минимально возможная трудоемкость выполнения заданной і-ой работы (оптимистическая оценка: в предположении наиболее благоприятного стечения обстоятельств), чел.-дн.;

 $t_{maxi}$  - максимально возможная трудоемкость выполнения заданной іой работы (пессимистическая оценка: в предположении наиболее неблагоприятного стечения обстоятельств), чел.-дн.

Исходя из составленной диаграммы, можно сделать вывод, что продолжительность работ занимает 10 декад, начиная с третьей декады февраля, заканчивая третьей декадой мая. Продолжительность выполнения технического проекта составит 81 дней. Из них:

81 день – продолжительность выполнения работ дипломника;

7 дней – продолжительность выполнения работ руководителя;

#### 3.3 Составление сметы технического проекта

При планировании сметы технического проекта (ТП) должно быть обеспечено полное и достоверное отражение всех видов расходов, связанных с его выполнением. В процессе формирования сметы ТП используется группировка затрат по следующим статьям:

- затраты на специальное оборудование;
- полная заработная плата исполнителей ТП;
- отчисления во внебюджетные фонды (страховые отчисления);
- накладные расходы.

Материальные затраты на комплектующие, провода, шлейфы и т.д. не рассчитываются, так как они укомплектованы вместе с оборудованием.

Таблица 10– Диаграмма Ганта

						Про	должите	ельность	выполн			рамма	1 4111
No	Вид работ	Исп-ли	раб.	Февр.		Март			Апрель			Май	
	• • •		дн.	3	1	2	3	1	2	3	1	2	3
		Руководитель	2										
1	Разработка ТЗ	проекта	2	_									
		Дипломник	2	_									
		Руководитель	2										
2	Разраб.плана работ и технико-экон-е обоснование проекта	проекта		_									
		Дипломник	2	_									
3	Описание объекта автоматизации	Дипломник	8	-									
4	Кинематическая схема механизма	Дипломник	7		_								
5	Разработка структурной (принципиальной) схемы ЭП	Дипломник	10										
6	Расчет мощности и выбор электродвигателя	Дипломник	6										
7	Выбор регулирования скорости двигателя	Дипломник	6					_					
8	Разработка математической модели системы АУ ЭП	Дипломник	6					_	-				
9	Оптимизация САР электропривода	Дипломник	4						_				
10	Разработка программы имитационного моделирования	Дипломник	5							_			
11	Вопросы безопасности экологичности пр.	Дипломник	5										
12	Технико-экономические расчеты	Дипломник	4							_			
13	Составление пояснительной записки	Дипломник	9								_		
14	Разработка графического сопровождения проекта	Дипломник	4										_
15	Сдача проекта	Руководитель проекта	3										_
		Дипломник	3										_

#### 3.3.1. Расчет материальных затрат

В материальные затраты включаются затраты на канцелярские принадлежности, информационные носители (флеш-карты), картриджи и т.п.

Расчет материальных затрат осуществляется по следующей формуле: [24]

$$3_{M} = \mathop{\mathbf{a}}_{i=1}^{m} \coprod_{i} \times V_{\text{pacx}i}, \qquad (2)$$

где m – количество видов материальных ресурсов;

 $N_{\text{расх}i}$  — количество материальных ресурсов i-го вида, планируемых к использованию (натур.ед.);

 $\coprod_{i}$  – цена приобретения единицы i-го вида потребляемых материальных ресурсов (руб./натур.ед.);

Значения цен на материальные ресурсы установлены по данным, размещенным на сайте канцелярского магазина ТД "Карандаш".

Таблица 11. – Материальные затраты

Наименование	Количество	Цена за ед., руб.	Затраты на материалы, руб.
Бумага	1	470	470
Ручка	2	19	38
Брошюровка	1	50	50
Калькулятор	1	290	290
Линейка	1	35	35
Корректор	1	77	77
Распечатка			
файлов	200	1.7	340
Итого			1300

#### 3.3.2 Полная заработная плата исполнителей

В этом разделе рассчитывается основная и дополнительная заработная плата всех исполнителей, непосредственно участвующих в выполнении работ по данной теме. Величина расходов по заработной плате определяется исходя из трудоемкости выполняемых работ и действующей системы окладов и тарифных ставок.

Полная заработная плата рассчитывается по формуле: [24]

где Зосн – основная заработная плата, руб.;

Здоп – дополнительная заработная плата, руб.

Основная заработная плата исполнителей рассчитывается по формуле: [24]

где 3дн – среднедневная заработная плата работника, руб.;

Тр – продолжительность работ, выполняемых работником, раб. дн.

Среднедневная заработная плата рассчитывается по формуле: [24]

$$3_{\rm дH} = \frac{3_{\rm TC} + 3_{\rm p.K.}}{F_{\pi}} \tag{5}$$

где 3тс – заработная плата по тарифной ставке, руб.;

Зр.к. – доплата с учетом районного коэффициента (30 %), руб.;

 $F_{\text{д}}$  – количество рабочих дней в месяце (26 при 6 – дневной рабочей неделе), раб. дн.

Таблица 12 - Расчет основной заработной платы

Исполнители	Оклад,	Районная	Месячная	Среднедневная	Кол-во	Основная
	руб.	доплата,	зарплата,	заработная	дней	заработная
		руб.	руб.	плата, руб.		плата руб.
Руководитель	33 664	10 099	43 763	1 683	7	11 800
Дипломник	12 300	3 690	15 990	615	81	49 800

#### Оклад [35]

Дополнительная заработная плата составляет 12 – 15% от основной, расчет дополнительной и полной заработной платы приведен в таблице 13.

Таблица 13 – Расчет дополнительной и полной заработной платы

Исполнители	Коэф. доплаты	Основная	Дополнительная	Полной
		заработная плата	заработная плата	заработная плата,
		руб	руб	руб.
Руководитель	0,15	11 800	1 800	13500
Дипломник	0,12	49 800	6 000	55800
Итого		61 600	7 800	69300

Расчет дополнительной заработной платы ведется по следующей формуле: [24]

$$3_{\text{доп}} = \mathbf{k}_{\text{доп}} \cdot 3_{\text{осн}} \tag{6}$$

#### 3.3.3 Отчисления во внебюджетные фонды (страховые отчисления)

В данной статье расходов отражаются обязательные отчисления по установленным законодательством Российской Федерации нормам органам государственного социального страхования (ФСС), пенсионного фонда (ПФ) и медицинского страхования (ФФОМС) от затрат на оплату труда работников.

Величина отчислений во внебюджетные фонды определяется исходя из следующей формулы: [24]

$$3$$
внеб= $k$ внеб· $(3$ осн $+3$ доп $)$  (7)

где  $k_{\text{внеб}}$  – коэффициент отчислений на уплату во внебюджетные фонды (пенсионный фонд, фонд обязательного медицинского страхования и пр.).

В соответствии с Федеральным законом от 24.07.2009 №212-ФЗ установлен размер страховых взносов равный 30,2 %.

Отчисления во внебюджетные страховые фонды составят:

$$3$$
внеб= $0,302 \cdot 69,3=20,9$  тыс. руб.

#### 3.3.4. Формирование сметы затрат технического проекта

Рассчитанная величина затрат технического проекта является основой для формирования бюджета затрат проекта, который при заключении договора с заказчиком защищается организацией в качестве нижнего предела затрат на разработку технической продукции [24].

Определение бюджета затрат на технический проект приведен в таблице 14.

Таблица 14 – Смета затрат технического проекта.

Наименование статьи	Сумма, тыс.руб.	Стр-ра затрат
1. Материальные затраты ТП	1,3	1
2. Затраты по полной заработной плате исполнителей темы	69,3	63,7
3. Отчисления во внебюджетные фонды	20,9	19,3
4. Накладные расходы	17,5	16,0
5. Итого	109,0	100,0

В ходе выполнения данного параграфа была рассчитана продолжительность выполнения технического проекта, которая составляет 99 раб. дней для инженера и 6 для руководителя. Составлен календарный график выполнения работ. Смета затрат на разработку технического проекта составляет 106000 руб, из которых более половины (63,5 %) составляют затраты на оплату труда. Все результаты проекта оказались ожидаемы и могут быть реализованы

#### 3.5. Определение ресурсоэффективности проекта

Определение ресурсоэффективности проекта можно оценить с помощью интегрального критерия ресурсоэффективности: [24]

$$I_{pi} = \mathring{\mathbf{a}} \ a_i \rtimes b_i \tag{8}$$

где *Ip i* – интегральный показатель ресурсоэффективности;

аі - весовой коэффициент разработки;

*bi* - балльная оценка разработки, устанавливается экспертным путем по выбранной шкале оценивания;

Для оценки ресурсоэффективности проекта были подобраны критерии эффективности такие как:

- повышение производительности труда пользователя осуществляется путем автоматизации технологического процесса;
- удобство в эксплуатации (соответствует требованиям потребителей) возможность диспетчеризации позволяет сократить количество осмотров системы за период эксплуатации;
- энергоэкономичность применение в подъемных механизмов частотнорегулируемого электропривода дает возможность использовать плавный подьем груза;
- надежность отсутствие ударов при переключении на другие скорости подьема или спуска не изнашивается механизм;

- уровень шума применение частотно-регулируемого электропривода значительно снижает уровень шума подъемного механизма;
- безопасность нет необходимости постоянного присутствия обслуживающего персонала, так как управление и мониторинг за работой подъемного механизма осуществляется дистанционно.

Критерии ресурсоэффективности и их количественные характеристики приведены в таблице 15.

Таблица 15 – Сравнительная оценка характеристик проекта.

Критерии	Весовой коэффициент	Балльная оценка разработки
1. Повышение		
производительности труда	0,20	4
пользователя		
2. Удобство в эксплуатации	0,15	5
3. Энергоэкономичность	0,20	5
4. Надежность	0,20	5
5. Уровень шума	0,10	4
6. Безопасность	0,15	5
Итого:	1,00	

Интегральный показатель ресурсоэффективности:

$$I_{pi} = 4 \cdot 0.2 + 5 \cdot 0.15 + 5 \cdot 0.2 + 5 \cdot 0.2 + 4 \cdot 0.1 + 5 \cdot 0.15 = 4.7$$

Показатель ресурсоэффективности проекта имеет достаточно высокое значение (по 5-балльной шкале) 4,7, что говорит об эффективности использования технического проекта. Высокие баллы надежности и помехоустойчивости позволяют судить о надежности системы.

В данном разделе выпускной квалификационной работы были рассмотрены, раскрыты и рассчитаны следующие вопросы:

- в результате проведения SWOT-анализа были выявлены как сильные, так и слабые стороны технического проекта. В таких случаях используют интерактивные матрицы возможностей и угроз. Анализ данных матрицы, установил, что соответствия угроз с сильными и слабыми сторонами имеют низкую вероятность, что нельзя сказать о возможностях. В итоге следует, что данный технический проект имеет несколько важных преимуществ, таких как высокая безопасность производства и

энергоэффективность, которые обеспечат повышение производительности, безопасности и экономичности технического производства;

- при планировании технических работ была составлена ленточная диаграмма Ганта. Данная диаграмма позволяет оптимально спланировать время работы исполнителей проекта (руководителя и дипломника);
- составление сметы технического проекта позволило оценить первоначальную сумму затрат на реализацию технического проекта. По этим данным можно определить, стоит ли проводить дополнительные мероприятия по оптимизации затрат на проект или нет;
- оценка ресурсоэффективности проекта, проведенная по интегральному показателю, дала довольно высокий результат (4,7 по 5-балльной шкале), что говорит об эффективности реализации технического проекта.

# ЗАДАНИЕ ДЛЯ РАЗДЕЛА «СОЦИАЛЬНАЯ ОТВЕТСТВЕННОСТЬ» Студенту:

Группа	ФИО
3-5Г4Б2	Ким Виктор Евгеньевич

Школа	Инженерная школа	Отделение	Электроэнергетика и
	энергетики		электротехника
Уровень образования	Бакалавриат	Направление/специальность	Электроэнергетика и
			электротехника

Исходные данные к разделу «Социальная	ответственность»:
1. Характеристика объекта исследования (вещество, материал, прибор, алгоритм, методика, рабочая зона) и области его	Описание рабочего места оператора электропривода переменного тока механизма перемещения фурмы. Рабочая площадка находится в закрытом помещении —
применения	Научно-исследовательская лаборатория управления электроприводами. Основное рабочее оборудование — электропривод переменного тока, управляющий механизмом перемещения фурмы.
Перечень вопросов, подлежащих исследон	
1. Правовые и организационные вопросы обеспечения безопасности:	Рассмотреть специальные правовые нормы трудового законодательства; организационные мероприятия при компоновке рабочей зоны.
2. Производственная безопасность	Проанализировать потенциально возможные вредные и опасные факторы; разработка мероприятий по снижению вредных и опасных факторов:  - Повышенный уровень шума.  - Повышенный уровень вибрации.  - Неудовлетворительный микроклимат.  - Неудовлетворительное освещение.  - Движущиеся машины и механизмы производственного оборудования.  - Поражение электрическим током.
3. Экологическая безопасность:	<ul> <li>- анализ воздействия объекта на литосферу (отходы, утилизация компьютерной техники и периферийных устройств);</li> <li>- решение по обеспечению экологической безопасности.</li> </ul>
4. Безопасность в чрезвычайных ситуациях:	-Анализ возможных ЧС при разработке и эксплуатации проектируемого решения; -Выбор наиболее типичной ЧС; -Разработка превентивных мер по предупреждению ЧС; -Разработка действий в результате возникшей ЧС и мер по ликвидации её последствийПожаровзрывоопастность (причины, профилактические мероприятия, первичные средства пожаротушения)

#### Дата выдачи задания для раздела по линейному графику

Задание выдал консультант:

Должность	ФИО	Ученая степень, звание	Подпись	Дата
Сторунуй прополовотону	Гуляев Милий			
Старший преподаватель	Всеволодович			

Задание принял к исполнению студент:

Группа	ФИО	Подпись	Дата
3-5Г4Б2	Ким Виктор Евгеньевич		

#### 4. СОЦИАЛЬНАЯ ОТВЕТСТВЕННОСЬ

Введение

В данном разделе рассматриваются эксплуатационные характеристики электропривода для механизма перемещения фурмы, установленной в Научно-исследовательская лаборатория управления электроприводами ТПУ. Анализируются все вредные и опасные фактора, и влияние электропривода на экологию. А также, рассматриваются возможные чрезвычайные ситуации и правовые и организационные вопросы обеспечения безопасности.

#### 4.1Правовые и организационные вопросы обеспечения безопасности.

Правовые нормы трудового законодательства

Оплата труда работников, занятых на работах с вредными и (или) опасными условиями труда, устанавливается в повышенном размере.

Минимальный размер повышения оплаты труда работникам, занятым на работах с вредными и (или) опасными условиями труда, составляет 4 процента тарифной ставки (оклада), установленной для различных видов работ с нормальными условиями труда.

Конкретные размеры повышения оплаты труда устанавливаются работодателем с учетом мнения представительного органа работников в порядке, установленном статьей 372 ТК РФ для принятия локальных нормативных актов, либо коллективным договором, трудовым договором.[11, статья 147]

Организационные мероприятия при компоновке рабочей зоны При размещении органов управления необходимо выполнять следующие

эргономические требования[12]:

органы управления должны располагаться в зоне досягаемости

- органы управления должны располагаться в зоне досягаемости моторного поля;
- наиболее важные и часто используемые органы управления должны быть расположены в зоне легкой досягаемости моторного поля;
- органы управления, связанные с определенной последовательностью действий оператора, должны группироваться таким образом, чтобы действия оператора осуществлялись слева направо и сверху вниз;
- расположение функционально идентичных органов управления должно быть единообразным на всех панелях рабочего места;

Основные размеры маховиков управления и штурвалов должны соответствовать указанным в табл.1.

Таблица 1 - Основные размеры маховиков управления и штурвалов.

• расположение органов управления должно обеспечивать равномерность нагрузки обеих рук и ног человека-оператора.

Штурвал используемый для ручного управления электродвигателем должен отвечать общим эргономическим требованиям. [13] 92

Плоскость вращения маховика, не имеющего рукоятки, и штурвала должна находиться при вращении двумя руками:

- сидя перпендикулярно продольной плоскости симметрии сиденья и под углом от 40 до  $90^{\circ}$  к горизонтали;
- стоя под углом от 0 до  $90^\circ$  к горизонтали с осью вращения в сагиттальной плоскости тела оператора

Способ вращения	Обод			Рукоятка				
	Диаметр н	аибольший	ьший Поперечное сечение		Длина		Диаметр наибольший	
	Предельн	Оптимальн	Предельн	Оптимальн	Предельн	Оптимальн	Предельн	Оптимальн
	ые	ые	ые	ые	ые	ые	ые	ые
	значения	значения	значения	значения	значения	значения	значения	значения
Двумя руками	140-1000	350-400*	10-40	25-30	-	-	-	-
за обод								
Одной рукой	50-140	75-80	10-25	15-20	-	-	-	-
за обод								
Преимуществе	150-400	250-300	-	-	75-150	100-120	15-35	25-30
нно кистью за								
рукоятку								
Преимуществе	50-200	75-100	-	-	30-75	40-50	10-20	15-18
нно пальцами								
за рукоятку								

Плоскость вращения маховика без рукоятки, вращаемого одной рукой как сидя, так и стоя, должна находиться под углом от 10 до 60° по отношению к предплечью соответственно действующей (правой или левой) руки.

Плоскость вращения маховика, снабженного рукояткой должна находиться по отношению к предплечью соответственно действующей (правой или левой) руки под углом:

от 10 до 90° - при вращении кистью с предплечьем и

от 10 до  $45^{\circ}$  - при вращении всей рукой.

Интервал между ободами и другими деталями соседних маховиков, расположенных в одной плоскости, должен быть не менее:

50 мм - при вращении одной рукой последовательно или в случайном порядке;

100 мм - при вращении двумя руками одновременно;

130 мм - при работе в рукавицах или перчатках.

#### 4.2. Производственная безопасность.

Таблица 17 - Опасные и вредные факторы при эксплуатации трубопроводной арматуры для регулирования расхода газа.

Источник фактора,	Факторы (по ГОСТ 12.0.003-2015)[1]		Нормативные документы
наименование видов работ	Вредные	Опасные	
Электрооборудование и	1. Повышенный уровень	1. Движущиеся машины	1.ГОСТ 12.0.003-2015 ССБТ.
электропривод	шума.	и механизмы;	2.CH 2.2.4/2.1.8.562-96.
переменного тока	2. Повышенный уровень	подвижные части	3.ГОСТ 12.1.029-80 ССБТ.
механизма перемещения	вибрации;	производственного	4.CH 2.2.4/2.1.8.566-96.
фурмы.	3. Неудовлетворительное	оборудования;	5.ГОСТ 12.1.012–90 ССБТ.
	освещение.	2. Поражение	6.ГОСТ 12.2.003–91 ССБТ.
Эксплуатация и ремонт	4. Неудовлетворительный	электрическим токам.	7.ГОСТ 12.1.038–82 ССБТ.
электропривода	микроклимат.	3.	8.ГОСТ 12.4.011-89 ССБТ.
управления механизма		Пожаровзрывоопасность	
перемещения фурмы			

### 4.2.1 Анализ потенциально возможных опасных факторов, которые могут возникнуть на рабочем месте при проведении исследований

#### Повышенный уровень шума.

Источником повышенного уровня шума в электроприводе является электродвигатель и редуктор.

Человеческий организм по-разному реагирует на шум разного уровня. Шумы уровня 70-90 дБ при длительном воздействии приводят к заболеванию нервной системы, а более 100 дБ - к снижению слуха, вплоть до глухоты.

В соответствии с [2] предельно допустимые уровни звукового давления в октавных полосах частот, уровни звука и эквивалентные уровни звука для основных наиболее типичных видов трудовой деятельности и рабочих мест, разработанные с учетом категорий тяжести и напряженности труда, представлены в табл. 3.

Таблица 18 - Предельно допустимые уровни звукового давления, уровни звука и эквивалентные уровни звука для основных наиболее типичных видов трудовой деятельности и рабочих мест.

№ пп	Вид трудовой деятельности, рабочее место	Уровни звукового давления, дБ, в октавных полосах со среднегеометрическими частотами, Гц					Уровни звука и эквива- лентные уровнизвука (в				
		31,5	63	125	250	500	1000	2000	4000	8000	дБА)
1	2	3	4	5	6	7	8	9	10	11	12
1	Выполнение всех видов работ на постоянных рабочих местах в производственных помещениях и на территории предприятий.	107	95	87	82	78	75	73	71	69	80

В соответствии с [3] к коллективным средствам и методам защиты от шума при использовании приводной арматуры можно отнести:

- звукоизолирующие кожухи;
- рациональное размещение технологического оборудования, машин и механизмов;
- рациональное размещение рабочих мест;
- оснащение шумных машин средствами дистанционного управления и автоматического контроля;
- совершенствование технологии ремонта и обслуживания машин;
- использование рациональных режимов труда и отдыха работников на шумных предприятиях.

#### К средствам индивидуальной защиты относятся:

- противошумные наушники, закрывающие ушную раковину снаружи;
- противошумные вкладыши, перекрывающие наружный слуховой проход или прилегающие к нему;
- противошумные шлемы и каски;
- противошумные костюмы.

В Научно-исследовательская лаборатория управления электроприводами ТПУ имеются все вышеперечисленные устройства защиты от повышенного уровня шума[14].

#### Повышенный уровень вибрации.

Источниками вибраций являются движение автотранспорта, работа задвижки и приводной арматуры (задвижки, дисковые затворы и т.п.).

Длительное воздействие вибрации на организм человека приводит к серьезным последствиям под названием «вибрационная болезнь». Это профессиональная патология, которая возникает в результате длительного влияния на организм человека производственной вибрации, превышающей предельно допустимый уровень

Для санитарного нормирования И контроля используются средние виброускорения или виброскорости, а также их квадратические значения логарифмические децибелах. Нормы уровни В одночисловых показателей вибрационной нагрузки на оператора для длительности смены 8 ч., для общей вибрации категории 3 тип «а», по санитарным нормам значение виброускорения составляет 100 дБ, а для виброскорости – 92 дБ. [4].

К средствам защиты от повышенного уровня вибрации относятся устройства:

Оградительные, виброизолирующие, виброгасящие и вибропоглощающие, автоматического контроля и сигнализации, дистанционного управления. [8].

В Научно-исследовательская лаборатория управления электроприводами ТПУ установлены все вышеперечисленные устройства защиты от повышенного уровня вибрации[14].

#### Освещение:

В Научно-исследовательская лаборатория управления электроприводами ТПУ имеется естественное (боковое двухстороннее) и искусственное освещение. Рабочие столы размещены таким образом, чтобы видеодисплейные терминалы были ориентированы боковой стороной к световым проемам, чтобы естественный свет падал преимущественно слева.

Искусственное освещение в помещении осуществляется системой общего равномерного освещения. В Научно-исследовательская лаборатория управления электроприводами ТПУ, в случаях работы с документами, следует применять системы комбинированного освещения (к общему освещению дополнительно устанавливаются светильники местного освещения, предназначенные для освещения зоны расположения документов).

Освещенность на поверхности стола в зоне размещения рабочего документа должна быть 300 - 500 лк. Освещение не должно создавать бликов на поверхности экрана. Освещенность поверхности экрана не должна быть более 300 лк.

В качестве источников света применяются светодиодные светильники или металлогалогенные лампы (используются в качестве местного освещения).

В Научно-исследовательская лаборатория управления электроприводами ТПУ условие труда по световому фактору соответствуют допустимым . КЛ 2 [14]

#### Микроклимат:

Для создания и автоматического поддержания в Научно-исследовательская лаборатория управления электроприводами ТПУ независимо от наружных условий оптимальных значений температуры, влажности, чистоты и скорости движения воздуха, в холодное время года используется водяное отопление, в теплое время года применяется кондиционирование воздуха. Кондиционер представляет собой вентиляционную установку, которая с помощью приборов автоматического регулирования поддерживает в помещении заданные параметры воздушной среды.

Научно-исследовательская лаборатория управления электроприводами ТПУ является помещением I б категории. Допустимые величины интенсивности теплового облучения работающих на рабочих местах от производственных источников, нагретых до темного свечения (материалов, изделий и др.)

Таблица 19. Оптимальные величины показателей микроклимата на рабочих местах производственных помещений.

Период года	Катег. работ по уровню энер- гозатрат	Температура воздуха, °С	Температура поверхностей, °С	Относ. влажность воздуха, %	Скорость движения воздуха, м/с
Холодный	Іб	21-23	20-24	40-60	0,1
Теплый	Іб	22-24	21-25	40-60	0,1

Таблица 20. Допустимые величины интенсивности теплового облучения.

Облучаемая поверхность тела, %	Интенсивность теплового облучения,
	$Bт/м^2$ , не более
50 и более	35
25-50	70
не более 25	100

В лаборатории проводится ежедневная влажная уборка и систематическое проветривание после каждого часа работы.

Согласно специальной оценки условий труда в ТПУ микроклимат Научноисследовательская лаборатория управления электроприводами ТПУ, соответствует допустимым нормам[14].

## 4.2.2 Анализ выявленных опасных факторов проектируемой производственной среды

<u>Движущиеся машины и механизмы производственного оборудования;</u> подвижные части производственного оборудования;

Подвижными частями электропривода запорной арматуры являются шток дискового затвора и вал электродвигателя.

Движущиеся части производственного оборудования, являющиеся возможным источником травмоопасности, должны быть ограждены или расположены так, чтобы исключалась возможность прикасания к ним работающего или использованы другие средства (например, двуручное управление), предотвращающие травмирование.

Если функциональное назначение движущихся частей, представляющих опасность, не допускает использование ограждений или других средств, исключающих возможность прикасания работающих к движущимся частям, то конструкция производственного оборудования должна предусматривать сигнализацию, предупреждающую о пуске оборудования, а также использование сигнальных цветов и знаков безопасности.

В Научно-исследовательская лаборатория управления электроприводами ТПУ в непосредственной близости от движущихся частей, находящихся вне поля видимости испытателя, установлены органы управления аварийной остановкой (торможением) [14].

#### Поражение электрическим током

Научно-исследовательская лаборатория управления электроприводами ТПУ имеет класс опасности по поражению током

Источником напряжения в электроприводе механизма перемещения фурмы являются токоведущие части электропривода.

Основными непосредственными причинами электротравматизма, являются: 1) прикосновение к токоведущим частям электроустановки, находящейся под напряжением; 2) прикосновение к металлическим конструкциям электроустановок, находящимся под напряжением; 3) ошибочное включение электроустановки или

несогласованных действий обслуживающего персонала; 4) поражение шаговым напряжением и др.

Основными техническими средствами защиты, согласно ПУЭ, являются защитное заземление, автоматическое отключение питания, устройства защитного отключения, изолирующие электрозащитные средства, знаки и плакаты безопасности. Наличие таких средств защиты предусмотрено в рабочей зоне. В целях профилактики периодически проводится инструктаж работников по технике безопасности.

К коллективным средствам защиты от поражения электрическим током относят:

оградительные устройства; устройства автоматического контроля и сигнализации; изолирующие устройства и покрытия; устройства защитного заземления и зануления; устройства автоматического отключения; устройства выравнивания потенциалов и понижения напряжения; устройства дистанционного управления; предохранительные устройства; молниеотводы и разрядники; знаки безопасности.[8] К коллективным средствам защиты от повышенного уровня статического электричества относятся:

- Заземляющие устройства;
- Нейтрализаторы;
- Увлажняющие устройства;
- Экранирующие устройства.

#### Средства индивидуальной защиты:

- Специальная одежда антиэлектростатическая;
- специальная обувь антиэлектростатическую;
- предохранительные приспособления;
- средства защиты рук антиэлектростатические.

В Научно-исследовательская лаборатория управления электроприводами ТПУ имеются все необходимые средства защиты [14].

#### 4.3. Экологическая безопасность

В процессе «жизненного цикла» рассматриваемого оборудования могут возникать следующие отходы:

- Вышедшие из строя детали и узлы;
- Изоляция;
- Ликвидация изделия (при полном выходе из строя).

Девять этапов технологического цикла отходов:

- 1 появление;
- 2 сбор и/или накопление;
- 3 идентификация;
- 4 сортировка (с обезвреживанием);
- 5 паспортизация;
- 6 упаковка (и маркировка);
- 7 транспортирование и складирование;
- 8 хранение;
- 9 удаление.

Первым подэтапом 9-го этапа является утилизация объектов и отходов. На подэтапе утилизации может быть произведена переработка бракованных или вышедших из употребления изделий, их составных частей и отходов от них путем разборки (разукрупнения), переплавки, использования других технологий с обеспечением рециркуляции (восстановления) органической и неорганической составляющих, металлов и металлосоединений для повторного применения в народном хозяйстве, а также с ликвидацией образующихся вновь отходов.

Вторым подэтапом 9-го этапа технологического цикла ликвидации опасных и других отходов является их безопасное размещение на соответствующих полигонах или уничтожение, если захоронение отходов угрожает здоровью и жизни людей, и окружающей среде. В современных условиях вопросы переработки и/или захоронения (уничтожения) чаще решают на основе экономически целесообразных механизмов при обеспечении безопасного обращения с отходами. При санкционированном захоронении опасных и других отходов следует учитывать, что

с появлением новых научно-технических и технологических решений отходы смогут быть утилизированы, поэтому такие захоронения следует рассматривать как техногенные месторождения полезных ископаемых («вторая геология»).[9]

#### 4.4 Безопасность в чрезвычайных ситуациях

## 4.4.1. Анализ вероятных ЧС, которые может инициировать объект исследований и обоснование мероприятий по предотвращению ЧС

Согласно ГОСТ Р 22.0.02-94 ЧС - это нарушение нормальных условий жизни и деятельности людей на объекте или определенной территории (акватории), вызванное аварией, катастрофой, стихийным или экологическим бедствием, эпидемией, эпизоотией (болезнь животных), эпифитотией (поражение растений), применением возможным противником современных средств поражения и приведшее или могущее привести к людским или материальным потерям".

С точки зрения выполнения проекта характерны следующие виды ЧС:

- 1. Пожары, взрывы;
- 2. Внезапное обрушение зданий, сооружений;
- 3. Геофизические опасные явления (землетрясения);
- 4. Метеорологические и агрометеорологические опасные явления;

## 4.4.2. Анализ вероятных ЧС, которые могут возникнуть при проведении исследований и обоснование мероприятий по предотвращению ЧС

При проведении исследований наиболее вероятной ЧС является возникновение пожара в Научно-исследовательская лаборатория управления электроприводами ТПУ. Пожарная безопасность должна обеспечиваться системами предотвращения пожара и противопожарной защиты, в том числе организационно-техническими мероприятиями.

Основные источники возникновения пожара:

1) Неработоспособное электрооборудование, неисправности в проводке, розетках и выключателях. Для исключения возникновения пожара по этим

- причинам необходимо вовремя выявлять и устранять неполадки, а также проводить плановый осмотр электрооборудования.
- 2) Электрические приборы с дефектами. Профилактика пожара включает в себя своевременный и качественный ремонт электроприборов.
- 3) Перегрузка в электроэнергетической системе (ЭЭС) и короткое замыкание в электроустановке.

Под пожарной профилактикой понимается обучение пожарной технике безопасности и комплекс мероприятий, направленных на предупреждение пожаров.

Пожарная безопасность обеспечивается комплексом мероприятий:

- обучение, в т.ч. распространение знаний о пожаробезопасном поведении (о необходимости установки домашних индикаторов задымленности и хранения зажигалок и спичек в местах, недоступных детям);
- · пожарный надзор, предусматривающий разработку государственных норм пожарной безопасности и строительных норм, а также проверку их выполнения;
- обеспечение оборудованием и технические разработки (установка переносных огнетушителей и изготовление зажигалок безопасного пользования).

В соответствии с ТР «О требованиях пожарной безопасности» для административного жилого здания требуется устройство внутреннего противопожарного водопровода.

Согласно ФЗ-123, НПБ 104-03 «Проектирование систем оповещения людей о пожаре в зданиях и сооружениях» для оповещения о возникновении пожара в каждом помещении должны быть установлены дымовые оптико-электронные автономные пожарные извещатели, а оповещение о пожаре должно осуществляться подачей звуковых и световых сигналов во все помещения с постоянным или временным пребыванием людей.

Научно-исследовательская лаборатория управления электроприводами ТПУ оснащена первичными средствами пожаротушения: огнетушителями ОУ-3 1шт., ОП-

3, 1шт. (предназначены для тушения любых материалов, предметов и веществ, применяется для тушения ПК и оргтехники, класс пожаров A, E.) [14].

Таблица 21 – Типы используемых огнетушителей при пожаре в электроустановках

Напряжение, кВ	Тип огнетушителя (марка)			
До 1,0	порошковый (серии ОП)			
До 10,0	углекислотный (серии ОУ)			

Согласно НПБ 105-03 помещение, предназначенное для проектирования и использования результатов проекта, относится к типу П-2а.

Таблица 22. Категории помещений по пожарной опасности

Категория помещения	Характеристика веществ и материалов,			
	находящихся (обращающихся) в помещении			
	Зоны, расположенные в помещениях, в которых			
	обращаются твердые горючие вещества в			
П-2а	количестве, при котором удельная пожарная			
	нагрузка составляет не менее 1 мегаджоуля на			
	квадратный метр.			

В корпусе № 8 ТПУ имеется пожарная автоматика, сигнализация. В случае возникновения загорания необходимо обесточить электрооборудование, отключить систему вентиляции, принять меры тушения (на начальной стадии) и обеспечить срочную эвакуацию студентов и сотрудников в соответствие с планом эвакуации [14].

#### **ЗАКЛЮЧЕНИЕ**

Целью данной выпускной квалификационной работы является проектирование и разработка электропривода подъема кислородной фурмы ККЦ ОАО «ЕВРАЗ ЗСМК».

В систему автоматического управления электроприводом подъема кислородной фурмы входят: двигатель асинхронный фирмы SIEMENS серии 1LG4310-8AB-Z, электропривод переменного тока MICROMASTER 440 фирмы SIEMENS, передаточная и управляющая системы, представляющие вместе сложную электромеханическую структуру.

В результате проектирования разработан электропривод, отвечающий требованиям технического задания и технологического процесса.

Исследованы переходные процессы в программе MATLAB, динамические показатели качества при отработке воздействий по управлению и возмущению во всем диапазоне регулирования скорости полностью удовлетворяют требованиям технического задания. Электропривод подъема кислородной фурмы снабжён системой защит и сигнализации, обеспечивающей безаварийную и безопасную работу.

- В разделе «Финансовый менеджмент, ресурсоэффективность и ресурсосбережение» выполнен технический проект и решены следующие задачи:
- в результате проведения SWOT-анализа были выявлены сильные и слабые стороны выбора технического проекта. Установлено, что технический проект имеет несколько важных преимуществ, обеспечивающих повышение производительности, безопасности экономичности технического производства.
- при планировании технических работ был разработан график занятости для двух исполнителей, составлена ленточная диаграмма Ганта, позволяющая оптимально скоординировать работу исполнителя.
- составление сметы технического проекта позволило оценить первоначальную сумму затрат на реализацию технического проекта.
- оценка ресурсоэффективности проекта, проведенная по интегральному показателю, дала высокий результат (4,6 по 5-балльной шкале), что говорит об эффективности реализации технического проекта.

Реализация данного технического проекта, позволяет увеличить эффективность производства участка путем улучшения энергоэффективности, энергосбережения при внедрении более универсального оборудования, требующего меньше затрат при эксплуатации.

В разделе «Социальная ответственность»: дан анализ основных вредных и опасных факторов, угрожающих обслуживающему персоналу и разработаны меры по технике безопасности, производственной санитарии и пожарной безопасности. Рассмотрены меры и по охране окружающей среды.

#### THE CONCLUSION

The purpose of the given degree project is the designing and development of the electric drive for the oxygen tuyere uplift for Oxygen-Converter Shop of "ZSMK". In the system of automatic control of the electric drive for the oxygen tuyere uplift are composed: the induction motor of SIEMENS 1LG4310-8AB-Z series, AC electric drive MICROMASTER 440 by SIEMENS, systems of transfer and control, which represented together as a complex electromechanical structure.

As a result of designing has been developed the electric drive, which meets the requirements of the technical project and technological process.

Transient processes were investigated on the MATLAB software. The dynamic parameters at working out of influences on management and indignation in all range of regulation of speed completely meet the requirements of the technical project. The electric drive for the oxygen tuyere uplift is supplied with system of protection and signal system ensuring trouble-free and safe work.

In an economic part of the project are considered questions of planning, financing and realization of starting-up and adjustment works, calculation and comparison of operating costs, calculation of the number and complexity of repairs and made calculation of payback period of capital investment of the electric drive for the oxygen tuyere uplift. Also has been drawn the estimate and the linear schedule for executing of starting-up and adjustment works.

In sections of project about safety and ecology are analyzed the foundations hazards and injuries, which are threatening to a service personnel and developed measures of safety, industrial hygiene and fire safety. Considered measures to protect the environment.

#### Список использованной литературы

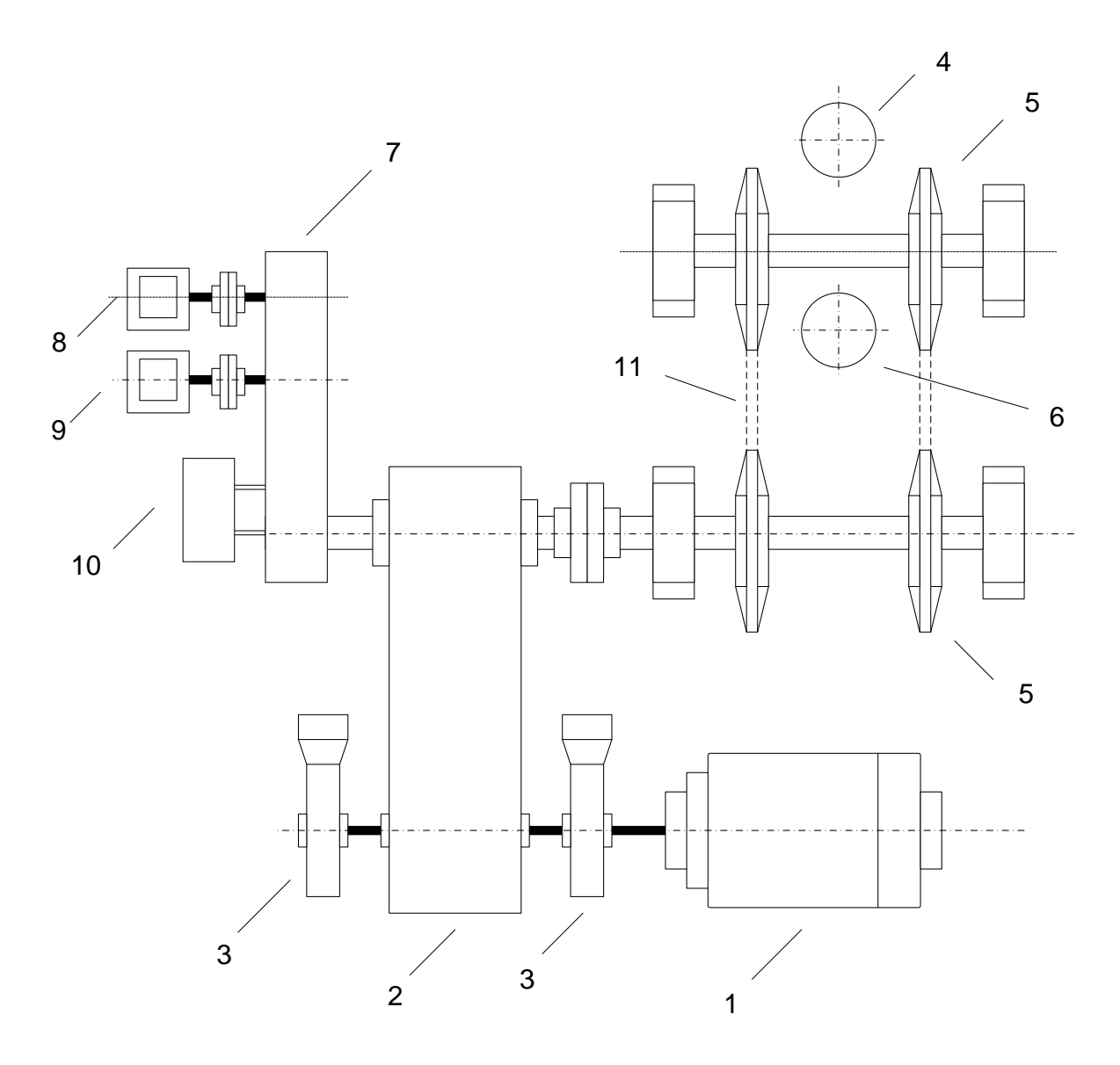
- 1.Электропривод переменного тока. Учебное пособие. А.Ю.Чернышев., И.А.Чернышев: Издательство ТПУ, 2008-217с.
- 2. Электрический привод. Учебное пособие. Ю.Н.Дементьев., А.Ю. Чернышев., И.А. Чернышев: Издательство ТПУ, 2008-223с
- 3. Удут Л.С., Мальцева О.П., Кояин Н.В. Проектирование и исследование автоматизированных электроприводов.ч1,2. Учебное пособие. Томск., 2002-143С.
- 4. Удут Л.С., Мальцева О.П., Кояин Н.В. Системы управления электроприводов. Учебное пособие. Томск., 2007-151с.
- 5. Бычков В.П. Электропривод и автоматизация металлургического производства. Учебное пособие для вузов. Изд. 2-е перераб. и доп. М.: Высшая школа, 1977, 391с.
- 6. Л.К.Бурулько., Ю.С.Боровиков. Специальные электроприводы переменного тока. Учебное пособие. Томск., 2007-145с.
- 7. . Удут Л.С., Мальцева О.П., Кояин Н.В. Проектирование и исследование автоматизированных электроприводов. ч7.Учебное пособие. Томск., 2007-163с.
- 8. Шицкова А.П., Новиков Ю.В., Климкина Н.В. Охрана окружающей среды от загрязнения предприятиями черной металлургии. М.: Металлургия, 1982-208с.
- 9. Предельно-допустимые концентрации веществ в воздухе и воде.-Л.: Химия, 1975456с.
- 10. ГОСТ 12.2.007.0 75 ССБТ "Изделия электротехнические. Общие требования безопасности".
- 11. ГОСТ 12.1.007-76 "Вредные вещества. Классификация и общие требования безопасности".
  - 12.СНиП 11-33-75 "Отопление, вентиляция и кондиционирование воздуха".
  - 13. СНиП 23-05-95 "Естественное и искусственное освещение".
  - 14. Правила устройства электроустановок. М.: Минэнергоиздат, 640с.
- 15. Межотраслевые правила по охране труда (правила безопасности) при эксплуатации электроустановок. М.: Издательство НЦ ЭНАС, 2001.-192c.
- 16. Типовое положение о ТО и Р электрооборудования предприятий черной металлургии СССР, Харьков, 1988.

- 17. Прейскурант №26-05-437 ч. 10 т.2 Министерства черной металлургии СССР М.: 1990.
  - 18. Руководство по эксплуатации MICROMASTER 440. 142c.
- 19. Основы функционально-стоимостного анализа: Учебное пособие / Под ред. М.Г. Карпунина и Б.И. Майданчика. М.: Энергия, 1980. 175 с.
- 20. Скворцов Ю.В. Организационно-экономические вопросы в дипломном проектировании: Учебное пособие. М.: Высшая школа, 2006. 399 с.
- 21. Большаков С.В., Финансы предприятий: теория и практика учебник для вузов. М.: Кн. Мир 2006. 617 с.
- 22. Раицкий К.А. Экономика предприятия: учебник для вузов. М.: Дашков и К, 2002. 1012 с.
- 23. Методические рекомендации по оценке эффективности инвестиционных проектов: (Вторая редакция) / М-воэкон. РФ,М-во фин. РФ, ГК по стр-ву, архит. и жил. политике; рук. авт. кол.:Коссов В.В., Лившиц В.Н., Шахназаров А.Г. М.: ОАО "НПО "Изд-во "Экономика", 2000.
- 24 ФИНАСОВЫЙ МЕНЕДЖМЕНТ, РЕСУРСОЭФЕКТИВНОСТЬ И РЕСУРСОСБЕРЕЖЕНИЕ, И.Г. Видяев, Г.Н. Серикова, Н.А. Гаврикова, Издательство Томского политехнического университета 2014, 36 стр.
  - 25. ГОСТ 12.1.038-82 ССБТ. «Электробезопасность. Предельно допустимые уровни напряжений прикосновения и токов»
- 26. Правила устройства электроустановок 7-е изд. Сибирское университетское издательство, 2011 г.
- 27. Приказ Министерства труда и социальной защиты РФ от 24 июля 2013 г. №
  - 28 «Об утверждении Правил по охране труда при эксплуатации электроустановок»
- 29. ГОСТ Р 12.1.019-2009 ССБТ. Электробезопасность. Общие требования и но- менклатура видов защиты.
- 30 ПОТ Р М-016-2001. Межотраслевые правила по охране труда (правила без- опасности) при эксплуатации электроустановок, РД 153-34.0-03.150-00. Межот-

раслевые правила по охране труда (правила безопасности) при эксплуатации электроустановок.

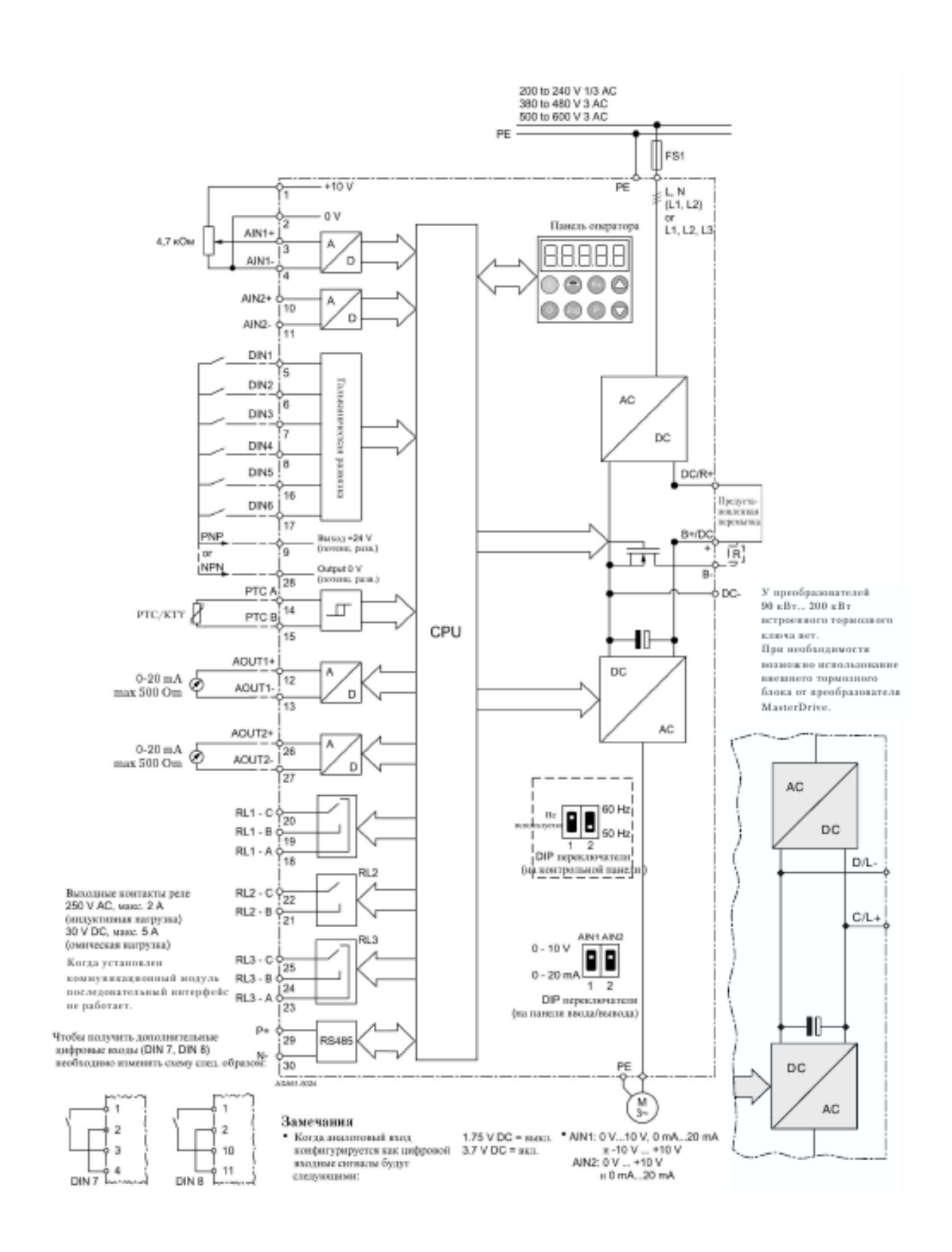
- 31. РД 153-34.0-03.150-00 «Межотраслевыми правилами по охране труда (правила безопасности) при эксплуатации электроустановок»
- 32 ГОСТ 12.2.003-91 ССБТ. Оборудование производственное. Общие требования безопасности.
  - 33. СанПиН 2.2.4.584-96 «Гигиенические требования к микроклимату производственных помещений»
- 34 ГОСТ 12.1.005-88 ССБТ. Общие санитарногигиеническиетребования к воздуху рабочей зоны.
  - 35. СНиП 41-01-2003 «Отопление, вентиляция и кондиционирование»
  - 36. ГОСТ 12.1.003-83 ССБТ. «Шум. Общие требования безопасности»
- 37. ГОСТ 12.1.029-80 ССБТ. «Средства и методы защиты от шума. Квалификация»
- 38. CH 2.2.4/2.1.8.556 «Производственная вибрация, вибрация в помещениях жилых и общественных зданий»
  - 39. СанПиН 2.2.4.1191-03 «Электромагнитные поля в производственных условиях»
  - 40. СП 52.13330.2011 «Естественное и искусственное освещение»
- 41 ГОСТ 17.1.3.13-86. «Охрана природы. Гидросфера. Общие требования к охране поверхностных вод от загрязнений»
  - 42 СанПиН 2.2.1/2.1.1.1200-03. «Санитарно-защитные зоны и санитарная классификация предприятий, сооружений и иных объектов»
- 43 ГН 2.2.5.2308-07. «Ориентировочна безопасный уровень воздействия (ОБУВ) вредных веществ в воздухе рабочей зоны»
- 44 ГОСТ Р 22.0.07-95 «Безопасность в ЧС. Источники техногенных ЧС. Классификация и номенклатура поражающих факторов и их параметров»
- 45. ФЗ от 21.12.1994 г. № 68-ФЗ «О защите населения и территорий от ЧС природного и техногенного характера»

**Приложение А.** Графический материал.

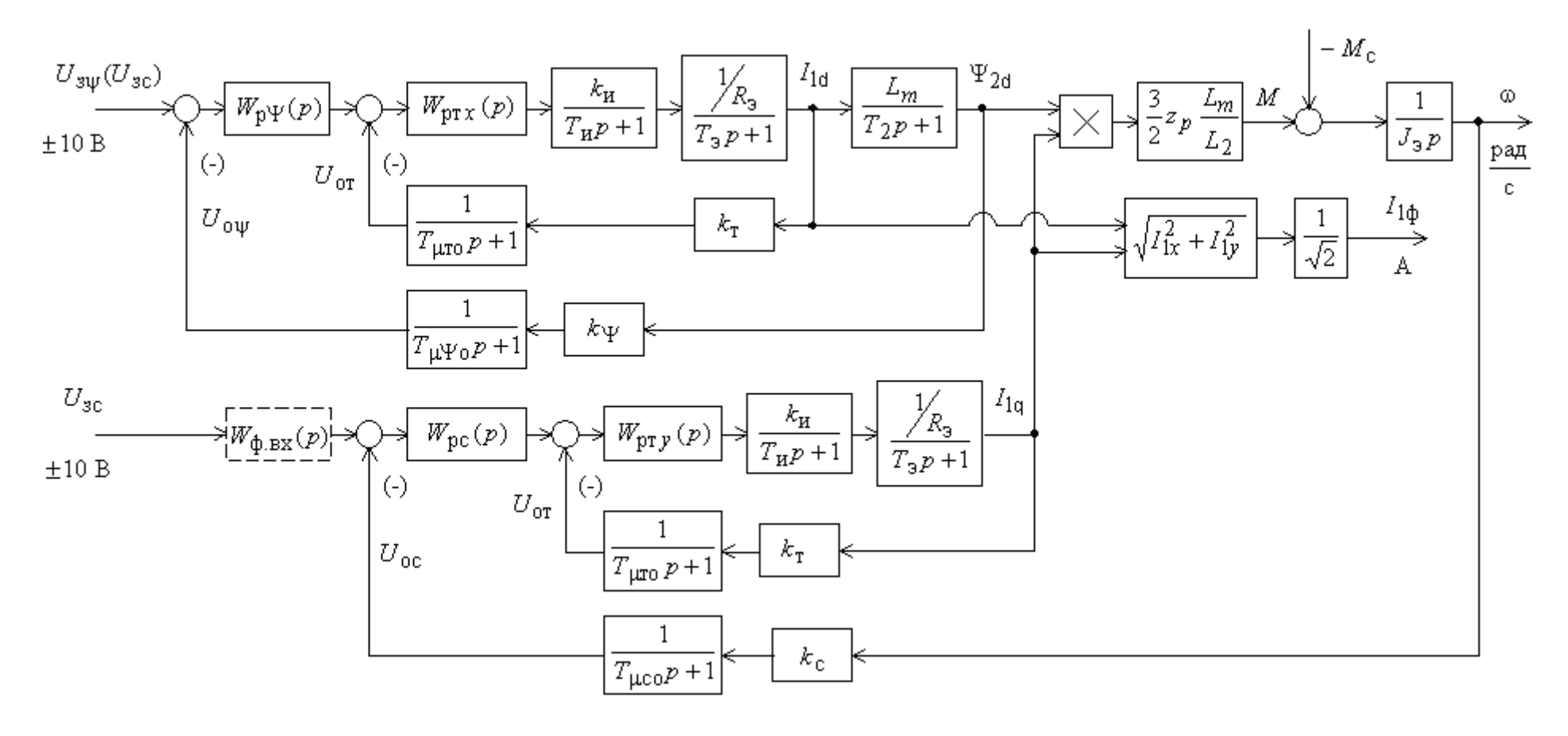


Кинематическая схема механизма подъёма фурмы

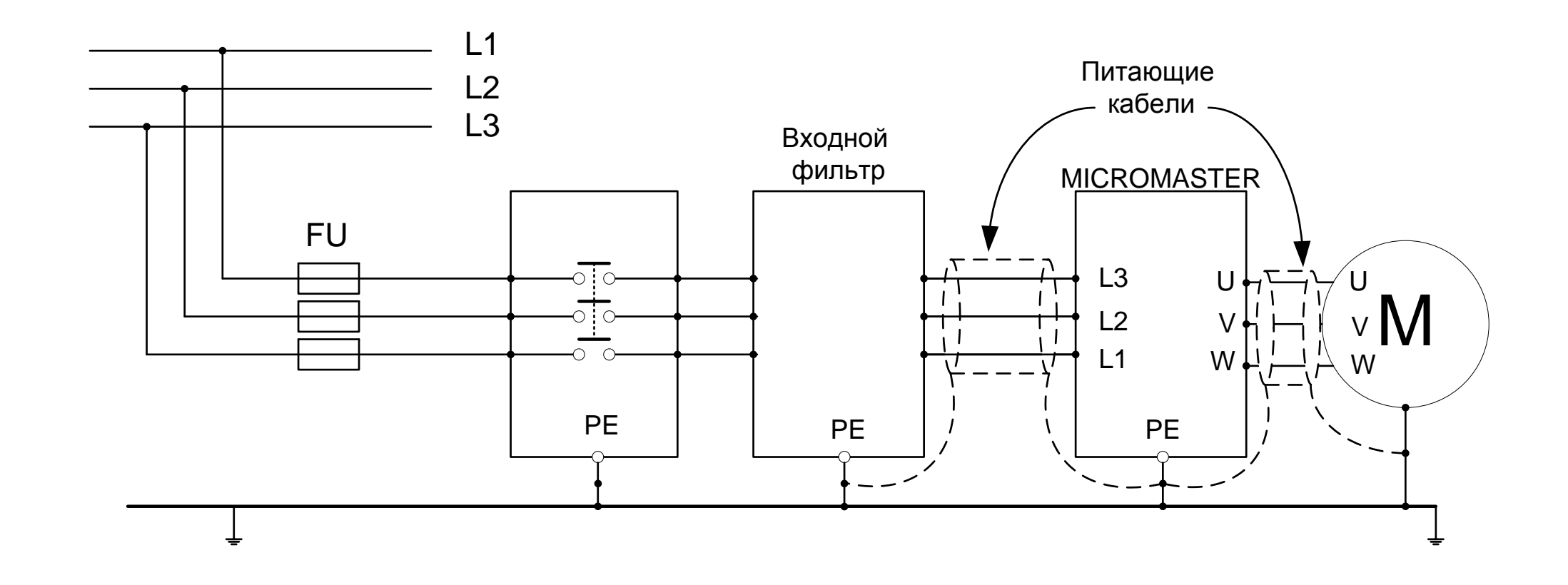
- 1 Двигатель; 2 Главный редуктор; 3 Тормоз; 4 Фурма;
- 5 Звездочка приводная; 6 Контргруз; 7 Понижающий редуктор;
- 8 Концевой выключатель; 9 Резервный концевой выключатель;
- 10 Энкодер; 11 Цепь приводная.



#### Функциональная схема преобразователя



Структурная схема линеаризованной САУ электропривода



Подключение питающей сети и двигателя

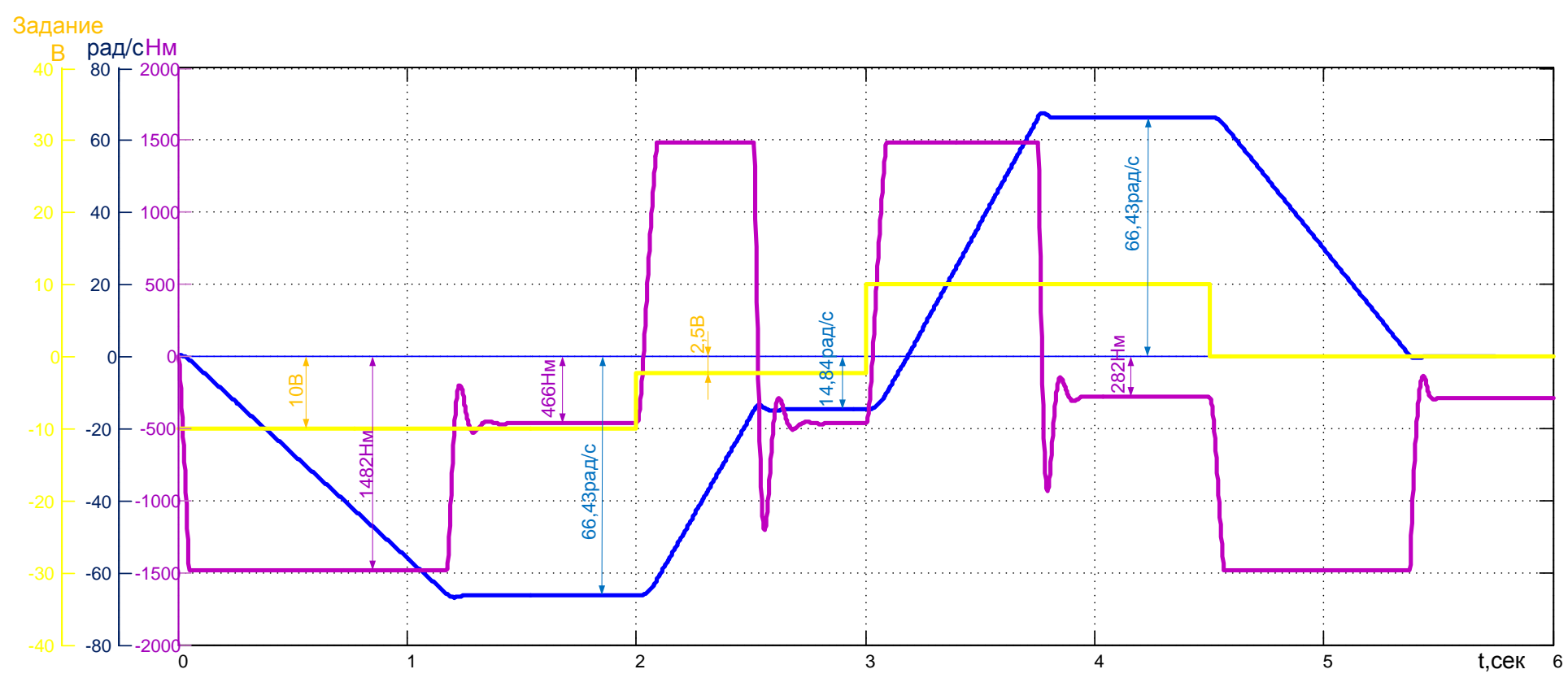


График переходных процессов цикла работы фурмы